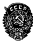


МИНИСТЕРСТВО МОРСКОГО ФЛОТА СССР
ЦЕНТРАЛЬНОЕ РЕКЛАМНО-ИНФОРМАЦИОННОЕ
АГЕНТСТВО

ТРУДЫ
ЦЕНТРАЛЬНОГО ОРДENA
ТРУДОВОГО КРАСНОГО ЗНАМЕНИ
НАУЧНО-ИССЛЕДОВАТЕЛЬСКОГО ИНСТИТУТА
МОРСКОГО ФЛОТА



ПЕРСПЕКТИВНЫЕ ТИПЫ СУДОВ

Издается с 1955 г.

ВЫПУСК 265



ЛЕНИНГРАД. «TRANSPORT». 1981
ЛЕНИНГРАДСКОЕ ОТДЕЛЕНИЕ

Ответственный редактор Ю. Н. Канак

Редакционное коллегии: канд. экон. наук А. А. Понти (зам. отв. редактора),
канд. техн. наук Л. Г. Соловьев, Э. Г. Логинов, В. А. Межуева
(отв. секретарь)

Научный редактор д-р техн. наук Н. В. Марошичко

УДК 629.133.57/59.001.2.004.15

Н. П. Марошичко, д-р техн. наук; Б. И. Никольский;
Л. Г. Цой, канд. техн. наук

**ВЫБОР ОСНОВНЫХ ПАРАМЕТРОВ
И АРХИТЕКТУРНО-КОНСТРУКТИВНОГО ТИПА
КРУПНОТОННАЖНОГО МНОГОЦЕЛЕВОГО
СУХOGРУЗНОГО СУДНА ЛЕДОВОГО ПЛАВАНИЯ**

Интенсивное развитие северных районов Сибири и Дальнего Востока, связанное с освоением новых месторождений полезных ископаемых, обуславливает неуклонный рост объема грузоперевозок по Северному морскому пути (СМП). Это требует продления сроков арктической навигации вплоть до круглогодичной и применения в Арктике крупнотоннажных ледокольно-транспортных судов.

Достигнутый прогресс в ледоколостроении требует совершенствования транспортных судов с целью обеспечения соответствия их параметров характеристикам новых мощных ледоколов. Это наряду с повышением безопасности плавания судов во льдах способствует достижению максимальной эффективности арктических перевозок. Надежное круглогодичное функционирование СМП создает необходимые предпосылки для организации транзитных перевозок как народнохозяйственных грузов, так и грузов иностранных фрахтователей в различных путях между Европой и портами Дальнего Востока.

Одним из перспективных средств освоения Севера являются сухогрузные суда арктического плавания, многоцелевого назначения, ледовым около 25 000 т (СА-25), в максимальной степени приспособленные к перевозке разнобразных генеральных грузов, промышленного оборудования, колесной техники, стандартных контейнеров и т. п. При достаточном ледокольном обеспечении суда типа СА-25 смогут использоваться как на круглогодичных транзитных перевозках грузов из Мурманска в порты Дальневосточного бассейна и обратно, так и в зимнее время из направлений Мурманска—Хатанга.

531194

Фундаментальный

БИБЛИОТЕКА
Дир. Кораблестроительного
заводства

Выпускаю во знаку ШИНОМФа

П 33806-228
049(01)-81 276-81

© Центральный научно-исследовательский институт
морского флота ШИНОМФ, 1988.

Исходя из назначения, структуры грузопотоков и направлений использования, суда типа СА-25 должны удовлетворять следующим основным эксплуатационно-технологическим требованиям:

соответствовать условиям плавания по транзитным трассам СМП при практической круглогодичной навигации;

обеспечивать эффективные перевозки и обработку грузов самой широкой комбинации и транспортного вида на различных направлениях;

иметь максимальную приспособленность к скоростной комплексно-механизированной грузообработке в портах и на пристах в необорудованных пунктах.

Необходимая отягченная черта многоцелевого судна типа СА-25 — возможность разнообразной загрузки. На нем должны перевозиться следующие грузы: тяжеловесы массой до 80 т, металлоконструкции, длинномеры от 12 до 25 м (трубы, прокат, рельсы, сваи, фермы, стрелы кранов), укрупненные места (накиды, фланцы), контейнеры ИСО типа ICC и IAA, руды, накатные грузы (автомашины, снегоходы, техника, трейлеры, роллтрейлеры, шасси), грузы, на которые распространяются правила перевозки МОПОГ.

Архитектурно-конструктивный тип судна должен соответствовать условиям оптимальной технологии грузообработки, обеспечивая сокращение стоячего времени под грузовыми операциями, в том числе при неблагоприятных meteorологических условиях. Ширина судна должна отвечать условиям гарантированной проводки ледоколами типа «Арктика». Энергооруженность должна быть достаточной для достижения соответствия ледовой ходности и прочности судна возможностям ледокола, осуществляющего пропадку.

Выбор основных параметров и разработка вариантического ряда судов. Необходимость работы в Арктике в условиях максимального продленной навигации предопределила методологический подход к выбору основных вариантов судна, выдвинув на первый план обеспечение его высоких ледовых качеств для безопасной и эффективной проходки современными мощными ледоколами, а также возможности самостоятельного плавания в летний период арктической навигации.

Выполненные исследования позволили сделать вывод, что для эффективного обеспечения указанных грузоперевозок, включая транзит, судно типа СА-25 должно быть многоцелевым, с комбинированным способом грузообработки и повышенной энергооруженностью. В качестве исходного варианта по размерениям принято судно шириной 28 м, по условиям проводки ледоколами типа «Арктика». Разработаны два вариантических ряда судов:

1) с постоянной шириной, равной 28 м, и удельной энергооруженностью по отношению к водоизмещению от 0,4 до 1,0 кВт/т, при постоянной грузовместимости (грузоподъемности) для определения оптимальной энергооруженности при эксплуатации в высоких широтах под проводкой ледокола;

2) шириной 26—32 м при том же изменении энергооруженности для определения влияния ширины судна на проходимость при следовании за ледоколом и на экономические показатели судна.

При выполнении расчетов по вариантам с учетом назначения судна приняты следующие исходные параметры и конструктивные особенности: удельная грузовместимость 2,4 м³/т, надводный борт изогнутый, раскрытие верхней палубы максимальное, вторая палуба накатная; ледовые подкрепления корпуса в винто-рулевого комплекса категории УЛА Регистра СССР; энергетическая установка дизель-редукторная, со среднеборзовыми двигателями и передачей мощности на винты регулируемого шага. Соотношения главных размерений и форма обводов судов вариантического ряда выбраны на условий одновременного удовлетворения требований ледовой ходности, мореходных качеств и грузовместимости.

Опыт эксплуатации показывает, что суда активного ледового плавания должны иметь образование волы, близкое к ледокольным. Ледокольный кос обеспечивает эффективную ложку льда и уменьшает сопротивление битого льда движению судна. На основе экспериментальных исследований и опытных данных можно считать рациональным для ледокольно-транспортных судов угол наклона форштевня к горизонту около 30°. Этому углу должны соответствовать углы наклона бортов к вертикали 30—45° и угол постового заноса КВЛ 20—30°. При этом цилиндрическая винта судна может быть с вертикальным бортом. Это дает возможность увеличить коэффициент общей полноты до 0,70 и повысить грузовместимость судна при ограничении главных размерений [1—3]. Рекомендуемое при этом отношение длины судна к ширине 6,5—7,0.

Оценка ледовых качеств. В процессе исследования вариантов судна типа СА-25 оценена его ледовая ходность и прочность. Определение ледопроходимость судна в сплошных льдах в зависимости от его размеров и мощности энергетической установки, рассчитана скорость движения в природных мелкобитых льдах и в канале за ледоколом при различных соотношениях ширины ледокола и ширины водного судна, обоснована категория ледовых условий корпуса.

Предельная толщина ровного сплошного льда, преодолеваемого ледокольно-транспортным судном извержением ходом, оценена по формуле [4], учитывающей и отличие от других экспериментальных выражений влияние водоизмещения на ледопроходимость:

$$k_2 = \frac{k}{3,13} D^{1/4} \left(\frac{P_g}{B} \right)^{1/4},$$

где D — водоизмещение судна, т; P_g — тита гребных винтов за режиме, близком к сплошному, мН; B — ширина судна по КВЛ, м; k — коэффициент, определяемый по прототипу (по данным модельных испытаний в ледовом бассейне АНИИ он может быть принят равным 0,067).

Расчет сопротивления судна в прородных мелкобитых льдах произведен по методике ААНИИ [5]. Проводимость судна в канале при плавании за ледоколом во льдах различной толщины оценена с учетом результатов специальных матурных и модельных испытаний судов, позволяющих учесть помимо энерговооруженности влияние относительной ширини судна (по отношению к ширине ледокола, прокладывающего канал) на скорость проводки. Полученные зависимости скорости движения в канале от относительной ширини судна и толщини льда применительно к варианту судна с энерговооруженностью около 0,5 кВт/т представлена на рис. 1.

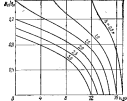


Рис. 1. Зависимость скорости судна типа СА-25 в канале за ледоколом от относительной ширини судна B_0/B_0 и толщиной льда $h_{льд}$

Оптимальным в этом отношении является случай полного соответствия достижимых скоростей ледового судна скоростям прокладывающего канала ледокола.

В целях повышения эффективности работы во льдах, судна типа СА-25 необходимо при его использовании в Арктике в зимний период целесообразно установить систему пневмообивки корпуса. Исследования показали, что пневмообивывающее устройство позволяет увеличить скорость движения судна в канале на 1–2 уз, исключить облапывание корпуса снежно-ледяной массой при низких температурах наружного воздуха и уменьшить потерю времени при проводке, связанные с застреванием и скольжением судна.

Предъявляемые к судам типа СА-25 требования круглогодовой эксплуатации в Арктике с максимально возможным исключением ледовых повреждений корпуса и необходимость обеспечения соответствия параметров этих судов возможностям мощных ледоколов обуславливают необходимость строительства судов типа СА-25 на высокий для транспортных судов ледовый класс Регистра ССР — УЛА. Ледовые усиления категорий УЛА необходимы также для обеспечения самостоятельной (без помощи ледоколов) работы этих судов летом в Арктике и зимой в замерзающих неарктических морях.

Вместе с тем, как известно, действующие правила Регистра ССР не содержат указаний о назначении ледовых нагрузок для ледокольно-транспортных судов активного ледового плавания. Отсутствуют рекомендации и о потребной мощности или энерговооруженности таких судов, о допустимых безопасных скоростях движения в различных ледовых условиях.

Расчетная оценка ледовой прочности показала, что рациональные соотношения между строительной прочностью и мощностью для судна типа СА-25 рассматриваемого назначения могут быть достигнуты при условии закрепления корпуса категории «слабый» УЛА. Только тогда обеспечивается необходимое соответствие между скоростями судна во льдах, достижимыми по мощности и допустимыми по прочности корпуса. Этим гарантируется не только безопасность плавания, но и повышене экономической эффективности судна. Результаты сравнительной оценки ледовой прочности судов с ледовыми усилениями категорий УЛА и УЛ с учетом ледовых сжатий также подтвердили необходимость назначения для судов, эксплуатирующихся в высоких широтах, усиленной категории УЛА.

Выбор рациональной ширини и энерговооруженности судна. Разработанные варианты судна типа СА-25 являются исходными при определении целесообразных размерений и мощности для условий круглогодичной эксплуатации. Критерий экономической эффективности для сравнения вариантов принят показатель суммарных приведенных затрат по судам и ледоколам за tenure перевозимого груза. Экономические расчеты выполнены применительно к транзитному перевозке из Мурманска в Магадан народнохозяйственных грузов по высокопротяженной трассе в мае–июне 1978 г. во время экспериментальной проводки ледоколом «Сибирь» дизель-электрохода «Капитан Мищенко». Результаты расчетов показали, что по экономическим критериям целесообразно увеличение ширини транспортного судна вплоть до ширини ледокола. При этом существует оптимальная энерговооруженность судна, при которой достигаются минимальные приведенные затраты.

Поскольку рассматриваемые суда предназначены главным образом для проводки ледоколами типа «Арктика», а по условиям эксплуатации и обеспечения необходимой партионности грузов для универсальных судов дадут их ограничения 25–30 тыс. т, для судна типа СА-25 может быть рекомендована ширина 28 м. Дальнейшее увеличение ширини приведет к заметному ухудшению условий проводки, так как в этом случае судно будет работать в режиме делимитации зонком канала, его маневренность и управляемость в криволинейной канал за ледоколом будут значительно затруднены. Полученные зависимости приведенных затрат показывают, что при ширине судна 28 м оптимальная энерговооруженность зависит от ледокола, осуществляющего проводку. Для проводки ледоколом типа «Арктика» экономически оправдана значительно большая энерговооруженность судна типа СА-25, чем ледокольно-транспортных судов типа «Амгуема» и СА-15.

Рассмотрен также вариант судна типа СА-25 со значительной увеличенной мощностью, которая обеспечит ледоколоидность, позволяющую ему автомотивно плавать по трассам СМП. Установлено, что экономическая эффективность эксплуатации судна с главным двигателем чрезмерно большой мощности при испытаниях ледоколов заметно снижается, так как движима судна, ведомое ледоколом, не сможет использовать полностью свою возможность. Ледокол, прокладывающий канал, будет иметь меньшую скорость, чем может развить следующее за ним в канале судно, т. е. ледокол будет тормозить движение такого судна. Как показали расчеты, самостоятельное плавание (без ледокольного обеспечения) судна рассматриваемого типоразмера также не выгодно.

Обоснование архитектурно-конструктивного типа судна. Выбор рационального архитектурно-конструктивного типа рассматриваемого судна сделан на основании:

анализа направлений перевозок, структуры грузопотоков и номенклатуры грузов, определяющих назначение судна;

анализа массогабаритных параметров перевозимых грузов, в условиях их транспортировки, влияющих на выбор характеристик грузовых помещений;

анализа эксплуатационно-технологических особенностей арктического плавания в условиях круглогодичной навигации;

обоснования наиболее рациональной технологии грузообработки для повышения производительности труда, сокращения стоящего времени и снижения трудоемкости грузовых операций;

выбора энергетической установки и расположения машинного отделения, размеров машинной палубы, размещения топлива и т. п.

Выполненные исследования и более ранние проработки [1] показали, что для эффективной перевозки и переработки грузов указанной выше номенклатуры должны быть обеспечены комбинированный способ грузовых операций — вертикальный (через грузовые люки) и горизонтальный (накатом на вторую палубу через кормовые ворота).

В связи с тем, что судно типа СА-25 должно быть универсальным многоцелевым, характеристики его грузовых помещений должны обеспечивать экономичную перевозку грузов широкой номенклатуры как при комбинированной, так и при гомогенной загрузке. Грузовым устройством должно отвечать условиям скоростной грузообработки, включая перегрузку большегрузных контейнеров и тяжеловесов массой до 80 т вертикальным способом и самоходкой техники, роллтрейлеров и автомобилей накатом.

Целесообразно устройство на судне кормового боксирного выреза для работы способом «стандем» с другими судами и ледоколом. Наличие такого выреза должно учитываться при размещении кормовой рампы, в свою очередь влияющей на расположение машинного отделения и настройки по длине судна, что счи-

тается с типом энергетической установки, габаритами главного двигателя и обеспечением горизонтального способа погрузки на вторую палубу. Высота верхнего тэндера выбирается так, чтобы обеспечить проезд и размещение колесной техники (не менее 4,3—4,5 м) или двух ярусов контейнеров во 2,50 м с учетом комингса люка. Высота трюма и нижнего тэндера предполагает размещение максимального числа стандартных пакетов, а также контейнеров (два яруса в трюме и один — в нижнем тэндере).

Для погрузки накатом на вторую палубу, а также для выгрузки из припай на судне необходима установка кормовой угловой рампы, спущенной в зону от кормового перекондуктора, чтобы исключить повреждение рампы при возможном падении судна, буксируемого в боксирном вырезе.

Ширина судна по верхней палубе выбрана с учетом обеспечения проезда и маневрирования самоходной техники (автомобили, колесной техники, ролл-трейлеров и автопогрузчиков), а также с учетом ограничений, обусловленных изложенным за ледоколом «Арктика». Ширина швала МО должна обеспечивать проезд в зависимости от типа энергетической установки, либо по бортам, с шириной подогнанными дверей не менее 5,5 м, либо в диаметральной плоскости шириной около 7,0 м.

По условиям скважистой грузообработки должно быть максимальное раскрытие грузовых помещений и наличие длинномерных трюмов. На судне типа СА-25 такие раскрытия могут обеспечить парные люки. Доступ к отдельным частям трюма возможен в при одном открытом люке. Это очень важно при неблагоприятных метеорологических условиях, характерных для Арктики. Размеры люков должны быть кратными размерам стандартных большегрузных контейнеров: длина люков в двух трюмах — не менее 25 м. Подвалубные карнизы должны быть не более 1,5 м у бортов и около 2,0 м у поперечных переборок в нижнем тэндере и трюмах. Рекомендуется предусмотреть двойной борт, а грузовые помещения разделять на пять трюмов, два из которых длинномерные. При устройстве двух палуб необходима установка грузовых платформ в основных трюмах. Одни из трюмов на судне должны соответствовать по конструкции и оборудованию требованиям международных правил перевозки опасных грузов. Нагрузки на двойное дно, платформу, палубы и люковые закрытия рассчитываются с учетом массы в числа ярусов стандартных контейнеров, самоходной техники и крупногабаритных грузов.

Перегрузка отдельных видов грузов предполагается по следующим схемам:

накатные грузы (самоходная техника, автомобили, автопогрузчики, ролл-трейлеры, тягачи) — только горизонтальным способом;

тяжеловесы, крупногабаритные и длинномерные грузы, металлоконструкции — как горизонтальным, так и вертикальным способом;

контейнеры, генеральные грузы отдельными местами — только вертикальным способом через грузовые люки.

Правильный способ грузообработки позволяет сократить стоянки судна в порту, а также в случае работы на пристай, вследствие сокращения грузовых операций (загрузка—выгрузка верхнего тянчика через кормовые ворота при одновременной загрузке—выгрузке верхней палубы) и производства грузовых работ при неблагоприятных метеоусловиях (при закрытых люках верхней палубы). Такой способ грузообработки оптимальен для относительно большой грузоподъемности судна типа СА-25 (около 25 тыс. т).

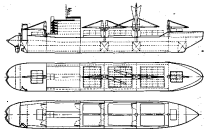


Рис. 2. Схема общего расположения судна типа СА-25

Угловая рамка шириной около 7 м в дормовой части судна обеспечит погрузку накатом колесной техники и груженых самоходных средств массой до 80 т. Для производства грузовых работ вертикальным способом возможны два варианта грузовых средств: крановый (две одиночные 20-т краны, спаренные 2×20 т и 2×40 т) и смешанный (тяжеловесная стрела грузоподъемностью 80 т с механизированной 20-т стрелой, две одиночные 20-т краны и спаренные 2×20 т).

На рис. 2 показана схема общего расположения судна с пятью трюмами и двумя калубами, нижняя из которых накатана с грузовой платформой в трюмах № 2—4 и кормовой угловой рамкой. Надводный борт избыточный, грузовые люки парные, расположение МО и жилой застройки промежуточное.

СПИСОК ЛИТЕРАТУРЫ

1. Исследование основных параметров и архитектурно-конструктивного типа универсального судоремонтного судна ледового назначения. И. П. Мироненчко, В. Н. Никольский, Л. Г. Цой, А. А. Крачков, А. В. Нерудоминский.— Тр. ЦНИИМР, 1975, вып. 243, с. 3—15.
2. Цой Л. Г., Фаддеев О. В. Некоторые требования к прочности на всплытие характеристики эксплуатационного корпуса транспортных судов ледового назначения.— Тр. ЦНИИМР, 1978, вып. 232, с. 51—57.
3. Каштелян В. И., Фаддеев О. В., Цой Л. Г. Выбор основных параметров железнодорожно-транспортных судов.— Судостроение, 1979, № 12, с. 4—6.
4. Цой Л. Г. Выбор энергооборудования паромов с учетом влияния массы на автономность.— Тр. ЦНИИМР, 1977, вып. 222, с. 120—124.
5. Каштелян В. И., Поздняк И. Н., Рыбакин А. Я. Сопротивление льда движению судна. Л.: Судостроение, 1968, 336 с.

УДК 629.122.5(06):625.2

Г. А. Аладждан, канд. техн. наук;
Л. Г. Соколов, канд. техн. наук; В. Н. Шайская

РЕЗУЛЬТАТЫ ИССЛЕДОВАНИЯ ОСНОВНЫХ ПАРАМЕТРОВ И АРХИТЕКТУРНО-КОНСТРУКТИВНОГО ТИПА ЖЕЛЕЗНОДОРОЖНОГО ПАРОМОДЛЯ БАЛТИЙСКОГО МОРЯ

Одной из наиболее развитых и перспективных транспортно-технологических систем является паромник. Она получила большое распространение в мире для сравнительно коротких морских линий и с японскими грузо- и пассажиропотоками.

Морские паромные перевозки за последние годы быстро развились и в Советском Союзе. Расширяются сферы использования паромов как по виду перевозимых грузов, так и охвату или различными морями и бассейнами страны. Наиболее перспективно развитие железнодорожных паромов для морских регионов с примыкающей к ним густой сетью железнодорожных дорог. Применение паромов значительно увеличивает интеграцию судоподъемных подразделений транспорта с морским. Это позволяет за счет исключения многократной перевалки грузов в портах уменьшить его потери, полностью механизировать или автоматизировать загрузо-разгрузочные операции, существенно сократить путь перевозок. Помимо улучшения экономических показателей, паромная транспортно-технологическая система позволяет ускорить доставку грузов и наиболее эффективно решать социальные и экологические проблемы на транспорте.

В принятых «Основных направлениях экономического и социального развития СССР на 1981—1985 годы и на первом

до 1990 года» предусмотрено пополнение морского флота специализированными судами, в том числе железнодорожными паромами.

Одним из перспективных морских регионов для использования железнодорожных паромов является Балтийское море. Развитая система железных дорог в Европейской части СССР, а также в Европе и, прежде всего, в странах — членах СЭВ, связь ее с морскими портами, предопределяет необходимость изучения возможности создания новых смешанных морских — железнодорожных линий для обеспечения возрастающих объемов габаритных в заграничных перевозках.

В ЦНИИМФе выполнены технико-экономические обоснования по выбору основных параметров и архитектурно-конструктивного типа железнодорожного парома для этого региона. В отличие от морских грузовых судов, обслуживающих транспортно-технологические системы других назначений, например, пакетные или контейнерные, для железнодорожных паромов особо важную роль приобретает комплексность обоснования основных параметров и архитектурно-конструктивного типа судна и характеристики береговых сооружений.

Выбор главных размерений, архитектуры и конструкции корпуса, грузового оборудования и других устройств и систем, обеспечивающих высокие мореходные качества судна, во многом зависит от типа, размеров и массы вагонов, технологии грузовых операций и параметров береговых перегрузочных железнодорожных комплексов, а также от ограничений портовых акваторий и подводных каналов, инженерных и гидрометеорологических условий плавания. Причем именно для паромов характерна наибольшая индивидуальность при принятии нестандартных технических решений, зависящих от особых требований каждой конкретной линии эксплуатации. Необходимо также знание тенденций развития железнодорожных паромов, их основных технико-эксплуатационных параметров.

Современное состояние развития паромов. Железнодорожные паромы¹ в мировом флоте относительно нежночисленны. Так, в 1976 г. из 274 западноевропейских паромных линий лишь 16 обслуживались железнодорожным либо железнодорожно-автомобильным паромами.

На сравнительно коротких линиях-переправах с легким ветровальным режимом используются однопалубные паромы с полностью открытой грузовой палубой либо с открытой в корме палубой надстройкой. Таковы, например, паромы типа «Северный» для перевозки через Керченский пролив (1955 г.), «Хайде Транс-

¹ Здесь и ниже типы вагонов паромов, предназначенные для перевозки железнодорожного подвижного состава в генеральном либо значительном количестве пассажиров без современной перевозки автомобилей.

портер» для Банкувера, Канада (1974 г.), английский «Кембридж Ферри» для Ла-Манша и Северного моря (1964 г.). У этих судов на палубе, как правило, четыре железнодорожных колеса, что требует центрального расположения шахт газоблоков и трапов, ведущих внутрь корпуса. Правое и левое вагонов у первых двух из названных паромов осуществляется для упрощения и ускорения швартовки через носовую оконечность. На паромах давней постройки («Северный», «Кембридж Ферри») стrelочные переводы находятся на вагонной палубе. Ходовая рубка расположается над вагонами.

Наиболее распространен «классический» тип двухпалубного железнодорожного парома с одной грузовой палубой, закрытой вагонной надстройкой, простирающейся по всей длине судна, и непрерывной верхней палубой. У этих судов от 2 до 5 (обычно 4) рельсовых путей. При 2—3 путях практикуются совместные перевозки вагонов и автомобилей, принимаемых, как правило, через кормовую лацпцию на гонной надстройке. Вагонные палубы — без логгии и седловатости, иногда с уклоном в носовую оконечность. На верхней палубе обычно расположены помещения для пассажиров и экипажа. Примеры таких судов в отечественном флоте — «Советский Аллефайзен», «Саладин» [1], а в зарубежном — «Шартерез» (Франция, 1973 г.), «Сэр Роберт Бонд» (Канада, 1975 г.), «Искандар Мару» (Япония, 1977 г.), «Росток» (ГДР, 1977 г.). На них грузовая палуба загружается и разгружается по береговому железнодорожно-переходному мосту накатом вагонов без применения судовых грузовых устройств. Грузовые помещения в трюме отсутствуют, что позволяет обеспечить автономность и аварийную остойчивость судна. Вместимость зарубежных судов составляет 25—35 вагонов, а чистое время грузообработки 1—1,5 ч или 2,4—2,6 мин на один вагон (погрузка и выгрузка).

Дальнейшее увеличение вместимости железнодорожных паромов с одной грузовой палубой вызывает трехмерный рост длины и ширине судна при относительно небольшой осадке. Это требует увеличения размеров акваторий, каналов, пристаней и приводят к ухудшению мореходности и управляемости судна и другим отрицательным последствиям.

Современный путь увеличения грузовместимости состоит в принципиальном изменении архитектурно-конструктивного типа парома. Созданы паромы, перевозящие вагоны на двух палубах и в трюме: типа «Рейлинг 1» (ФРГ, 1974 г.) [2], «Геронте из Одессы» (НРБ, 1978 г.) [3—5] и «Герон Шинки» (СССР, 1978 г.). На этих судах вагоны, пакетируемые с берега на главную палубу, подаются судовым автоматизированным лифтом на открытую верхнюю палубу и в трюм, где с помощью трансбордеров распределяются по путям и затем раскатываются по ним с помощью судовых мотовозов. В результате удалось увеличить вместимость до 108 вагонов, которая является наибольшей для существующих в мире паромов.

Однако одновременно возросло и стоячее время (для рассматриваемых паромов практически совпадающее с временем грузовых операций), составляющее у «Героев на Одессе» 12–16 ч при 108 вагонах, у парома «Рейлишип» — 6–7 ч при 60 вагонах или 6–9 ч при 110 вагонах. Это в 2,5–3,5 раза больше, чем для однопалубного парома. Кроме того, при выходе из строя хотя бы одного звена сложного комплекса судового грузового оборудования (лифт, два трансбордера и два мотовоза) существенно замедляются или вовсе останавливаются весь технологический цикл грузовых операций. Учитывая этого оборудования возрастает в условиях качки и повышенной влажности. Из-за невозможности установки в грузовом трюме подвесно-приводимых переборок непотопляемость таких сложных и дорогостоящих судов не обеспечивается. (Жесткость судна повышена устройством от носа до машинного отделения двойных бортов с расстоянием между ними около 5 м и двойного дна высотой 1,7 м.) Для проведения грузовых операций требуется дополнительный персонал — до 10 чел. на одну смыву.

Скорость большинства железнодорожных паромов относительно невысока — 16–18 уз, лишь у некоторых из них («Шартиз», «Синко Мару», «Осмия Мару») она составляет 20–21 уз. Такие скорости характерны для железнодорожно-автомобильных паромов («Рюгес», «Борген» и др.). Выбор скорости существенно зависит от нестационарных условий (протяженности линии, стоячего времени паромов, количества паромных причалов и др.) и связан с обеспечением приемлемого рейсово-оборота.

В качестве энергетической установки, как правило, используются средненеобъемные дизели (два или четыре главных двигателя), сочетающие удобства размещения в ограниченном по высоте подпалубном пространстве с минимальным расходом топлива. Мощность энергетических установок 1500–16 000 кВт и зависит от скорости и вместимости парома. Однако наибольшее количество паромов имеет разрыв мощности, обеспечивающий скорость на 1–1,5 уз большую, чем расчетная, необходимую для поддержания графика движения в случае различных задержек.

Требования установки, как правило, двухвальная с винтами регулируемого шага, обеспечивающими высокие износостойкие качества судна и экономичную работу судовой энергетической установки при изменениях рейсовой загрузки.

Подавляющее большинство паромов оборудовано носовым подруливающим устройством с узором 5–12 т. Получают распространение системы автоматического обеспечения минимального крена и лифтера судна в процессе грузовых операций, симметричные с лифтерами успокоения бортовой качки, которые устанавливаются почти на всех паромах.

Исходные предпосылки для обоснования параметров парома. При выборе основных параметров типа парома для Балтийского моря были приняты следующие концепции и эксплуатационно-технические предпосылки. Анализ грузопотоков показал необхо-

димость рассмотрения парома, предназначенного только для перевозки железнодорожных вагонов. В качестве типового принятся вагон габарита 1-Т, колеи 1520 мм с габаритной длиной 14,73 м, расчетной массой 84 т и наибольшей логотипной нагрузкой 8 т/м. Размещение стrelочных переводов предусматривалось на береговом перегрузовом комплексе, а грузовые операции — с кормы судна. Максимально допустимый угол крена парома при грузовых операциях не должен превышать 5°, для чего на судне должна предусматриваться установка автономизированной крен-лифферентной системы.

Отоваривались возможные ограничения главных размерений парома: длина габарита 186 м, ширина по вагонной палубе 27 м и осадка в груз 7,6 м. Судно должно иметь ледовые усиления на знак Л2 Регистра СССР, одностороннюю непотопляемость, дизельную энергетическую установку на знак автоматизации А1, с двумя винтами регулируемого шага, носовое подруливающее устройство, успокоители бортовой качки с лифтерами стабилизации крена при грузовых операциях (типа «Интернейк») и вместимость топливных ёмкостей, рассчитанную на дальность плавания 2000 миль.

При этих условиях необходимо было обосновать экономически наиболее целесообразный тип парома, выбрать его автоматичность, скорость и архитектурно-конструктивный тип, имея в виду обеспечение максимальной интенсивности перегрузочных операций. В связи с этим предусматривалось рассмотрение вариантов архитектурно-конструктивного типа:

железнодорожного парома с одной или двумя грузовыми палубами, загружаемыми внакат по железнодорожно-переводному мосту, и без грузового устройства (условное обозначение P_{11} и P_{12});

лифтового парома с двумя грузовыми палубами и одним грузовым трюмом, одним лифтом, обслуживающим верхнюю грузовую палубу и трюм, с двумя трансбордераами и двумя мотовозами; вагоны вывозятся по железнодорожно-переводному мосту с берега на главную палубу (P_{13});

лифтового парома предыдущего типа, но с двумя грузовыми лифтами, четырьмя трансбордераами и четырьмя мотовозами (P_{14});

навалочно-лифтового парома с двумя грузовыми палубами, загружаемыми внакат по железнодорожно-асфальтовому мосту, и с грузовым трюмом, загружаемым с помощью грузового лифта, трансбордера и мотовоза (P_{15}).

На всех вариантах парома предусмотрена максимальная ширина проходов между габаритами 1-Т вагонов, а также между габаритом и судовым набором 600 мм, максимальные якори в свету между габаритом 1-Т и пиллерами — 200 мм.

Кроме того, в исследований предусматривалась оценка влияния дальности плавания парома (от 200 до 600 миль) и интенсивности грузовых операций (от 9 до 18 ч) для вариантов парома

типа P_{12} и типа P_{13} (от 3,5 до 17,5 ч) на экономические показатели. С технической точки зрения оценилась возможность и целесообразность уменьшения коэффициента общей полноты для наклонного варианта парома и его влияния на улучшение технико-экономических показателей судна.

Варианты паромов и анализ их технико-экономических характеристик.¹ При определении технико-эксплуатационных характеристик паромов паромов, как и для всех типов судов, предназ-

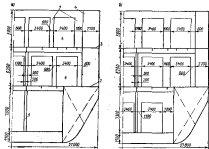


Рис. 1. Схема жидко-жесткого варианта железнодорожного парома:

1 — наклонный тип P_{12} ; 2 — лифтный тип P_{13} .

1 — груз; 2 — главные грузовые магистри; 3 — верхние грузовые палубы; 4 — бортовые мачты; 5 — кильдук; 6 — мачта; 7 — проход между палубами или между палубами и корицей конструкции.

изченных для перевозки грузов укрупненными местами, была первоначально выбрана принципиальная схема и размеры модельного сечения парома, а затем определены главные размерения. Схемы паромов представлены на рис. 1, а основные технико-эксплуатационные характеристики базовых вариантов паромов — в табл. 1.

При разработке вариантов судов в качестве прототипов использованы данные парома «Герой Шапки» в проработки ЦКБ

«Вымпел» по железнодорожным паромам пр. 1801, 1808, 1809, 10080, 721 и 1639. На всех вариантах паромов предусмотрены бортовые палубы газового хлора и бортовые трапы между главной палубой и остальными грузовыми площадками при нечетном числе рельсовых путей или центральное расположение этих трапов при четном числе путей.

Наклонные и лифтовые варианты паромов в пределах заданных ограничений рассмотрены двухпалубными в диапазоне дедвейта от 7,7 до 10 тыс. т со скоростью 18—20 уз. Для оптимального по вместимости наклонного двухпалубного парома проанализировано влияние изменения скорости в диапазоне 16—20 уз, а также уменьшение коэффициента общей полноты с 0,67 до 0,57. Рассмотрен вариант с устройством грузового трапа из двухпалубной наклонной парома. В рассмотренный типоразмерный ряд включен 21 вариант парома.

Исследования показали, что отсутствие палуб в трюме позволяет не только обеспечить непотопляемость, но и существенно уменьшить полноту корпуса. Это снижает мощность главных двигателей и приводит к экономии топлива. Связанное со снижением коэффициента общей полноты увеличение осадки примерно на 1 м положительно сказывается на мореходности парома, а также на управляемости в каналах при ветре, что весьма существенно для паромных судов, поскольку этот режим плавания является для них повседневным. Дополнительная экономия топлива достигается на стоянке, поскольку не требуется приводить в действие судовых грузовых оборудования. Ставится ненужной бригада, обслуживающая эти механизмы. Наконец, исключаются отказы грузового оборудования.

Напомним преимущества, однако, связанные с снижением стокового времени. Экономическую целесообразность применения паромов определяет специфически высокий коэффициент ходового времени, составляющий 0,80—0,85. Для паромов «Герои из Одессы» этот коэффициент составляет лишь 0,57—0,60, а у паромов с двумя грузовыми палубами в тех же условиях — 0,82—0,85.

Остойчивость вариантов парома P_{13} из-за значительных амплитуд течения тяжести груза может быть обеспечена увеличением ширины парома во ватерлинии, как правило, на 3—4 %. Установка на паромах упомянутых цистерн способствует дополнительному снижению центра тяжести судна за счет массы воды в цистернах и соединительном канале, расположенных ниже газовой палубы.

Чтобы обеспечить работу таких паромов, необходимо усложнение берегового железнодорожно-переходного моста. Для обеспечения предельно допустимого уклона 30—50‰, требуемого для нормальной работы автосцепок вагонов, двухъярусная его конструкция может быть двухпролетной, тогда как одиночная — четырехпролетной. Создание такого моста не вызывает принципиальных затруднений, в увеличение капитальных вложений в берег

¹ Экономическое расчеты выполнены под руководством канд. экон. наук В. А. Васильева.

Основные геометрические характеристики изделий жесткозадировочных пистолетов

Номер изделия	Диаметр пистолета	Продолжительность горизонтальной проекции пистолета*	Продолжительность горизонтальной проекции пистолета**	$D_{\text{дл}}$	$\Pi_{\text{дл}}$	$\Pi_{\text{дл}}$ ($\mu\text{мм}/\text{с}$)	$\Pi_{\text{дл}}$ ($\text{м}/\text{сек}$)
Длина пистолетов, м	184,5	184,5	184,5	184,5	184,0	184,0	186,0
Длина между переносцами, м	170,0	178,0	177,0	170,0	170,0	170,0	173,0
Ширина по плоскости катушки, м	26,0	26,0	26,0	27,0	26,0	27,0	28,0
Высота борта, см							
20 градусов верхней кромки	9,0	9,0	9,0	9,0	9,0	9,0	9,0
25 верхней кромки	15,2	15,2	16,7	15,2	15,2	15,2	15,2
20 кромки настройки	21,0	21,0	22,5	21,0	20,5	21,0	21,0
Осадка пистолетов, м	7,4	7,5	7,6	7,2	6,7	7,6	7,6
Коэффициент: изотермической/изотермической пистолетов	272	272	272	272	272	272	272
изотермическая/изотермическая пистолетов	3	3	2	3	1	2	2
изотермическая/изотермическая пистолетов	8	8	8	5	5	5	6

№	Номер изделия	Диаметр пистолета	Продолжительность горизонтальной проекции пистолета*	$D_{\text{дл}}$	$\Pi_{\text{дл}}$	$\Pi_{\text{дл}}$ ($\mu\text{мм}/\text{с}$)	$\Pi_{\text{дл}}$ ($\text{м}/\text{сек}$)
Коэффициент и диаметр пистолетов 788394-220, м	2×2,2	2×2,2	2×1,6	2×2,2	2×2,2	2×2,7	2×1,2
Диаметр (искусственной) баллонной азотной вспышки в установке электроподжига, см:	12,980	12,100	8,700	11,580	5,660	10,450	1,426
вспышки, м	9,940	10,310	22,000	10,800	8,640	9,380	1,8
Вспышки, см							10,000
Масса пакета пистолетов, кг/пакет:	15,940	12,940	25,200	13,250	9,550	10,515	10,935
изотермическая	11,725	11,705	22,940	12,040	8,750	9,560	9,930
Скорость изотермической пистолетов, м/секунду, м	18,1	18,0	20,5	18,0	18,0	18,0	18,0
по 51 кг,							
2, залпа и 2 Трансформера Гранатометы по 90 °, 4 котушки							

* По сравнению с изделием «Пистолет на изотермированной вспышке (К)» предложенная конструкция изотермической пистолетной головки отличается тем, что изотермическая вспышка пистолета не имеет изотермии вспышки, то есть изотермическая вспышка пистолета не имеет изотермии вспышки.

** По сравнению с изделием «Пистолет на изотермированной вспышке (К)» предложенная конструкция изотермической пистолетной головки отличается тем, что изотермическая вспышка пистолета не имеет изотермии вспышки, то есть изотермическая вспышка пистолета не имеет изотермии вспышки.

окупается экономико-эксплуатационными преимуществами двухпалубного накатного парома. Поэтому целесообразно упростить, упрешить и сделать более надежными в эксплуатации основное звено переправы — паромные суда, хотя бы за счет определенного усложнения береговых паромных сооружений.

Двухпалубные накатные паромы в мировом флоте до сих пор не применялись, однако существуют их экскаваторные проекты. Этот тип парома обоснован как наиболее целесообразный для использования на переправе между СССР и ГДР.

При обосновании парома учитывались особенности, связанные с его использованием за Балтийским морем, и опыт эксплуатации крупнотоннажных паромов типа «Герой Шапки» на переправе Ильинск—Варна. В частности, пришлось необходимым установить на верхней палубе «легкую» вагонную надстройку (с толщиной обшивки 5—6 мм) для предохранения железнодорожных путей от дождя, снега и обледенения, существенно затрудняющих эксплуатацию даже черноморских переправ. В дождливую погоду скршивание вагонов с места сопровождается продолжительной пробуксовкой, быстро изнашивающей судовые маневровые мотовозы. На коротких участках скользких путей с трутом обеспечивается торможение вагонов при въезде на лифт и транспортер. Все это увеличивает время грузообработки парома и повышает вероятность аварийных ситуаций.

Массу верхней вагонной надстройки целесообразно снизить до минимума для обеспечения остойчивости парома, исключив участие ее в общем изгибе корпуса. Корневое закрытие надстройки необходимо. Открытый торец и дополнительные бортовые двери-пандусы в надстройке на верхней палубе в корневой ее части позволяют перемещать вагоны с опасными грузами.

Ледовые усиления корпуса проектированы рациональными проектировать на знак Л2 Регистра СССР. Двигательно-рульной комплекс — двухвальная пропульсивная установка со среднеоборотными дизелями и гребными винтами регулируемого шага, с рулевыми системами и насосами подводящими устройством. По опыту эксплуатации паромов за линии Ильинск—Варна могут оказаться более целесообразными два новых полурулевиковых устройств, повышающие безопасность парома с высоким коэффициентом парусности при швартовках и движении в кабинах.

Паром необходимо оборудовать антикреповой системой, используемой при грузообработке судна и конструктивно совмещаемой с системой стабилизации бортовой качки (например, «Интеринг»). Во избежание разрушения прочности конструкции железнодорожно-переходного моста вследствие его бокового перемещения, связанного с креном парома при грузообработке главной палубы, допустимые углы крена должны составлять 3—4°. Это требование ужесточается в случае укладки морского пролета однопролетного моста на верхнюю палубу парома, поскольку при этом же крене возрастают ее боковые смещения. Опыт годичной эксплуатации

парома «Герой Шапки» показал, что при разнице массы групп вагонов, накатываемых из бортовых путей или выкатываемых с них, грузовая антикреповая система «Интеринг» удерживает паром с креном до 0,5°, в только в исключительных случаях — до 1°. При таком крене можно обеспечить сохранность моста, соединенного с верхней палубой парома.

Паром с двумя грузовыми палубами и грузовым трюмом, как у парома «Герой Шапки», но с двумя грузовыми лифтами (за средних путях), четырьмя транспортерами и четырьмя мотовозами техническое и эксплуатационное усложнение такого судна связано со стремлением к всемерному снижению времени грузообработки как одного из основных факторов, влияющих на экономическую эффективность парома. Паром с двумя лифтами может принять на два вагона меньше, чем при одном лифте, из-за взрослое лифтового проема на верхней вагонной палубе. Для такого судна более рациональны 4 или 6 рельсовых путей на грузовых палубах. Ширина корпуса таких судов по ширине мере на 1 и больше, чем для паромов с одним лифтом, что необходимо для размещения второго лифта и обеспечения прохода вдоль его шахты. Удельные приведенные затраты по этому варианту на 20 % выше по сравнению с оптимальным накатным вариантом парома.

Ширина корпуса вариантов двухпалубных накатных паромов на 1 и 2 и соответственно превышает ширину базового варианта «Герой Шапки» (К). Для варианта с пятью железнодорожными путями это связано с обеспечением начальной остойчивости (или размещения вагонов габарита 1-Т при обеспечении необходимой шириной проходов) и шахт газовых кухонь была бы достаточна ширина парома 25 м). Для варианта с шестью путями уширение вызвало размещением дополнительной рельсовой колеи, а его начальная метacentрическая высота находятся в пределах 1,1—1,5 м.

Использование шести рельсовых путей вместо пяти не только позволяет на 20—30 % повысить вагоноподъемность парома при сравнительно небольшом его уширении (3,5—4,5 %), но и дает возможность уменьшить ширину (а, следовательно, и стоимость) железнодорожного переходного моста. Это связано с заменой трех путей, укладываемых на мосту (и разводящихся затем на пять судовых колеи), двумя путями, которые с помощью двойного стрелочного перевода могут быть разведены на три судовых пути каждый.

Высота борта всех паромов с двумя палубами должна быть такой же как у парома «Герой Шапки», исходя из применения аналогичных главных двигателей и обеспечения достаточной высоты надводного борта. Коэффициенты общей полноты паромов, принимающих вагоны в трюм, составляют 0,64—0,67, а у паромов без вагонов в трюме — 0,57. Принятые главные размерения обеспечивают характеристики для железнодорожных паромов отнесения: расчетной длины к ширине по КВЛ — 6,0—6,5; ширине по КВЛ

к наибольшей осадке — 3,5—4,6; расчетной длины к высоте борта по киранко на палубу — 9,7—11,6.

При близких габаритных размерениях вариантов паромов «Герон Шинки» (К), лифтового и накатного с двумя палубами и пятирельсовыми путями водонепроницаемые порожки последнего на 8 и 13 % соответственно меньше, чем у двух первых, что связано с отсутствием грузового оборудования и сокращением объема применения железнодорожных устройств. Измеритель массы металлического корпуса последнего варианта на 7 % меньше, чем у двух других, что связано со значительно меньшей полнотой корпуса и отсутствием подкреплений для лифтовых шахт. Измеритель массы оборудования по кубическому модулю накатного варианта парома на 15 и 20 % меньше, чем у вариантов «Герон Шинки» (К) и лифтового соответственно, что объясняется отсутствием или снижением объема применения грузового железнодорожного оборудования.

При вариантах заданного стоячного времени парома «Герон Шинки» (К) в пределах 9—18 ч коэффициент ходового времени K_h составляет 0,68—0,52 соответственно (табл. 2). Фактически для парома «Герон Шинки» это время равно 15,5 ч, чему соответствует $K_h = 0,55$, тогда как у вариантов накатного парома этот показатель составляет 0,92, что при их упрощенной конструкции существенно улучшает экономические показатели.

Результаты эксплуатационно-экономических расчетов подтверждают значительное влияние стоячего времени паромов на их экономические характеристики. В частности, при повышении стоячего времени парома типа «Герон Шинки» с 9 до 18 ч удельные приведенные затраты без учета стоимости береговых паромных сооружений, т. е. по так называемой «морской» составляющей возрастают почти на 30 %. Это сыграло важную роль в определении оптимального по экономической эффективности типа парома.

Минимальные приведенные затраты соответствуют накатным паромам с двумя грузовыми палубами, т. е. наиболее простым по конструкции судам с минимальным стоячим временем. При этом более выгодным оказался вариант парома с шестью рельсовыми путями на грузовых палубах. Однако из-за ограничения по ширине стапелей предполагаемой строительной базы этот вариант не мог быть рекомендован в дальнейшей разработке. В результате оптимальным по экономическим показателям оказался паром такого же типа с пятью рельсовыми путями на грузовых палубах в бортовыми трассами движущих, а также межпалубных трапов.

Расчеты показали, что во мере уменьшения протяженности линии эффективность паромной переправы возрастает. Так, для накатного двухпалубного парома со скоростью 18 уз уменьшение дальности с 600 до 200 миль снижает удельные приведенные затраты примерно на 25 %.

Таблица 2

Тип парома	«Герон Шинки» КИ		$R_{\text{дл}}$	$R_{\text{ши}}$ (в % от $R_{\text{дл}}$)	$\Pi_{\text{дл}}$	$\Pi_{\text{ши}}$ (в % от $\Pi_{\text{дл}}$)	Составное время в оди- ном пути (расстояние- перевозка), ч	Коэффициент ходового вре- мени пути всего (обсл.) K_h	Удельные приве- денные затраты, %	
	$R_{\text{дл}}$	$R_{\text{ши}}$								
Составное время в оди- ном пути (расстояние- перевозка), ч	9	14	18	6,5	1,5	3,5	3,5	7,0	10,5	14,0
Коэффициент ходового вре- мени пути всего (обсл.) K_h	0,68	0,67	0,69	0,75	0,92	0,85	0,85	0,73	0,64	0,57

ВЫВОДЫ

1. При ограничении главных размерений парома оптимальным вариантом является двухпалубный пакетный паром действием около 10,5 тыс. т, а без ограничения — около 11 тыс. т. При этом удельные приведенные затраты уменьшаются на 16 %. Кроме того, размещение на палубах парома 6 м.д. путей вместо 5 позволяет уменьшить ширину и стоимость железнодорожного переходного моста.

Экономические показатели однопалубного пакетного парома по сравнению с двухпалубным аналогичного архитектурно-конструктивного типа ухудшаются на 35 % по приведенным затратам.

2. Оптимальной скоростью парома является 18 уз.

3. По архитектурно-конструктивному типу лучше технико-экономические показатели имеют вариант пакетного парома: на 16 % по сравнению с лифтовым вариантом и на 4 % с комбинированным — пакетно-лифтовым вариантом. На пакетном варианте парома численность экипажа уменьшается на 11 чел., на 10—12 сут увеличивается годовой эксплуатационный период, повышается надежность работы паромной линии в целом, сокращаются ежегодные расходы, связанные с необходимостью ремонта лифтового оборудования и других элементов судового грузового комплекса.

4. На пакетном варианте парома в отличие от лифтового и пакетно-лифтового возможно в шелесообразном уменьшении коэффициента общей погонности. Приведенные затраты снижаются на 6 % из-за уменьшения мощности энергетической установки на 20 %. При этом достигается экономия дорогостоящего топлива.

5. Окончательный выбор оптимального варианта парома по основным параметрам и архитектурно-конструктивному типу может быть сделан по суммарным затратам в береговые сооружения и флот.

СПИСОК ЛИТЕРАТУРЫ

1. Волков Ю. П. Железнодорожные паромы.— Судостроение, № 9, 1977, с. 5.
2. The world's largest freight railway vessel ferry.— Shipping tonnage and Shipbuilder, 1978, No. 3004, p. 383—386.
3. Gerolt zu Odessa.— Shipping World and Shipbuilder, 1978, No. 3347, p. 595—599.
4. Георгиева Н. Нал. паромный железнодорожный мост.— Опыт Болгарии, 1978, мац., с. 15—17.
5. Шапов Ц. Новые корабли за рубежом.— Красное море, 1978, сентябрь, с. 15—19.

УДК 629.155.8.039.903.13

Л. Б. Амфилогов, Л. Я. Кражев, Ю. А. Самонов, канд. техн. наук

ПАРОМ НА ВОЗДУШНОЙ ПОДУШКЕ ДЛЯ ОСТРОВОВ ЭСТОНИИ

Грузовое сообщение с островами Эстонии (Сааремаа, Хийумаа, Муху) в настоящее время осуществляется в основном с помощью паромных переправ. Северная переправа протяженностью 13 миль соединяет материк с о. Хийумаа, южная (4 мили) — с о. Муху. Между островами Муху и Сааремаа, куда направляется основной грузотоннаж, построена насыщенная дамба.

На переправах заняты автомобильно-пассажирские паромы типа «Сипрус» постройки 1957—1969 гг. и паром типа «Гелумард» (1974 г.). Недостаточная мощность и значительная износостойкость корпусов паромов типа «Сипрус» не позволяют использовать их на переправах в зимнее время (толщина льда в этих районах достигает 0,4—0,6 м, а в суровые зимы — 0,8—1 м). Вместе с тем проводка паромов ледоколами невозможна из-за мелководья (минимальные глубины на северной переправе составляют 2,9 м, на южной — 5 м). Поэтому с декабря по март судоходное сообщение на северной переправе отсутствует, а на южной в это время остается в эксплуатации лишь паром «Гелумард» с ледовыми подкреплениями категории УЛА и энергоооруженностью как у ледоколов. В настоящее время намечается постройка водоизмещающего парома для островов Эстонии по пр. 10380 (табл. 1).

Благодаря высокой энергоооруженности, эти паромы имеют никакой коэффициент утилизации водонизмещения во грузоподъемности. Однако даже такие паромы-ледоколы, главные размерения которых выбираются для ледовых условий, не в состоянии обеспечить круглогодичную работу переправ в суровые зимы. Кроме того, грузоподъемность этих паромов не оптимальна для грузопотоков, существующих на переправах.

Гидрометеорологические и ледовые условия в районе переправ на острова Эстонии позволяют круглогодично использовать суда на воздушной подушке (СВП). В качестве исходных приемов СВП, предназначенные для работы на необорудованный берег.¹ Рассмотренные варианты паромных СВП, рассчитанные по данным для судов зарубежной постройки, представлены в табл. 2. Эксплуатационные показатели работы СВП определены с учетом гидрометеорологических условий в районе переправ, зависимости

¹ Технико-экономическое исследование амфибийного легкорулевого средства на воздушной подушке В. Малюков, Л. М. Караваева, Л. Б. Амфилогов, Ю. А. Самонов.— Тр. ЦНИИМФ, 1979, кнк. 303, с. 82—93.

Таблица 1

**Основные характеристики паромов для истоковых переправ
к ледорезам с малой осадкой**

Характеристика	Ледокол	Саппер*	Пр. 10380	Ледокол
Длина, м	47,6	43,5	44,5	53,9
Ширина по КБЛ, м	12,2	11,0	12,2	16,0
Осадка, м	4,5	2,66	2,98	4,2
Водоизмещение, т	1434	677	925	2330
Мощность главных двигателей, кВт	2300	440	2000	3000
Скорость, уз	13,7	10,0	12,8	14,0
Энерговооруженность, кВт·ч	1,5	0,67	2,05	1,47
Строительная стоимость, тыс. руб.	3020	1650	2130	—
Категория ледовых подразделений Регистра СССР	УДА	УЛ	УЛ	Ледокол

скорости СВП от вида опорной поверхности (лед, вода), протяженности трасс. Учтено также изменение грузопотока в течение года по месяцам и дням недели (в выходные дни грузопоток уменьшается). Загрузка СВП рассчитана для автомашин марки КамАЗ грузоподъемностью 10 т, поскольку уже сейчас их количество на переправах составляет 50 %. Легковые машины и пассажиропоток учтены дополнительно.

В результате расчетов для каждого варианта определено потребное число паромов на трассах. Получено время круговых рейсов и расписание движения, при котором обеспечивается максимальная загрузка судов и, следовательно, минимальные приведенные затраты на тонну перевезенного груза (табл. 3).

Приведенная оптимальная продолжительность круговых рейсов превышает обеспечивающую техническими возможностями судов и скоростями их загрузка-разгрузки, причем для малых судов (СВП-30-I) это превышение значительно, а для больших СВП и подразделяющихся паромов оно велико. Например, паром «Техумаран» в состоянии совершать круговой рейс на южной переправе летом за 1,15 ч, в то время как сезональная его продолжительность 2,52 ч, а для СВП-30-I эти величины равны соответственно 0,73 и 1,07 ч. Очевидно, большие паромы грузоподъемностью выше 100 т не соответствуют грузопотоку из эстонских переправ. Малые суда оказываются более подходящими для данных условий.

Таблица 2

Основные характеристики СВП

Характеристика	СВП-30- I	СВП-30- II	СВП-30- III	СВП-30- IV	СВП-30- V
Грузоподъемность, т	30	30	90	90	200
Длина между параллелокуражами, м	31	29	43	43	56
Ширина по ВД, м	10,5	10,5	20,6	20,6	26
Водоизмещение, т	66	65	230	230	460
Запас топлива, т	2,8	6,0	28	37,5	58
Мощность, кВт	3,7	2,2	11	4,4	26,8
Скорость, уз	—	—	—	—	—
на леду	46	9	48	10	52
на воде	62	48	67	37	72
Автомобилистичность (КамАЗ, МАЗ-535), шт.	3	3	9	9	16
Экипаж в рейсе, чел.	2	2	3	3	6
Строительная стоимость, тыс. руб.	750	600	2000	1600	3870
Суточное содержание, руб./сут:					
на воду	1520	1175	3620	2230	7365
на стоянку	320	460	1700	1125	2048

Таблица 3

Продолжительность круговых рейсов в режиме максимальной загрузки (в ч)

Тип судна	Южный переправа				Северный переправа			
	Водоиз- мещение судна	Лето	Весна, осень	Зима (1-я сущ.)	Водоиз- мещение судна	Лето	Весна, осень	Зима (1-я сущ.)
СВП-30-I	3	1,07	1,50	0,70	2	2,1	3,44	3,32
СВП-30-II	5	1,80	2,50	0,70	4	4,2	6,88	3,32
СВП-30-III	2	2,14	3,00	2,01	1	3,18	5,13	6,75
СВП-30-IV	2	2,14	3,00	2,01	2	6,32	10,26	6,75
СВП-30-V	1	2,39	3,33	2,90	1	7,04	11,4	14,9
Пр. 10380	—	—	—	—	2	7,36	12,0	13,3
«Техумаран»	2	2,02	3,5	2,45	—	—	—	—

Для количественной оценки экономических показателей работы паромов рассчитаны приведенные затраты для всех вариантов рассматриваемых судов, причем учтены не только эксплуатационные расходы и капитальныеложения, необходимые для строительства судов, но и затраты по береговым сооружениям.

По грузоподъемности и скорости ханболеши подходит к астонским переправам окажался паром СВП-30-I (табл. 4). В этой таблице также приведены результаты расчета при работе СВП или водокомплексов из паромов комплексно из обоих переправах, причем считалось, что на северной переправе в этом случае будет работать только паром пр. 10380, на южной — «Техумарди».

Таблица 4

Приведенные затраты на перевозку груза на астонских переправах (в руб./т)

Переправа	Баз. паром	сил.к-т	пр. 10380	«Техумарди»
Северная	По флоту	2,72	6,00	—
	По берегу	2,84	2,08	—
	Всего	5,56	8,08	—
Южная	По флоту	1,05	—	2,30
	По берегу	1,11	—	0,35
	Всего	2,16	—	2,62
Обе переправы	По флоту	1,43	3,19	
	По берегу	1,50	0,52	
	Всего	2,93	3,66	

Значительные экономические преимущества СВП-30-I по флотским затратам объясняются в основном существенно меньшей строительной стоимостью СВП при почти одинаковой с водокомплексами паромами способности (из-за высокой скорости) в лучшем использовании грузоподъемности. Затраты на береговые сооружения для СВП выше, чем для паромов, поскольку для последних нет необходимости строить дополнительные береговые комплексы для СВП.

Таким образом, использование на переправах СВП повысит надежность связи островов с материковым в зимнее время и при повышенных уровнях воды. Годовой экономический эффект при замене паромов судами СВП-30-I составит 1 млн. руб.

РАЗМЕРНЫЙ РЯД НАВАЛОЧНЫХ СУДОВ

В различных областях техники градация главнейших характеристик промышленных изделий распространена весьма широко. Этими характеристиками могут быть показатели размеров (длины, площади, объема, массы), а также грузоподъемности, мощности, нагрузок и др. В машиностроении, например, используется несколько взаимосвязанных стандартизованных числовых рядов для установления градаций параметром и размеров, а также отдельных числовых характеристик продукции (ГОСТ 8032—56).

В судостроении также предпринимались попытки стандартизации основных характеристик судов. Работы по типизации морских грузовых судов показали эксплуатационно-экономическое выгоды от строительства и использования в ММФ стандартизованных судов. Осуществление в морском транспорте и во всем народном хозяйстве связанного с этим комплекса мероприятий затрудняется большим разнообразием эксплуатационных условий, которым должны соответствовать суда (глубина в портах и на путях следования, размеры портовых причалов, ветроволновой и лодочный режим в районе плавания и др.), многочисленностью видов их назначение (по перевозимому грузу, дальности плавания, району использования и др.) и различием строительных ограничений судостроительных предприятий, к тому же связанных с различными поставщиками общесудового, энергетического и специального оборудования.

В то же время оказывается целесообразной разработка размерных рядов судов, служащих более узким целем, в частности, при решении задач развития флота. Размерный ряд морских судов может быть использован, например, при анализе наиболее пеленообразного состава флота отдельного пароходства, или эксплуатируемого на определенном направлении, в отдельном бассейне, или предназначенного для перевозки некоторых категорий грузов. При наличии размерных рядов судов различных назначений возможно определение оптимального состава перспективного флота, т. е. обоснование программы его появления.

В простейшем виде размерный ряд судов представляет собой перечень их типоразмеров с более или менее жестко ограниченными основными параметрами. Для решения же задач развития флота необходимо выявление более чем одного параметра; выбор варируемых параметров размерного ряда судов и их число определяется особенностями рассматриваемой группы судов и характером самой задачи. Например, в зависимости от назначения главным параметром транспортного морского судна может служить грузоподъемность или грузовместимость, выраженная в кубо-

Таблица 1

метрах или в числе грузовых единиц — контейнеров, пакетов, автомобилей, лифтеров и т. п. [1].

Основными характеристиками навалочного судна как транспортного средства являются грузоподъемность и связанные с ней осадки в грузу, которые определяют его размеры и главные эксплуатационные качества. Важнейшую характеристику навалочного судна как транспортной единицы, в значительной мере определяющую экономические показатели работы, представляет собой такая скорость.

В качестве главного параметра размерного ряда навалочных судов целесообразно принять чистую грузоподъемность при запасах на расчетную дальность плавания и осадке, соответствующей этой грузоподъемности. Скорость может быть принята в качестве второго независимо зарынченного параметра, который подлежит выбору по экономическому критерию на стадии обоснования основных параметров конкретных судов.

Сложившемуся к настоящему времени составу современного отечественного навалочного флота и возможному увеличению наибольших размеров судов в перспективе отвечает приведенный в табл. 1 ряд грузоподъемностей в виде десятичного числового ряда, который представляет собой геометрическую прогрессию

с нестандартным знаменателем $R7 = \sqrt[7]{10} - 1,3855 \approx 1,4$. При стандартном знаменателе $R5$ (ГОСТ 8032—56) в ряду отсутствуют некоторые числа, соответствующие характеристикам, и в то же время содержатся числа, соответствующие некоторым для отечественных навалочных судов грузоподъемностям. Ряд грузоподъемностей со стандартным знаменателем $R10$ неудобен для пользования, так как чрезмерно детализирован и включает большое число излишних членов (табл. 2). Ряд, содержащий только некоторые значения из ряда со знаменателем $R10$, такие неудобства предстает неравномерного изменения шага грузоподъемностей.

Осадки в грузу судов размерного ряда соответствуют осадкам эксплуатирующихся навалочных судов ММФ неограниченного плавания (рис. 1). Сопоставление со статистическими данными по наименьшим, наибольшим и средним осадкам в грузу крупнотоннажных универсальных навалочных судов мирового флота примерно тех же водоизмещений (табл. 3) показывает, что в связи с ограниченностью глубин у причалов отечественных портов, перерабатывающих навалочные грузы, принятые осадки судов размерного ряда ниже среднестатистических (до 0,5 м для наиболее крупных судов).

Анализ статистических данных современных универсальных навалочных судов мирового флота с разделением их по группам деятельности и году постройки (рис. 2) позволяет выявить тенденцию роста средней скорости с увеличением размера судов и с течением времени для каждой из двухвтычных групп. Для навалочных судов размерного ряда приняты среднестатистические скорости и диф-

Дальность и осадка в полном грузу навалочных судов

№ таблицы на рис. 1	Название	Эксплуатирующиеся суда ММФ		Суда размерного ряда		
		Дальность, км, т	Осадка, м	№ таблицы на рис. 1	Чистая грузоподъем- ность, т	Осадка, м
1	«Фрамм»	3,1	5,05	1	3,5	5,6
2	«Кишинев» ¹	4,1	4,5			
3	«Владивосток» ²	4,8	4,8	2	5,0	6,3
4	«Добрыня»	5,0	6,6			
5	«Ульяновск»	7,5	7,82	3	7,0	7,0
6	«Джанкой»	9,9	8,0	4	10	7,8
7	«Каспийск Панфилов» ³	14,6	9,4	5	15	8,6
8	«Цимлябр Донской» ⁴	19,6	9,88			
9	«Ярома» ⁵	20,4	10,17	6	20	9,2
10	«Знаменгород»	22,9	9,64			
11	«Советский художник»	23,4	9,8	7	25	9,7
12	«Михаил Чекалин»	23,9	10,68			
13	«Николай Волховский»	35,8	10,67	8	35	10,6
14	«София» ⁶	44,5	11,78			
15	«Зоя Космодемьянская»	49,9	11,7	9	50	11,7
16	«Катя» ⁷	72,3	13,34	10	70	13,0
17	«Маршал Будённый» ⁸	101,9	16,0			
18	«Борис Бутома» ⁹	109,6	15,58	11	100	14,5
19	«Мария Гречко» ¹⁰	116,3	16,0			
	—	—	—	12	140	16,2
	—	—	—	13	200	16,5

¹ Разработан китайских судогрузовых судов универсального назначения типа «Индустрия Болхов».

² Судно для перевозки горячего алюминия на Азовском море (полефикация судов типа «Боннивика»).

³ Навалочники-контейнеровозы с полефикацией кирпичом судна по пр. 12907.

⁴ Навалочники-контейнеровозы ледового плавания.

⁵ Навалочники-автомобилисты (принят в бербоут-шартер).

⁶ Принят в бербоут-шартер.

⁷ Навалочники-шартер.

Таблица 2

Ряды грузоподъемности судов со стандартными изменениями (в тыс. т)

№ п/з	Зависимость прогрессии		Н н/к	Зависимость прогрессии	
	Н/к *	Н/к **		Н/к *	Н/к **
1	2,5	2,5	12		31,5
2		3,2	13		40
3	4	4	14		50
4		5	15		63
5	6,3	6,3	16		80
6		8	17		100
7	10	10	18		100
8		12,5	19		125
9	15	16	20		150
10		20	21		200
11	25	25	21	250	250

* $R5 = \sqrt[5]{10} = 1,5849 \approx 1,6$.

** $R10 = \sqrt[10]{10} = 1,2589 \approx 1,25$.

Таблица 3

Зависимость осадки зарубежных паромоходов от дедвейта

Дедвейт, тыс. т	Осадка, м		
	минимальная	наибольшая	средняя
10	6,8	8,6	7,9
15	7,9	9,8	8,9
20	8,45	10,5	9,45
25	9,0	11,05	10,0
35	9,85	12,05	10,9
50	10,85	13,25	12,0
70	11,95	14,6	13,3
100	13,4	16,1	14,9
140	15,1	17,8	16,7
200	17,6	20,0	19,0

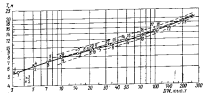


Рис. 1. Осадки в группе кавалочков судов различного дедвейта:
— зарубежные паромоходы (минимальные, наибольшие и средние осадки); —— разбросанные ряды
х — минимальные; —— паромоходы из табл. 1

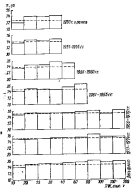


Рис. 2. Средние скорости нарастания в различные годы универсальных паромоходов дедвейт 10-200 тыс. т, эксплуатировавшихся в мировом флоте

пазоне: при грузоподъемности 3,5—7 тыс. т — 10—14 уз, при 10—25 тыс. т — 12—16 уз, при 35 тыс. т и более — 14—18 уз.

Основные элементы судов во многом зависят также от их архитектурно-конструктивного типа, грузовых характеристики, состава оборудования, соотношений главных размерений и т. п. В соответствии с современным зарубежной и отечественной практикой строительства и эксплуатации судов приняты следующие характеристики так называемого стандартного типа навалочного судна:

архитектурно-конструктивный тип — однозадувное, с минимальным задним бортом, с центральными люками и максимальными раскрытиями грузовых трюмов, с продольными подпалубными цистернами в верхних углах трюмов, с пологим настилом второго дна вне пространства люков к бортам (склоновые цистерны) и попечными переборками (нижние «домики»), с кормовыми расположениями машинного отделения, с банком и жилой надстройкой в корме; для навалочников борта — одинарные, с вертикальным набором, для навалочников-танкеров — двойные, с минимальным междубортовым расстоянием;

удельная грузовместимость не ниже 1,25 м³/т;

грузовые средства для перевозки грузов отсутствуют;

корпус открытый, с полубалансирным обтекаемым рулем;

материал корпуса — сталь судостроительная;

левые подкрепления корпуса — категории Л3 Регистра СССР;

судовая энергетическая установка — с одним малооборотным дизелем в качестве главного двигателя и прямой передачей вращения на гребной вал;

автоматизация энергетической установки — на знак А1 Регистра СССР.

Расчетная дальность плавания судов размерного ряда принята в зависимости от грузоподъемности: от 5000 миль для судов грузоподъемностью 3,5 тыс. т до 16 000 миль для судов грузоподъемностью 200 тыс. т, пред течущими материалами основных связей — также в зависимости от грузоподъемности — от 23,5 до 39,2 кН/см². Раскрытие грузовых трюмов размерного ряда соответствует приведенным статистическим данным по судам различных размеров, частота вращения гребного винта принята по данным для современных двигателей в зависимости от требуемой мощности. Для судов размерного ряда грузоподъемностью 3,5—7 тыс. т принято оборудование одиночными и сплошными гребными гриферными винтами грузоподъемностью 12 или 2×12 т и среднеоборотными дизелями в качестве главных двигателей. Для судов грузоподъемностью до 35 тыс. т в качестве движителя принят винт фиксированного шага, а грузоподъемностью 50 тыс. т и более — винт с неподвижной направляющей насадкой. Для судов грузоподъемностью 15 тыс. т и более принят бульбообразные носовые обводы.

Техническо-эксплуатационные характеристики судов размерного ряда определены с учетом указанных параметров с помощью ЭВМ ЕС-1020 по программе, основанной на методике [2]. При этом учтены современные научно-технические достижения в области морского транспорта, судостроения, рациональной организации судоходства, технического обслуживания судов, определение, например, расходы топлива и смазочного масла, расчетную производительность грузообработки, длительность стоянок вне грузовых операций, численность экипажа и т. д.

Главные размерения и коэффициент общей полноты. Длина между перпендикулярами и ширина определены при близком к среднестатистическому отношении длины к ширине $L/B=6,5$, и заданной осадке, соответствующей принятой грузоподъемности. Высота борта вычислена из условий назначения минимального надводного борта по действующим правилам о грузовой марке, непревышении предельного отношения длины к высоте борта ($L/H \leq 14$) и обеспечения заданной удельной грузовместимости. Коэффициент полноты водонизмещения вычислен в функции относительной скорости (числа Фруда).

Грузовместимость и регистровая вместимость. Характеристики вместимости определены с помощью статистических данных по навалочным судам в зависимости от главных размерений, особенностей конструкции судна (двойные или одинарные борта, форма седловатости, размеры подпалубных цистер и др.) с учетом мощности главного двигателя.

Весовая нагрузка. Масса металлического корпуса и оборудования вычислена на основе данных по проектам и построенным навалочным судам в зависимости от назначения судна, главных размерений и коэффициента общей полноты, принятой марки стали, категории левовых усилений, типа и комплектации гребного устройства. Масса энергетической установки определена в зависимости от типа и мощности главного двигателя.

Сопротивление воды движению судна. Смоченная поверхность и остаточное сопротивление определены на основании результатов испытаний моделей серии 60 с учетом особенностей принятых обводов (в частности, наличия носового бульба, открытым кормом), сопротивление трения — по Принципу Шлихтинга, добавочное сопротивление — в зависимости от длины судна.

Мощность главного двигателя. Коэффициент взаимодействия гребного винта с корпусом вычислен в зависимости от полноты судна с учетом принятого типа прогулочного комплекса (винт в насадке или без нее). Характеристики гребного винта (диаметр и к. п. д.) определены на базе интегральных диаграмм Троста при максимальном диаметре (с проверкой удовлетворения ограничений) в зависимости от нагрузки и частоты вращения.

Расход топлива. Суточные расходы топлива и смазочного масла на ходу и на стоянках (с грузовыми операциями и без них),

Характеристика	3500			4000			7000		
	Число грузооборота, т	Число пассажиров, чел.	Число вагонов	Число грузооборота, т	Число пассажиров, чел.	Число вагонов	Число грузооборота, т	Число пассажиров, чел.	Число вагонов
Движение пассажирских поездов, м	5000	5,6	10	12	14	39	6000	6,3	12
Следует в 1995 г. в г. Ставрополе, ул. Папина Михаила	94,7	100,6	94,7	100,6	102,2	107,9	107,4	111,1	116,4
Шарик, м	13,9	14,0	15,5	15,4	15,7	15,8	16,5	17,1	17,9
Вагона багажа, м	6,74	6,75	7,86	7,73	7,74	9,06	8,75	8,75	8,75
Локомотив, Т	3810	3875	5300	5380	5475	7369	7440	7800	7800
Возможное движение, Т	2140	2269	2659	2700	2800	3150	3220	3449	3799
Грузооборот пассажирских поездов, м	4420	4840	5420	6250	6340	7250	8750	9900	9950
Регистрация машинистов, тыс.ч.	2610	2870	3240	3570	3800	4220	4650	5050	5540
Часы	1220	1300	1580	1620	1600	2030	2500	2800	2800
Перевозка пассажирской и грузовой	10,1	9,5	8,8	11,4	10,3	9,5	12,3	11,0	10,5
Пассажирский, м	780	1430	2160	2160	1660	2600	3050	3800	2200
Грузовой, тыс.	25	27	28	27	27	29	27	30	30

Изображение табл. 4

Характеристика	30 000			35 000			70 000		
	Число грузооборота, т	Число пассажиров, чел.	Число вагонов	Число грузооборота, т	Число пассажиров, чел.	Число вагонов	Число грузооборота, т	Число пассажиров, чел.	Число вагонов
Движение пассажирских поездов, м	6000	7,8	12	16	14	16	9000	9,2	14
Следует в 1995 г. в г. Ставрополе, ул. Папина Михаила	125,1	135,3	136,3	140,7	146,8	149,6	153,9	159,7	161,8
Шарик, м	15,4	19,2	20,3	21,0	21,6	23,0	23,7	24,6	25,6
Вагона багажа, м	10,40	10,38	11,37	11,77	11,46	12,78	12,02	12,61	13,44
Локомотив, Т	10 900	10 720	10 900	10 690	10 090	20 860	21 000	21 250	25 980
Возможное движение, Т	3760	4 185	4 730	5 030	5 410	6 180	6 600	7 240	7 350
Грузооборот пассажирских поездов, м	12 600	13 080	14 310	16 750	19 130	26 460	25 000	25 760	31 250
Регистрация машинистов, тыс.ч.	6 960	7 260	8 260	9 060	10 400	11 250	12 950	13 450	14 400
Часы	3 320	4 030	5 540	6 770	9 020	4 860	7 800	8 150	8 820
Пассажирский, м	12,8	11,4	10,6	12,7	11,6	10,8	12,5	11,8	11,3
Грузовой, м	2 210	3 720	5 700	2 660	4 120	6 220	2 910	4 000	6 950
Земля, тыс.	34	32	33	31	32	34	33	34	36

Характеристике	2000		Число промышленности, т		2000	
	2000	2000	2000	2000	2000	2000
Плавленого лизинга, тыс.	11 800		11 800		13 000	
Оценка в приват. м.	10,5		10,5		13,0	
Спортив., уз.	14	16	16	14	14	16
Длина шлангу гидравлического резинового	163,9	165,6	205,4	209,9	227,6	238,4
Шланги, м	28,3	29,1	30,1	31,6	32,8	35,6
Васки дляфт. м.	14,25	14,80	14,77	15,62	16,45	18,69
Лопасти, т	36 470	36 940	37 295	51 780	62 210	62 800
Воздушные					72 300	72 500
коробки, Т	9 659	10 020	11 590	12 790	13 450	16 310
Гумовыемкостн					17 110	18 250
и зерн., м ³	44 300	45 240	45 660	62 200	64 280	66 960
Регуляторы фре- ческовые, руб./т.	22 010	23 120	24 080	30 210	31 390	41 770
частичн.	14 170	14 950	16 040	19 930	20 750	21 960
Перев. машин, с	12,1	11,7	11,3	12,6	12,2	11,4
Звукогашение шума машины					13,8	13,6
Гидравлические трубы, квт	6 190	9 280	13 240	6 940	10 200	15 030
Золото, чист.	36	38	39	37	38	41

Характеристике	1999		Число промышленности, т		1999	
	1999	1999	1999	1999	1999	1999
Длина труб- ных, тыс.	14 000		15 000		16 000	
Оценка в приват. м.	14,5		15		16	
Спортив., уз.	14	16	18	16	16	18
Длина шлангов гидравлическо- го резинового	259,7	259,6	262,5	265,3	269,9	312,9
Шланги, м	39,2	39,7	40,5	43,5	43,9	44,6
Васки дляфт. м.	20 82	20 78	20,71	23,10	23,99	25,38
Лопасти, т	100 190	103 140	104 656	144 290	144 940	145 940
Воздушные					205 630	205 630
коробки, Т	21 270	22 060	23 320	27 350	29 160	35 280
Гумовыемкостн					36 140	37 620
и зерн., м ³	126 000	128 700	133 160	175 300	181 700	226 260
Регуляторы фре- ческовые, руб./т.					254 160	
Изделия, тыс.	53 800	68 170	61 320	78 560	82 310	102 700
Паров. машин, с	30 310	40 270	41 750	53 910	54 900	59 530
Звукогашение шума машины	15,0	14,7	14,2	17,0	16,6	16,1
Гидравлические трубы, квт	11 190	15 280	21 710	14 290	19 120	26 300
Золото, чист.	41	43	44	44	45	45

Таблица 5

Основные характеристики кранов-лебедок

Характеристика	Частота груза		
	70-800	70-900	70-1000
Осадка в грузу, м		12,0	
Дальность подъема, м		13000	
Скорость, м/с	14	16	18
Длина между опорами крана, м	239,3	233,4	239,2
Шарнир, м	35,3	35,9	36,8
Высота борта, м	17,97	17,91	17,82
Лебедки, т	72 600	73 000	73 800
Воздухозаборник парожим, т	17 600	16 310	19 600
Грузоподъемность крана, кг ²	84 400	86 500	89 500
Регистровая вместимость, регист. т:			
изолированные	40 600	41 900	43 500
частные	37 200	38 100	39 400
Период качки, с	12,9	12,6	12,2
Заделогигантская жесткость главного двигателя, кН·м	8700	12 410	18 000
Экспл., час.	40	42	43

Коэффициент развернутого ряда

Позиция, т	300 000			180 000			100 000		
	14,5	16,2	18,5	14	16	18	14	16	18
14 000				14	16	18	14	16	18
14	256,4	259,6	265,0	264,1	267,0	269,7	314,3	316,8	320,9
16	39,4	40,0	40,8	43,7	44,1	44,9	48,3	49,7	49,4
18	19,87	19,88	19,72	21,27	21,58	21,82	24,84	24,74	24,66
100 420	104 040	105 000	104 510	105 270	105 600	105 300	205 820	206 220	206 220
22 670	23 520	24 830	29 000	29 000	31 270	37 120	38 190	39 510	
118 700	120 800	124 000	163 900	165 000	169 400	231 300	232 500	236 100	
55 900	57 200	59 240	75 570	76 120	79 190	104 200	105 500	107 900	
37 970	38 890	40 320	51 800	52 740	54 280	71 940	72 630	74 500	
13,7	13,4	13,1	15,0	14,8	14,4	15,4	17,9	17,3	
11 350	15 460	21 910	14 480	19 340	20 590	18 000	25 800	32 810	
46	45	45	46	47	48	48	49	50	

на подогрев нефтяного груза и на мойку трюмов для навалочных-ко-танкеров вычисляны в зависимости от мощности главного двигателя и дальности судна.

Судовой экипаж. Численность экипажа установлена в зависимости от назначения и размеров судна, мощности главного двигателя и уровня автоматизации судовых производственных процессов при рекомендованием ЦНИИМФ распределения работ по техническому обслуживанию судна между экипажем и береговыми эксплуатационными базами.

Судовые запасы. Запасы топлива и смазочного масла определены для рейса расчетной дальности плавания в зависимости от суточных расходов и длительности хода и стоянок с учетом среднестатистических данных по потерям скорости в рейсе и прессректических норм грузообработки судов. Запасы пресной воды, провизии, массы судового снабжения и экипажа с багажом определены с учетом данных для построенных и спроектированных отечественных судов и по статистическим нормативам в зависимости от водоизмещения судна, мощности главного двигателя и численности экипажа.

Начальная остойчивость в качке. Поперечный метацентрический радиус и аппликата центра величины вычислены по данным для судов с формой обводов моделей серии 60, аппликаты центров тяжести судна порожнем и составляющих дедвейта (груза, топлива и масла, прочих запасов) — по данным для построенных и спроектированных судов. Для условий резонанса при загрузке судна гомогенным навалочным грузом по методу С. Н. Благовещенского [3] определены абсолютные и безразмерные характеристики бортовой качки (период и относительное линейное ускорение у борта).

Основные технико-эксплуатационные характеристики навалочных судов расчетного размерного ряда приведены в табл. 4, навалочно-танкеры — в табл. 5. Кроме данных, необходимых для определения в предпроектной стадии строительной стоимости и суточного содержания этих судов (массы металлического корпуса и оборудования, мощности главного двигателя, расходов топлива и масла, регистровой вместимости, численности экипажа и др.), приводятся данные, необходимые для определения загрузки (включая показатели вместимости и остойчивости) и экономических показателей работы судов в заданных условиях.

Приведенный размерный ряд навалочных судов рекомендуется для использования при расчетах эксплуатационно-экономической обосновки состава перспективного флота и его пополнения. Если некоторые из судов ряда, рассматриваемых при обосновке, будут отличаться от стандартного типа, их технико-эксплуатационные характеристики должны быть соответствующими образом скорректированы. Кроме того, следует учитывать возможные отклонения от расчетных условий, принятых в методике [2].

Данные табл. 4 и 5 могут быть использованы для приближенного определения путем интерполяции характеристик промежуточных размеров судов стандартного типа. При этом зависящие от главных параметров исходные данные, использовавшиеся для толико-эксплуатационных расчетов по рассматриваемым судам ряда (например, осадка, дальность плавания и др.), будут соответствовать интерполированным их значениям.

СПИСОК ЛИТЕРАТУРЫ

- Соколов Л. Г., Павлов Ю. Д. К вопросу обоснования параметрического ряда морских грузовых судов. — Тр. ЦНИИМФ, 1978, вып. 230, с. 58–67.
- Логвинович В. Г., Журавлев О. М., Фомкин Е. В. Вертикальный расчет основных характеристики круглогодичных судов для Навалочных грузов из ВСЧМ. — Тр. ЦНИИМФ, 1975, вып. 156, с. 45–67.
- Семенов-Тян-Шанский В. В., Благовещенская С. Н., Ходакова А. Н. Книга корабля. Л., Судостроение, 1969, 352 с.

УДК 629.13:661.2

Б. З. Леви

ОЦЕНКА ЭФФЕКТИВНОСТИ ОБЫЧНОГО И ЧЕЛНОЧНОГО ПАРОМОВ

В комплексе вопросов, связанных с проектированием судов для перевозок, важное место занимает выбор типа парома. По сравнению с обычными челночными паромами имеют рациональный цикл движения без потерь времени из-за разворачивание при отходе от причала и могут работать в стесненных акваториях. Недостаток челночных паромов сложная энергетическая установка [1].

Считая, что характеристики обычного парома установлены, определим целесообразность замены его челночным. Число паромов обоих типов, их пассажировместимость, время стоянки, необходимое для посадки и высадки пассажиров, прямые постоянные, поскольку это связано с заданным объемом перевозок в таковой период и требуемой частотой отходов судов [2]. Тогда продолжительность кругового рейса обычного и челночного паромов

$$t_{\text{ч.ч.}} = t_{\text{п.п.}} + t_{\text{ст.}}$$

где $t_{\text{п.п.}}$ — ходовое время; $t_{\text{доп.}}$ — дополнительная продолжительность маневров обычного парома при отходе; индексами «п» и «ч» обозначают элементы, относящиеся соответственно к обычному и челночному паромам.

Так как при фиксированной протяженности линии ходовое время обратно пропорционально скорости судна v_0 , то

$$\frac{v_0}{v_0} = \frac{1}{1 + t_{m, \text{ч}}/t_{m, \text{н}}}. \quad (1)$$

Это позволяет определить возможное уменьшение скорости челночного парома по сравнению с обычным (рис. 1) при равной продолжительности рейса:

$$\Delta v_0 = v_0 \left(\frac{1}{1 + t_{m, \text{ч}}/t_{m, \text{н}}} - 1 \right). \quad (2)$$

Возможность работы челночного парома с меньшей скоростью вследствие замедления времени t_m создает предпосылку снижения



Рис. 1. Возможное уменьшение скорости челночного парома по сравнению с обычным за счет замедления времени замедления на перегрузах различной продолжительности

мощности N , расходуемой на движение. Для ее определения воспользуемся адмиралтейской формулой

$$N = \frac{D v^3}{C},$$

Будем считать, что водоизмещение D мало отличается для обоих вариантов паромов, их длина одинакова, а разница в коэффициенте полезного действия гребных винтов η_D компенсируется различием в коэффициенте вязкости корпуса η_v , поскольку некоторое снижение η_v у челночных паромов, вызванное возможным увеличением коэффициента загрузки из-за уменьшения скорости, сопровождается ростом коэффициента влияния корпуса по сравнению с обычными паромами, которые для улучшения маневренности чаще всего оборудуют двухвинтовой гребной установкой. При центральном расположении винтов η_v на 8–12 % больше, чем при бортовом [3], [4]. Кроме того, уменьшение сопротивления выступающих частей челночного парома по сравнению с обычным двухвинтовым по данным [3] оценивается в 3–4 % от сопротивления голого корпуса. С учетом этого различие в адмиралтейском коэффициенте C обычного и челночного паромов в основном может свидетельствовать о увеличении сопротивления воды телом парома

на величину тормозящей силы свободно вращающегося носового гребного винта. Тогда

$$\frac{N_0}{N_n} = \frac{C_0}{C_n} \left(\frac{\eta_v}{\eta_n} \right)^n = c \left(\frac{1}{1 + t_{m, \text{ч}}/t_{m, \text{н}}} \right)^n,$$

где $c = C_0/C_n$.

$$\Delta N = N_n - N_0 = N_n \left[c \left(\frac{1}{1 + t_{m, \text{ч}}/t_{m, \text{н}}} \right)^n - 1 \right].$$

Влияние соотношения между продолжительностью маневров и чистого хода обычного парома на скорость и мощность челночного парома при различных показателях степени и показано на рис. 2. С учетом этого относительное сокращение топливной составляющей эксплуатационных расходов

$$\frac{\Delta S_{0,1}}{S_{0,1}} = \frac{\Delta N}{N_0} = c \left(\frac{1}{1 + t_{m, \text{ч}}/t_{m, \text{н}}} \right)^n - 1.$$

(3)

Средства, необходимые для постройки комплекса из единиц однотипных судов,

$$K_m = K_c \sum_{i=1}^n q_i,$$

где K_c — относительная стоимость серийного судна;
 q_i — коэффициент серийности.

Если все паромы обычного типа предполагается заменить челночными, потребные капиталовложения изменятся пропорционально отношению их строительных стоимостей. Однако при большом разнообразии личный составление всей замечаемой серии паромов к одному типу не всегда целесообразно. В то же время постройка паромов двух типов сопряжена с дополнительными затратами

$$\Delta K = K_{\{m_0 - m_n\}} + K_{m_n} - K_{m_0},$$

где $\{m_0 - m_n\}$ — оставшееся число обычных паромов после частичной их замены челночными.

Относительное изменение затрат на постройку паромов двух типов по сравнению с комплексом однотипных судов такой же общей численности

$$\begin{aligned} \frac{\Delta K}{K_{m_0}} &= \frac{K_{\{m_0 - m_n\}}}{K_{m_0}} + \frac{K_{m_n}}{K_{m_0}} - 1 = \\ &= \sum_{i=1}^{m_0 - m_n} q_i + K \sum_{i=1}^{m_n} q_i \\ &= \sum_{i=1}^{m_n} q_i - 1. \end{aligned} \quad (4)$$

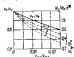


Рис. 2. Соотношение скорости и мощности челночного и обычного паромов в зависимости от относительной продолжительности маневрирования $t_m, \text{ч}/t_m, \text{n}$

Необходимо также учесть изменение соизуащих затрат, связанных с гидротехническими работами, если обслуживание перевозки обычных паромами требует расширения акватории для их разворота при отходе от причала, в случае применения членной схемы эти затраты могут существенно сократиться либо вообще отпасть:

$$\Delta K_n = K_{n, \text{ч}} - K_{n, \text{о}} \quad (5)$$

С целью обобщенной экономической оценки эффективности замены обычных паромов членочными определим относительное изменение показателя приведенных затрат, используя зависимости (3), (4), (5):

$$\begin{aligned} & \frac{\Delta Z_n}{Z_{n, \text{o}}} = \left[\left(\frac{1}{1 + r_{\text{н}, \text{o}} / t_{\text{н}, \text{o}}} \right)^n - 1 \right] \alpha_{\text{спр}} \alpha_{\text{н}, \text{o}} + \\ & + \left(\frac{\alpha_{\text{н}, \text{o}} - \alpha_{\text{н}}}{\sum_{i=1}^m \eta_i} + K \sum_{i=1}^m \eta_i \right) (1 + E_n) \alpha_{\text{спр}} \alpha_{\text{н}, \text{o}} + \frac{E_n \Delta K_n}{Z_{n, \text{o}}}, \end{aligned} \quad (6)$$

где $\alpha_{\text{спр}}$ — относительная доля затрат на топливо в сумме всех эксплуатационных расходов при использовании обычных паромов; $\alpha_{\text{спр}}$ — относительная доля затрат, зависящих от строительной стоимости этих паромов (амортизационные отчисления, ремонт, приобретение изнашивавшегося инвентаря и т. п.); $\alpha_{\text{н}, \text{o}}$ — относительная доля эксплуатационных расходов в общих прямых и соизуащих затратах, учитываемых комплексным показателем $Z_{n, \text{o}}$; E_n — нормативный коэффициент.

Для пассажирских судов, работающих на коротких прибрежных линиях, в большинстве случаев $\alpha_{\text{спр}} = 0,06 \dots 0,18$. Для грузовых судов, используемых на переправах Севастополя, $\alpha_{\text{спр}} = 0,1$; $\alpha_{\text{спр}} = 0,35 \dots 0,45$ [6]. Встречающиеся в практике значения $\alpha_{\text{спр}}$ довольно разнообразны, так как доля эксплуатационных расходов $Z_{n, \text{o}}$ в комплексном показателе затрат

$$Z_{n, \text{o}} = Z_{n, \text{ч}} + E_n (K_{n, \text{ч}} + K_{n, \text{о}}) \quad (7)$$

существенно зависит от стоимости гидротехнических работ $K_{n, \text{ч}}$. Для частного случая, когда $K_{n, \text{ч}} = 0$, значение $\alpha_{\text{спр}}$ можно получить, выражая в (7) стоимость постройки судов $K_{n, \text{о}}$ через $Z_{n, \text{o}}$ и коэффициент $\alpha_{\text{спр}}$, уменьшенный на долю ремонтных расходов $\alpha_{\text{р}, \text{o}}$ и расходов на приобретение изнашивавшегося инвентаря $\alpha_{\text{н}, \text{o}}$. В этом случае

$$\alpha_{\text{спр}} = \frac{Z_{n, \text{o}}}{Z_{n, \text{o}} + 1 + E_n (\alpha_{\text{спр}} - \alpha_{\text{р}, \text{o}} - \alpha_{\text{н}, \text{o}})}.$$

Сумма $\alpha_{\text{спр}}$ и $\alpha_{\text{н}, \text{o}}$ меняется в пределах 0,07–0,20 [5] и в среднем составляет 0,15. Величина E_n согласно общесоюзной методике может быть принята равной 0,15, что соответствует нормативному сроку окупаемости капитальныхложений 6,7 лет.

Полученные путем анализа различных источников коэффициенты серийности Φ_1 для относительно небольших судов, приведенные в табл. 1, в конкретных случаях могут отличаться как в меньшую, так и в большую сторону, особенно для головного и следующего за ним второго судна.

Таблица 1

Коэффициент серийности Φ_1 при строительстве небольших судов

Верхний номер судна в серии J	1	2	3	4	5	6
Коэффициент серийности Φ_1	2,00	1,50	1,16	1,14	1,12	1,10
Сумма серии $\sum_{i=1}^m \eta_i$	2,00	3,50	4,96	5,80	6,92	8,02
Продолжение табл. 1						
Верхний номер судна в серии J	7	8	9	10	11	...
Коэффициент серийности Φ_1	1,98	1,00	1,04	1,02	1,0	...
Сумма серии $\sum_{i=1}^m \eta_i$	9,39	10,16	11,20	12,22	13,22	...

Отношение строительной стоимости серийно освоенного членного парома к стоимости обычного K при разной пассажироподъемности паромов в одинаковой их длине зависит главным образом от различий в комплектации энергетической установки, движительно-рулевого комплекса, способа передачи мощности к гребному валу, длины валопроводов. Стоимость членочного парома с двумя гребными винтами и рулевыми щитами в носу в корме, очевидно, будет выше, чем одновалового обычного парома. Однако недостаточные маневренные качества одновинтовых паромов ограничивают их применение в стесненных условиях, поэтому чаще обычные паромы оборудуют двухвальной гребной установкой. Это увеличивает разницу в стоимости паромов обоих типов и позволяет считать $K = 1$, учитывая также, что отмеченная ранее возможность некоторого уменьшения мощности гребной установки членочного парома сопровождается в ряде случаев более сложной системой передачи. Если даже стоимость гребной установки членочного парома на 25 % выше, чем обычного, то в целом расходы на постройку такого судна возрастут на 7–8 % [4], [5]. При этом $K \leq 1,07 \dots 1,08$.

Увеличение балластовой мощности членочного парома ΔR_n вызывает дополнительным сопротивлением отклонения

двигатели свободно вращающегося посового гребного винта фиксированного шага, для относительно крупных паромов составляет 18—20 %, у более мелких и более быстроходных судов это обычно не превышает 10 % [4], а в случае установки ВРШ либо кривошипных движителей будет еще меньше, поскольку имеется возможность развернуть лопасти в нейтральное положение. Соответственно этому коэффициент с для комплексов с открытым гребным винтом в среднем составляет 1,10—1,18. В случае установки пологорной насадки для повышения боковой силы, необходимой парому при швартовке и отходе от причала при встрече, сопротивление ΔR_0 несколько возрастает и значение с повышается до 1,12—1,21.

Связь α с характером изменения мощности в зависимости от скорости судна показатель степени n в (6) достигает 4—8, если скорость превышает значение, за которым кривая боксировочной мощности резко повышается (критическая скорость). При меньшей скорости показатель степени n обычно не превышает 3. Положение критической точки зависит от ряда параметров формы корпуса и чаще всего совпадает с интервалом чисел Фруда 0,20—0,30, характерными для челюстных паромов (табл. 2). У соответствующих им обычных паромов при одинаковой продолжительности рейса относительная скорость выше ($Fr = 0,29 \dots 0,35$), при этом, по-видимому, $n \geq 4$. Графический способ [6], позволяющий уточнить показатель степени n в любой точке кривой боксировочной мощности, показан на рис. 3 на примере парома пр. 1438 ($v_{\text{д}}/(v_0 - v_{\text{б}}) = 4,4$). Наличие такой кривой для исходного варианта обычного парома дает возможность рассчитывать относительные изменения расходов на топливо без вычисления показателя степени n , путем непосредственного определения боксировочной мощности EPS_0 при скорости v_0 и мощности EPS_0 , соответствующей скорости v_0 . В этом случае

$$\frac{\Delta R_{0,1}}{\Delta v_{\text{д}}} = \frac{cEPS_0 - EPS_0}{EPS_0}. \quad (8)$$

Расчет по (8) позволяет получить более точный результат, чем по (3), особенно когда разница в скоростях v_0 и $v_{\text{д}}$ велика и показатель степени n нельзя считать постоянным для всего интервала $\Delta v = v_0 - v_{\text{д}}$.

Недеятельность использования челюстного парома вместо обычного показана на примере парома Севастополь. Для связи между базальными рабочими этого парома намечена настройка вспомогательных пассажирских паромов

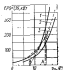


Рис. 3. Боксировочная мощность криволинейных паромов в зависимости от коэффициента боксировочных судов избранных классов (по данным монографии Ильинского):

1 — суда «Форд» (изобретательность № 60 г. июня 26 в. оценка 11,2 усл.); 2 — суда пр. 1438 (оценка 11,5 усл.); 3 — суда пр. 1438 (изобретательность № 60 г. июня 26 в. оценка 11,8 усл.); 4 — суда пр. 1438 (изобретательность № 60 г. июня 26 в. оценка 11,8 усл.); 5 — суда пр. 1438 (изобретательность № 60 г. июня 26 в. оценка 11,8 усл.); 6 — суда пр. 1438 (изобретательность № 60 г. июня 26 в. оценка 11,8 усл.)

парома пр. 1438 ($v_{\text{д}}/(v_0 - v_{\text{б}}) = 4,4$). Наличие такой кривой для исходного варианта обычного парома дает возможность рассчитывать относительные изменения расходов на топливо без вычисления показателя степени n , путем непосредственного определения боксировочной мощности EPS_0 при скорости v_0 и мощности EPS_0 , соответствующей скорости v_0 . В этом случае

Таблица 2

Избранные суда и страны-изобретатели	Число рабочих киль-штампов	Число киль-штампов	Показатель степени n	Абсолютная мощность, кВт	Сила винта, кН	Установленная мощность, кВт	Гребной вал	
							мощность, кВт	турбина, мощность, кВт
«Форд» (Испания)	21,8	5,96	3,05	2,25	340	—	9,5	0,33 220 кВт
«Форд» (Республика Южной Африки (ЮАР))	36,0	9,70	4,30	2,49	150	—	9,3	0,25 Гребной вал 50×500 кВт, Гребной вал 50×500 кВт и генератор 2×200 кВт
«Паром № 1» (СССР)	62,0	10,12	3,30	1,70	375	—	8,0	0,20 Двигатель с генератором и гребной вал 2×200 кВт
«Форд» (США)	48,3	7,00	3,30	2,15	400	6	9,0	0,22 Двигатель «Форд»—Ricardo мощностью 250 кВт
«Паром № 1» (СССР)	55,7	10,0	2,65	1,55	1000	—	8,0	0,16 Двигатель «Минск» № 1М77 мощностью 375 кВт
«Паром № 1» (СССР)	57,8	10,40	2,60	2,35	140	—	10	0,22 Двигатель «Форд»—Ricardo мощностью 250 кВт, гребной вал 750 кВт, гребной вал и генератор 2×200 кВт
«Бригантина» (Греция)	22,5	18,0	6,1	4,50	1500	85	16	0,27 Двигатель мощностью 3880 кВт

¹ При сплошном винтостемени — 400 кВт.

² Давление на винт 0,55, шаг 0,63, высота.

³ Давление на винт 0,17, шаг 0,63, высота 10 м.

⁴ Противодавление 0,35.

⁵ Противодавление менее 0,35.

($\eta_{\text{ч}}=0.8$) на 250 пассажиров каждый с двухместной требой установкой, обеспечивающей максимальную скорость около 11,8 уз (табл. 0,36). Три судна за восемь будут обслуживать паромную Граффес пристав — Северная стоянка противоположностью 0,8 миль, на которой в качестве конкурирующего варианта может рассматриваться членничий паром также по пассажирооборотности, т. е. $\eta_{\text{ч}}=0.3$. Принято $v_p=11,8$ уз; $c=1,15$; $\eta_{\text{ч}}=0,12$; $E_{\text{ч}}=0,35$; $I_{\text{ч}}=1,05$; $K=1,05$; $\alpha_0=0,97$; $\Delta K=0,02$.

Скорость членничего парома по (1) $v_p=9,85$. Буксировочная мощность (табл. 3, кривая 2), соответствующая скорости v_p и $I_{\text{ч}}$, будет $EPB_{\text{ч}}=132,5 \text{ кВт}$ и $EPB_{\text{ч}}=66,2 \text{ кВт}$. По табл. 1, ввиду $\sum_{i=1}^3 \eta_i=10,16$; $\sum_{i=1}^3 \eta_i=6,90$; $\sum_{i=1}^3 q_i=4,66$.

По формуле (6) с учетом (8) $\Delta EPB_{\text{ч}}=0,02$.

Как видно, уменьшение приведенных затрат при использовании членничего парома вместо обычного оказалось сравнимо с различием между ними (2 %).

Согласно с теми же исследованиями имеющимся в архиве НИИМФиМ, наиболее существенной разницы в затратах можно сказать, если для возможного маневрирования обычного парома требуется выполнение дополнительных гидротехнических работ, которые в рассматриваемом примере отсутствуют.

Возможность снижения скорости членничного парома по сравнению с обычным при изысканной продолжительности рейса оказывает положительное влияние на экономическую эффективность по мере сокращения расстояния (протяженности переправы) и увеличения v_p . В результате в цикле работы судна возрастают относительные потери времени из маинстры (рис. 4) и растет показатель степени n .

Рис. 4. Влияние заданного времени и времени изысканования на соотношение скорости членничного и обычного паромов при одинаковой продолжительности рейса

увеличения v_p . В результате в цикле работы судна возрастают относительные потери времени из маинстры (рис. 4) и растет показатель степени n .

Относительный выигрыш в мощности энергетической установки членничного парома по сравнению с обычным растет по мере уменьшения размеров парома, поскольку зависимость от длины скорости судов примерно одинакова — около 10 уз (см. табл. 2), что допускается при движении в гаванях [2]. В результате режим работы малых паромов отличает более высоким числом Фруда и соответственно большими значениями показателя степени n . Полученные зависимости позволяют уточнить условия всплескообразного применения членничных паромов также с учетом фактора унификации.

СПИСОК ЛИТЕРАТУРЫ

1. Краковская А. И. Инженерные типы автомобильно-пассажирского транспорта для водного-воздушного бассейна. — Тр. ГИИМТ, 1976, вып. 185. с. 87.
2. Левин Б. З. Определение объема паромных перевозок для обоснования основных параметров пассажирских судов краеведческого сообщения и Зерифии. — Тр. ЦНИИМФиМ, 1978, вып. 170, с. 98—109.
3. Могил Л. М. Теория проектирования судов. Л., Судостроение, 1955. 419 с.
4. Левин Б. З. Пассажирские суда плавречного хамакена. Л., Судостроение, 1973. 264 с.

Б. Краев, Б. И. Студин, О. К. Ленинова, Э. Л. Заказчиковские обозначения при проектировании морских грузовых судов. Л., Судостроение, 1973. 159 с.

Б. Павловко Г. Е. Справочник задач для проектирования судов. М., Водтранспорт, 1963. 385 с.

УДК 629.12.037.16.006.15

С. Н. Иванов, В. В. Паскальков, Г. В. Торопов

ЭКСПЛУАТАЦИОННО-ЭКОНОМИЧЕСКАЯ ЭФФЕКТИВНОСТЬ ПРИМЕНЕНИЯ ВРШ НА СУДАХ ТИПА «НОВГОРОД»

Наличие значительного числа судов, оснащенных движительными установками с ВРШ в составе пополнения отечественного транспортного флота, устойчивая тенденция зарубежных судоизделий к оснащению ими крупнотоннажных транспортных судов различного назначения, в том числе ледового плавания, оборудованных мощными малооборотными и среднеоборотными главными двигателями (ГД), требуют исследования влияния этого типа движителя на конечные эксплуатационно-экономические показатели.

В 1975 и 1979 гг. ЦНИИМФиМ совместно с БМП были исследованы результаты эксплуатации судов типа «Новгород» с ВРШ и ВРШ. Основные характеристики судов, их главных двигателей и движительных установок представлены в табл. 1.

Исследование проводилось по методике [1] и инструкции [2], в соответствии с которыми использовались данные статистической и бухгалтерской отчетности пароходства, отражающие реально сложившиеся затраты, объем транспортной работы, производительность труда экипажа и расход топлива. Использовались также данные сравнительных теплотехнических испытаний судов «Новолатайск» с ВРШ и «Новополоцк» с ВРШ при эксплуатации на австралийской линии, исследование работы главных двигателей и систем дистанционного управления судов «Ноумаргард» (с ВРШ) и «Новоузунецк» (с ВРШ) при плаваниях на той же линии, документы Регистра СССР, имеющие отношение к эксплуатации рассматриваемых судов, и другие материалы. Были проанализированы данные 429 допускений старших моряков в более 100 отчетах капитанов.

Сравнение результатов работы выполнено по среднему показателю двух судов с ВРШ («Ноумаргард» и «Новоузунецк») и двух судов с ВРШ («Новолатайск» и «Новополоцк»), а также всех судов рассматриваемой серии с ВРШ. Имелось в виду, что все суда типа «Новгород» в среднем за год совершали одинаковое число рейсов, перевозили идентичные грузы, потребляли топливо

Таблица 1

Продолжение табл. 1

Основные характеристики судов типа «Новгород»

Характеристика	Судно с ВФШ	Судно с ВРШ
Конструктивный тип судна	Ледокольное, с кормой в баком, с верхней палубой и междубордовым отсеком	
Длина наибольшая, м	150,85	
Диаметр между перекрестьями, м	138,0	
Ширина, м	29,6	
Высота борта, м	12,0	
Осадка наибольшая, м	9,5	
Водоизмещение, т:		
погружек	5396	
в группу	17 895	
Грузоподъемность чистая, т	12 100	
Дедвейт, т	18 620	
Скорость, уз:		
в балласте	18,0	
в плавании грунту	17,0	
Главный двигатель	Машино-двигательный агрегат 6РД-76 (БДКН 76/155) «Бердск-Зульев» мощностью 7000 кВт (9000 л. с.) при частоте вращения вала 119 об/мин.	
Двигательная установка	С 4-дисковыми ВД-42 прямого вращения диаметром 5450 мм, шаг винта 4088 мм, дисковое отклонение 0,391, масса манта (без кронштейнов гребных валов, обечайки и кронштейн гайки) 10 000 кг. Материал — бронза. Маховый момент весом 117 000 кг·м ²	ВРШ фирмы «КоМеВаз» (Швеция), левого вращения. С 4-дисковыми винтами с поворотными дисковыми (ВДПЛ) диаметром 5300 мм. Конструктивный шаг винта 3588 мм, максимальный шаг манты винта 6628 мм, шаг левистых валов на заднем ходу 4821 мм. Дисковое отклонение 0,473. Масса винта в комплекте с обечайкой 23 200 кг. Материал — нержавеющая сталь. Маховый момент ВДПЛ 92 000 кг·м ²

Характеристика	Судно с ВФШ	Судно с ВРШ
Система дистанционного управления	Электроакустическая, типа «Феникс-2», фирмы «Остлер», с выходом ГД на требуемый режим работы из ходового устройства на ЦПУ в МО. Подача команд из каюты в ЦПУ вызываемой машиной телеграфом с автоматической регистрацией	Пневматическая, фирмы «КоМеВаз», обеспечивающая подачу команд ходового места на ЦПУ в МО с поста машиниста винта при помощи механизма поворота левистой ВРШ в ту сторону, на которую
Система дистанционного контроля за параметрами работы ГД в движительной установке	Установка машиниста центрального дистанционного (обогреваемого) контроля типа «Штилькант» фирмы АЕГ, включающая датчики и устройства для контроля, регистрации и представления информации о параметрах работы ГД и движителя	Фирмы «Остлер», обеспечивающая замеры в автоматическом режиме скорости судна, частоты вращения требуемого вала, крутящего момента, мощности на требуемый валу. Автоматический регулятор нагрузки фирмы «Альфардс» электровакуумный, обеспечивающий поддержание заданной нагрузки в зависимости от реальной плавации путем выбора оптимального шага винта, а также шага шага ГД
Стоимость движительной установки без систем дистанционного управления, в ценах, тыс. руб.	57,5	74,6
Стоимость системы дистанционного управления, тыс. тыс. руб.	25,0	17,0
Стоимость системы дистанционного контрая, тыс. тыс. руб.	Часто стоимость машиниста типа «Даслангит»	13,0

в масла близких марок, ремонтировались на одних и тех же судоремонтных заводах.

Анализировалась работа всех судов серии с 1971 г. Поэтому построенные в 1969 г. суда «Новомургурод» и «Новомургурод» оказались в худших условиях, так как период освоения и плавации их ГД и движительных установок начался в 1970 г., а первые пять судов с ВФШ прошли гарантийный ремонт в 1968—1969 гг., когда были устранены дефекты работы ГД, посадки гребных винтов на конусы гребных валов, заменены гидравлические «стяжки» ВФШ и получившие трещины гребные валы, а также винты

дебалансные устройства, обтекатели и гайки гребных винтов, во-вражденные или потерянные в ледовых условиях.

Из среднегодовых показателей эксплуатации судов «Новомиргород» и «Новополоцк» за 1971—1978 гг. были исключены данные за 1975 г., когда оба судна находились вне эксплуатации (переоборудовались) в течение 188 сут. Не учтена и работа судов «Новоалтайск» и «Новольвовск» в 1974 г., когда они переоборудовались в течение 108 сут. По этой причине из рассмотрения исключены показатели всех судов серии с ВФШ в 1974 г.

ВРШ судов «Новомиргород» и «Новополоцк» являются простым и удобным судовым механизмом, позволяющим в любой момент согласовать характеристики гребного винта с характеристиками ГД и корпуса, исправить ошибки, допущенные при определении сопротивления воды движению винта и коэффициентов взаимодействия гребного винта с корпусом, а также с рулем, учесть, что в процессе эксплуатации характеристики корпуса, ГД и ВФШ также изменяются.

Спроектированные для судов рассматриваемой серии ВФШ оказались гидродинамически «тяжелыми». Для обеспечения большей надежности двигательной строительные фирмы рекомендуют использовать на транспортных судах гидродинамически «легкие» ВФШ. Например, фирма «Бурмейстер и Вайн» предлагает применять винты, спроектированные на условия приемо-сдаточных испытаний, эксплуатационную мощность и замененную на 2,5 % эксплуатационную частоту вращения ГД; фирма «Зульцер» — спроектированные на эксплуатационную мощность в nominalную частоту вращения, т. е. облегчая гребной винт по частоте вращения примерно на 3,5 %. Но применение гидродинамически «тяжелых» и «легких» ВФШ существенно снижает экономические показатели работы судна, увеличивает расход топлива. Наиболее целесообразный и экономичный режим работы ГД и движителя в различных условиях плавания может быть обеспечен выбором шага лопастей и частоты вращения гребного винта с учетом режимов и общего срока эксплуатации, интервала до ремонта, характера и длительности плавания судна в условиях плавания.

При маневрировании судов «Новомиргород» и «Новополоцк» переходный процесс регулирования шага H и частоты вращения вала ГД не имеет монотонного характера. В процессе маневрирования поворотом лопастей проходит кратковременное снижение H на 10—30 % и примерно такое же снижение в этот период нагрузки на ГД. Практически частично уменьшение или увеличение H и n выполняется при любой скорости хода без изменения направления вращения валов валорволов и гребного винта, что повышает маневренные качества судна.

За месяц плавания судна типа «Новгород» с ВФШ его ГД в среднем запускаются 50—70 раз, а ГД судов «Новомиргород» и «Новополоцк» — не более 6 раз. Отсутствие реверса гребного винта и вала, изменяющего вала и других элементов ГД, allows валопровода у судов «Новомиргород» и «Новополоцк» позволяет

поддерживать относительно стабильные мезанические и тепловые нагрузки, уменьшить износ ГД, повысить надежность работы всех узлов промышленного комплекса. Маневрируют эти суда поворотом лопастей ВРШ без изменения направления вращения гребного вала и ВПЛ, коленчатого вала ГД, т. е. без потери начальных до маневра кинетической энергии и момента элементами движительной установки и ГД. Кинетическая энергия их вращения и максимальный момент ВПЛ (920 кН·м) обеспечивают повышенную способность ВРШ преодолевать дополнительные ледовые сопротивления без створения зинна, лучшую работу и надежность узлов движительной установки и ГД, более высокую ледоходимость. Кроме того, обеспечение с помощью ВРШ любой скорости хода особенно важно при следованиях во льдах в направлении за ледоколом, а также при самостоятельном движении в ледовых условиях.

В течение десяти плаваний при плавании во льдах из судов «Новомиргород» и «Новополоцк» не было ни одной аварии ВРШ и систем дистанционного управления и контроля. Автомат движительных установок с ВФШ судов типа «Новгород», систем дистанционного управления и контроля, дебалансных устройств и корпусов происходят ежегодно и возникают, как правило, в результате работы во льдах. На судах с ВФШ рассматриваемой серии выходили из строя головные подшипники, цилиндровые крышки и клянцевые вставки крышек цилиндротов, их шапочки, коршины и их головки, блоки топливных насосов.

У ГД судов серии типа «Новгород», так же как и типа «Красногород», в последние годы выходили из строя цилиндровые втулки в связи с появлением в верхней их части продольных трещин. Так, у ГД первых восьми судов к ноябрю 1979 г. заменили 34 втулки (71 %), а у ГД судов «Новомиргород» и «Новополоцк» с ВРШ из этой же причин заменили 7 втулок (58 %). Это, прежде всего, следствие конструктивных недостатков ГД, а также прочих, которых полностью могут быть выявлены лишь специальными исследованиями.

Относительные эксплуатационно-экономические показатели работы в БМП за 1971—1978 гг. судов с ВФШ (средние во двум судам «Новоалтайск» и «Новольвовск» и по всем 13 судам серии) в сравнении с аналогичными судами с ВРШ приведены в табл. 2. Они показывают, что по сравнению с соответствующими показателями судов «Новоалтайск» и «Новольвовск» (с ВФШ) продолжительность ремонта судна с ВРШ в среднем на 42 % меньше; затраты на ремонт ниже на 3,8 % (без учета дополнительного технического обслуживания ГД и движительных установок первых). Каждый ВРШ в среднем использовал на 478 кВт (6,8 %) большую мощность ГД. За год ГД судна с ВРШ наработало на 2028 тыс. сило-ч больше.

Средний годовой эксплуатационный период судна с ВРШ по данным службы судового хозяйства БМП оказался больше на 7,4 сут (2,1 %), а по законченным рейсам — на 7,75 сут (2,3 %).

Таблица 2
Эксплуатационно-экономические показатели судов с ВРШ (в %)

Показатель	«Новоладай» в «Новоладай»	в среднем
Использованная мощность ГД, кВт	-6,79	-7,96
Наработка ГД, кВт·ч	-5,29	-6,61
Эксплуатационный период, сут	-2,10	-3,24
Продолжительность ремонта, сут	+42,45	+73,52
Коэффициент ходового времени	+3,92	+6,68
Коэффициент использования грузоподъемности	-7,27	-8,66
Скорость, уз	-0,70	-0,90
Грузооборот, млн. тонн/год	-9,33	-11,50
Средняя тарифная ставка на перевозку 1 т груза	+25,25	-14,53
Расходы на содержание экипажа	+4,59	+6,88
Финансовый результат	-8,28	-13,48
Чистая валовая выручка	-6,65	-7,62
Удельный расход топлива, кг:		
из 1 кВт	+1,0	+0,5
из 1 млн т	+8,0	—
из 1 тонн-километра	+5,4	+6,3
из 1 руб. прибыли	+4,3	+9,1
Удельные затраты на топливо, руб./тоннокилометр	+2,1	+0,9

Примечание. Знаки «+» и «-» обозначают соответственно увеличение или уменьшение по сравнению с судами с ВРШ.

Суда с ВРШ доказали в среднем после 2,5 лет, а суда с ВРШ — после 1 года и 8 месяцев плавания. Однако средняя скорость первых, несмотря на вдвоеное этим увеличение сопротивления воды, была на 0,12 уз больше, чем в среднем одного из судов ВРШ. Средний грузооборот каждого из судов с ВРШ больше на 32,2 млн. тонн/год (9,3 %). Если бы не было потери скорости (минимум 0,6 уз), обусловленной дополнительным обраствением за 10-месячное превышение периода между докованием, суда с ВРШ выполняли бы значительно большую транспортную работу.

Продолжительность труда экипажей судов с ВРШ по выполненной транспортной работе выше на 9,7 %. В среднем в год судно с ВРШ обеспечило пароходству дополнительную чистую валютную выручку в 4,85 % и увеличенную прибыль на 8,2 %. Экономия топлива на тонна-километр выполненной транспортной работы составила 5,4 %, на единицу выработанной ГД мощности — 1,0 % (с учетом расхода топлива на работу привода МПЛ) и на рубль полученной прибыли 4,3 %.

Из табл. 2 также следует, что судно с ВРШ имеет еще более высокие значения соответствующих показателей по сравнению со средними одного из 13 судов серии, оснащенных ВРШ.

Дополнительно выполнены расчеты эксплуатационно-экономических показателей работы судов «Новоладай» (с ВРШ) и «Новоладай» (без ВРШ) на австралийской линии со свинецокрашенной подводной обшивкой в одинаковой осадке при одних и тех же условиях плавания. Было принято, что ВРШ использует мощность ГД, равную 5851 кВт (7955 к. л. с.), а ВРШ — 6265 кВт (8517 к. л. с.), т. е. из 7 % больше, что имело место в практике эксплуатации судов. По данным модельных испытаний при заданной мощности и осадке определено, что ВРШ обеспечивает скорость 17,3 уз, а ВРШ — 17,6 уз. Потери скорости в рейсе по данным эксплуатации для судна с ВРШ приняты равными 3,1 %, судна с ВРШ — 4,6 %.

Для судна с ВРШ эксплуатационный период принял равным 348 сут, а судна с ВРШ — 352 сут. Эта разница в эксплуатационном периоде равна разнице средней продолжительности ремонта ГД и движительной установки.

Результаты расчетов показывают, что при перевозке грузов на выбранной линии с тарифной ставкой, равной средней тарифной ставке на грузы, перевозимые судном «Новоладай» за последние 8 лет, правильное использование ВРШ могло бы обеспечить увеличение среднегодовой чистой валютной выручки и прибыли еще соответственно на 27 и 25 %.

Результаты исследований влияния на экономическую эффективность регулирования шага лопастей и частоты вращения ВРШ в периоды встречавшегося сильного волнения на выбранной линии показали, что оптимизация режима работы энита и ГД в таких случаях обеспечивает дополнительный экономический эффект по приведенным затратам около 34 тыс. руб. в год. Этот резерв повышения экономичности эксплуатации судов с ВРШ может быть использован их экипажами.

Таким образом, применение ВРШ на судах «Новомиргород» и «Новоладай» способствует повышению эффективности производственных фондов пароходства, в частности, увеличивает транспортную работу, чистую валютную выручку и прибыль, повышает производительность труда экипажа, а также обеспечивает экономию топлива. При правильном использовании имеющейся возможности выбора оптимальной частоты вращения и шага лопастей ВРШ на различных режимах плавания могут быть получены еще более высокие эксплуатационно-экономические показатели работы судна.

СПИСОК ЛИТЕРАТУРЫ

- Методика определения экономической эффективности использования на морском транспорте новых типов, изобретений и разработок авторских предложений. М., ЦБНТИ ММФ, 1978. 107 с.
- Инструкция по определению экономической эффективности капиталовыхложений ММФ. М., ЦБНТИ ММФ, 1978. 177 с.

ОЦЕНКА ВЕСОВОЙ НАГРУЗКИ ГРУЗОВЫХ СЕКЦИИ МОРСКИХ СОСТАВНЫХ СУДОВ

Общий весовой показатель эксплуатируемых в мировом флоте морских составных судов (около 30) достигает 0,5 млн. т, а типов судов не менее 18. Среди построенных составов имеются плавучинки, лесовозы, танкеры, газовозы, пакетные суда, а также баржи-носители, перевозящие баржи на палубу в «мокром» трюме.

В ряде случаев грузовые секции одного и того же назначения сконструированы для различных систем из соединения в составе: ширинговых типа «Артубар» либо жестких типа «ТБС», «Кэлтаг» и др. [1]. Это существенно не влияет на номенклатуру и массу оборудования (за исключением специального устройства), однако оказывает воздействие на массу металлического корпуса — его продольные силы и в особенности нормовую окончность. Корновая окончность грузовой секции составов с жестким соединением и соединительный узел должны обеспечивать общую прочность состава, аналогичную прочности традиционного судна той же длины. Это увеличивает массу корпуса секций по сравнению с ширингами. Масса корпуса увеличивается также вследствие наличия днища решетка и более протяженных скегов, чем у ширинговых секций.

Малочисленные сведения о весовой нагрузке грузовых секций [2], [3] в большей мере противоречивы, поэтому предварительная оценка нагрузки составных судов при их технико-экономическом обосновании (ТЭО), особенно при разработке типо-размерного ряда в широком диапазоне грузоподъемности затруднительна даже для наиболее простого типа грузовых секций. Строительство водонепроницаемые грузовых секций составляет 70–80 % от водоизмещения состава, поэтому ошибка в определении составляющих массы грузовой секции может существенно повлиять на результаты ТЭО комплекса «грузовые секции — машинные секции».

Для оценки весовой нагрузки грузовых секций по укрупненным статьям «Металлический корпус» и «Оборудование» проводился анализ масс корпуса и оборудования 14 построенных плавучинок, лесовозов и универсальных сухогрузных судов (см. табл.) с кубическим модулем от 3,7 до 208 тыс. м³ и грузоподъемностью 1,2–104 тыс. т. Каждому из этих судов соответствуют грузовые секции с тем же кубическим модулем.

Предполагалось, что грузовые секции однопалубные, без платформ, бака, юта, разъемных рубок и грузовых устройств предназ-

наченены для ширинговых составов (типа «Артубар»), т. е. с рефрактером без днища и малой относительной длиной снегов, оборудованы автономной испарительной дизель-генераторной установкой общей мощностью (включая сварные генераторы) 150–300 кВт для обслуживания судового оборудования при отсутствии машинной секции, склоном, людьми, шартонным, букирным устройствами и балластно-осушительной, пожарной, осветительной системами, естественной вентиляцией, топливоподкачивающим насосом и компрессором львиных вод. Экипаж и помещения для него отсутствуют (за исключением дежурного помещения, используемого в портах).

Кроме того, при определении весовой нагрузки исключены статьи, отсутствующие у грузовых секций, редуцированы массы статей уменьшенного объема. Так, из статьи «Металлический корпус» исключена масса настила, рубок, платформ, мостиков, трасс газовоздуха и воздухозабора, мачт с площадками, из статьи «Оборудование» исключена масса оборудования жилых и служебных помещений, электрорадионавигационного оборудования, шлюпочного устройства и др., существенно снижена масса покрытий, цементировок, изоляции и т. п. Ледовые подкрепления грузовых секций признаны категории Л2 Регистра СССР, наведены к массе металлического корпуса определены с помощью коэффициентов 1,12; 1,06; 1,025 и 1,0 для категорий УЛ, Л1, Л2 и Л3 соответственно.

Результаты обработки весовой нагрузки в виде измерителей массы металлического корпуса и оборудования на единицу LBH сопоставлены с расчетами по формулам, полученным из оснований анализа характеристик судоводов с кубическим модулем 50–200 тыс. м³ [2] и обработки статистических данных [3], и показаны на рисунке. Из рисунка видно, что кривой измерителя массы металлического корпуса r_{M} , аппроксимирующей данные по построенным судам, соответствуют также линии по проектным проработкам морского составного судна и по морским баржам [4].

Аппроксимирующая кривая измерителя массы металлического корпуса при $LBH=30 \dots 60$ тыс. м³ заметно ниже, чем во [2] и [3], и сближается с последними при $LBH>120$ тыс. м³. Следует также учесть, что район плавания рассматриваемых составных судов ограничен закрытыми морями и линиями вдоль побережий открытых морей.

Анализ аппроксимирующей кривой измерителя массы оборудования в сопоставлении с данными по проектным проработкам и по [4] показывает, что по характеру и уровню эта кривая более правильно отражает закономерность изменения измерителя, чем [2] и [3].

Приведенные аппроксимирующие кривые измерителей массы металлического корпуса и оборудования грузовых секций могут

Характеристики	Судоходство*	Двигатель	«Академик»- ПТС	«Славяно-	«Славяно-	«Планета»- Биокарбон»	«Планета»- Биокарбон»
Проектный тгру	Лтд. «Гидро-	Лтд. «Гидро-	Генерал- Энерго	Генерал- Энерго, акс-	Генерал- Энерго	Лтд. «Гидро-	Лтд. «Гидро-
Длина между пирометровыми планками L, м	65,4	74,96	93,9	117,0	106,8	113,0	119,05
Ширина B, м	11,32	12,54	14,74	15,0	15,8	16,1	16,7
Высота борта H, м	5,0	6,04	7,1	6,5	5,5	5,25	6,3
Осадка Г, м	4,6	5,43	6,0	4,3	5,5	7,05	6,92
L/H, %	27,82	60,78	50,68	11,408	13,05	15,142	17,75
Водоизмещение корабля, т	711	921	1111	1202	1212	1217	1217
Грузоподъемность, т	800	1025	1249	2060	2318	3037	3395
Масса, т:							
металлического корпуса	468	584	658	1118	1301	1358	1405
P ₀ , к обратимому Р _{0,4}	178	211	249	415	390	431	474
в т. ч. необратимой	41	76	81	82	90	99	106
неизменяемой части							210
корпуса	49	99	65	40	42	99	107
судовых устройств	33	45	64	68	62	122	139
оборудования	19	35	37	38	49	51	57
автомобилей	38	34	32	45	41	48	47
Водоизмещение корабля, т	395	773	1129	1429	1615	1675	1717
P _{0,4} , кН/м ² , кН/м ²	100,2	99,3	98,4	98,0	98,2	98,4	98,2
F _{0,4} (L/B), кН/м ²	48,0	57,2	56,0	55,7	55,9	57,5	57,4

ГРУЗОВЫЙ СОСТАВ СУДОВЫХ ПРИНАДЛЕЖНОСТЕЙ

Характеристики	«Гидро- Энерго»	«Славяно-	«Славяно-	«Планета»- Биокарбон»	«Планета»- Биокарбон»
Проектный тгру	Генерал- Энерго	Генерал- Энерго	Генерал- Энерго	Генерал- Энерго	Генерал- Энерго
Длина между пирометровыми планками L, м	129,9	149,0	134,4	155,9	164,9
Ширина B, м	17,68	25,0	20,6	21,78	24,5
Высота борта H, м	9,65	12,0	12,2	13,2	14,3
Годы Г, м	7,64	9,00	9,4	9,64	9,8
Водоизмещение корабля, т	21,90	24,06	25,09	44,91	57,73
Грузоподъемность	7,72	11	11	22	—
корабля	3540	5729	5248	6305	—
в т. ч. ГРУЗУ	11,830	18,300	20,105	22,090	62,55
Грузоподъемность, т	5760	11,085	13,782	13,943	—

ГРУЗОВЫЙ СОСТАВ ПОЧУВСТВЕННОГО СУДА

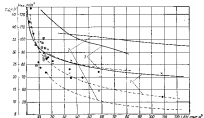
Характеристики	«Гидро- Энерго»	«Славяно-	«Славяно-	«Планета»- Биокарбон»	«Планета»- Биокарбон»
Проектный тгру	Генерал- Энерго	Генерал- Энерго	Генерал- Энерго	Генерал- Энерго	Генерал- Энерго
Длина между пирометровыми планками L, м	1699	2329	2070	2970	3401
Ширина B, м	593	799	704	859	1251
Высота борта H, м	67	94	54	375	759
Годы Г, м	71	168	65	199	98
Водоизмещение корабля, т	62	445	62	51	125
Грузоподъемность	2352	3383	3031	3826	4784
корабля	60,3	79,1	68,4	66,3	9712
Грузоподъемность, т	26,4	22,8	22,8	21,8	21,9

Характеристики	«Гидро- Энерго»	«Славяно-	«Славяно-	«Планета»- Биокарбон»	«Планета»- Биокарбон»
Проектный тгру	Генерал- Энерго	Генерал- Энерго	Генерал- Энерго	Генерал- Энерго	Генерал- Энерго
Длина между пирометровыми планками L, м	129,9	149,0	134,4	155,9	164,9
Ширина B, м	17,68	25,0	20,6	21,78	24,5
Высота борта H, м	9,65	12,0	12,2	13,2	14,3
Годы Г, м	7,64	9,00	9,4	9,64	9,8
Водоизмещение корабля, т	21,90	24,06	25,09	44,91	57,73
Грузоподъемность	7,72	11	11	22	—
корабля	3540	5729	5248	6305	—
в т. ч. ГРУЗУ	11,830	18,300	20,105	22,090	62,55
Грузоподъемность, т	5760	11,085	13,782	13,943	—

ГРУЗОВЫЙ СОСТАВ СУДОВЫХ ПРИНАДЛЕЖНОСТЕЙ

Характеристики	«Гидро- Энерго»	«Славяно-	«Славяно-	«Планета»- Биокарбон»	«Планета»- Биокарбон»
Проектный тгру	Генерал- Энерго	Генерал- Энерго	Генерал- Энерго	Генерал- Энерго	Генерал- Энерго
Длина между пирометровыми планками L, м	1699	2329	2070	2970	3401
Ширина B, м	593	799	704	859	1251
Высота борта H, м	67	94	54	375	759
Годы Г, м	71	168	65	199	98
Водоизмещение корабля, т	62	445	62	51	125
Грузоподъемность	2352	3383	3031	3826	4784
корабля	60,3	79,1	68,4	66,3	9712
Грузоподъемность, т	26,4	22,8	22,8	21,8	21,9

использоваться на стадии ТЭО составных судов. Очевидно, весовая нагрузка грузовых секций морских составных судов требует дальнейшего уточнения и детализации, тем более что представление весовой нагрузки в виде укрупненных измерителей только по кубическому модулю, по-видимому, недостаточно. Для уточнения весовых нагрузок необходимо выделить массы, пропорциональные L_B , $L_B + 2H$ и т. д., найти методом более точного вычисления массы кормовой оконечности грузовых секций для различных систем соединения их с машинной секцией. Следует



Измерители массы металлического корпуса (—) и оборудования (---) грузовых секций по кубическому модулю:

1 — по данным для спроектированной и эксплуатируемых судов; 2 — по формуле НЮР №2; 3 — по формуле ЛКИ [3]

также уточнить комплектацию оборудования грузовых секций различного назначения и его массу на базе данных проектов и испытательских проработок.

СПИСОК ЛИТЕРАТУРЫ

- Лачуджан Г. А., Фокина Е. В. Оценка главных размерений морских составных судов в начальной стадии проектирования. — Тр. ЦНИИМФ, 1979, вып. 243, с. 42–75.
- Иванников К. Ф., Танзюра А. Г., Шостак В. П. Особенности проектирования морского баржевозного состава для перевозки опасных грузов. — Тр. НКИ, 1977, вып. 128, с. 119–138.
- Семенов Ю. Н., Захаров А. К. Математическое моделирование элементов составных изолинок для морских перекосов. — Тр. ЛКИ, 1985, вып. 98, с. 35–38.
- Богданов Б. В. Морские и речевые баржи. Л.: Судостроение, 1963. 294 с.

УДК 629.124.791.2.06.014.77.804.15

М. А. Гречак, канд. техн. наук

ОЦЕНКА ЭФФЕКТИВНОСТИ КРЕНОВЫХ И ДИФФЕРЕНТИНЫХ СИСТЕМ ЛЕДОКОЛОВ

Поставленная перед морским флотом задача обеспечения круглогодичной навигации в западной части Северного морского пути требует дальнейшего улучшения ледоходности ледоколов. Один из путей повышения средней скорости проводки судов в торосистых припайных льдах — оборудование ледоколов эффективными средствами борьбы с заклиниванием, в частности, креновыми и дифферентными системами.

Наиболее полный и во существе единственный теоретический анализ условий заклинивания с оценкой эффективности креновой системы выполнен в работах [1] и [2]. Исследование возможности одновременной перекладки руля в работы бортовых винтов в противоположные стороны для освобождения от заклинивания. Эффективность дифферентной системы, кроме случая ската льда при приеме балласта в носовую штилеру, а также условия совместной работы креновых и дифферентных систем, не рассматривались.

Переход к круглогодичной навигации существенно изменил условия эксплуатации ледоколов и трансформировал некоторые позиции об их ледоходности. В связи с этим возникла необходимость дополнительного исследования работы креновых и дифферентных систем как средств борьбы с заклиниванием, в случаях раздельного и совместного использования, с определением целесообразности их установки на современных ледоколах.

Условия заклинивания ледокола. В процессе движения ледокола по льду при определенных условиях движущая сила гребных винтов становится меньше силы ледового сопротивления, и ледокол останавливается. При даже единичном ходе ледокол отходит назад или остается без движения, т. е. заклинивается во льдах. Заклинивание возможно как со всплытием, так и без всплытия корпуса.

Заклинивание со всплытием обычно происходит при работе ледокола набегающими в тяжелых торосистых льдах. Корпус ледокола всплывает торосы на меньшую ширину, чем ширина излома в окружающей ледяной поле. Поэтому торосистый участок заклинивает корпус в районе, близком к мидели. Обычно образуется зона контакта с обоих бортов, в которой наблюдается интенсивное смятие и дробление льда, так как сравнительно малые углы наклона борта в средней части судна не позволяют сломать лед изгибом и притянуть обломанные льдины. В некоторых случаях при заклинивании образуются две зоны контакта — в средней части и в районе форштевня, протяженность средней зоны доходил до 15–30 м, носовой — до 10–15 м. Редко происходит

заклинивания форштевнем и прилегающим к нему участкам борта.

Заклинивание без испытания корпуса происходит при движении в тяжелых битых льдах большой сжатости, особенно в каналах, или при скатии. При скатии в битых льдах крупные льдины или стены канала препятствуют свободному раздвиганию льда, который сдвигается у борта и может вызвать заносление значительных сил трения, препятствующих движению ледокола. Исследования показали, что наиболее тяжелые случаи заклинивания — в районе средней части судна [1], [2]. Заклинивание форштевнем при испытании хода ледокола на лед можно избе-



Рис. 1. Элемент обшивки корпуса ледокола в зоне контакта со льдом

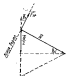


Рис. 2. Схема сил, действующих на обшивку ледокола с одного борта

жать соответствующим выбором форм обводов носовой оконечности.

Рассмотрим условия заклинивания ледокола. На рис. 1 показан элемент обшивки корпуса судна в зоне контакта со льдом с одного борта. Аналогичная зона имеется и с другого борта.

Прием обычную систему координат, направив ось Ox вдоль судна, ось Oy — в сторону правого борта, ось Oz — вертикально вверх. Вспомогательную систему координат $Ox_0y_0z_0$, параллельную главной, совместив с центром элементарной площадки длиной df и высотой db . β_0 и α — соответственно углы наклона нормали к горизонтали, падающей к вертикали и затерпинки к диаметру в зоне контакта.

Сила, действующая по нормали за элементарную площадку, определяется нормальными давлениями P_x на корпус судна:

$$dN = P_x db df - P_x \frac{db}{\cos \beta_0} \frac{df}{\cos \alpha}.$$

Учитывая, что $\operatorname{tg} \beta_0 = \operatorname{tg} \beta \cos \alpha$,

$$dN = P_x \frac{\sqrt{1 + \operatorname{tg}^2 \beta \cos^2 \alpha}}{\cos \alpha} df dx.$$

Равнодействующая нормальных сил реакции льда, действующих с каждого борта по площади S зоны контакта корпуса со льдом,

$$N = \int \int_S P_x(x, z) \frac{\sqrt{1 + \operatorname{tg}^2 \beta \cos^2 \alpha}}{\cos \alpha} dz dx, \quad (1)$$

В общем случае при известных законах распределения P_x по длине l и высоте h зоны контакта и изменениям α и β значение N может быть определено численным методами. В частном случае заклинивания средней частью ($\alpha = 0$) при постоянном давлении льда

$$N = \int_0^h \int_0^l P_x \frac{df dx}{\cos \beta} = P_x \frac{hl}{\cos \beta}. \quad (2)$$

Нормальную силу реакции льда при заклинивании со всеми силами можно определить через потерянную силу плавучести Q при испытании ледокола (рис. 2):

$$N = \frac{Q}{2 \sin \beta_0} = \frac{Q \sqrt{1 + \operatorname{tg}^2 \beta \cos^2 \alpha}}{2 \operatorname{tg} \beta \cos \alpha}, \quad (3)$$

где β и α — средние углы в зоне контакта (в дальнейшем черта над углом не будет указываться).

Составление выражений (2) и (3) для средних углов и постоянного давления, разного напряжения на смятие льда σ_0 , позволяет определить при заданной толщине h минимальную протяженность зоны контакта

$$l = \frac{Q}{2 \operatorname{tg} \beta \cos \alpha}. \quad (4)$$

Так, для мощного ледокола при $Q = 10$ МН $\sigma_0 = 2.5$ МПа, $\beta = 15^\circ$ и $h = 1.5$ м, минимальная длина зоны контакта с каждого борта $l = 4.9$ м.

Условие заклинивания ледокола в вертикальной плоскости после испытания получаем, проектируя силу трения $F_{tr} - fN$ в нормальную силу, действующую на корпус, на вертикальную ось: $fN \cos \beta_0 \geq N \sin \beta_0$, или $f \geq \operatorname{tg} \beta_0$. Это условие тривиально для канала, т. е. угол трения должен быть больше угла наклона борта. При коэффициенте статического трения льда об обшивку $f = 0.35$ для предотвращения заклинивания угол наклона борта $\beta_0 \leq 14^\circ$.

Условие заклинивания в продольной плоскости, считая силы трения приложенным в плоскости затерпинки:

$$fN \cos \alpha \geq N \cos(\bar{\pi}, \pi).$$

Учитывая соотношение между β_0 и β , а также что $\cos(\bar{\pi}, \pi) = -\cos \beta_0 \sin \alpha$, найдем

$$f \geq \frac{\operatorname{tg} \alpha}{\sqrt{1 + \operatorname{tg}^2 \beta \cos^2 \alpha}}. \quad (5)$$

Подпорное выражение для судов с вертикальными бортами ($\beta = 0$) равно единице, а для обычных ледоколов близко к единице. Поэтому условие заклинивания ледокола в горизонтальной плоскости, аналогичное решению для клюна $f \geq \tan \alpha$, показывает, что заклинивание ледокола возможно в районе миделя и части днища корпуса, расположенной в зоне от миделя, где углы наклона ватерлиний меньше угла трения, т. е. примерно до 10° длины судна.

Для освобождения от заклинивания используется прежде всего работа винтов на задней ход. Потребная для этого тяга

$$P_x \geq 2fN \cos \alpha - 2N \cos \left[\frac{\pi}{R}, x \right].$$

Для случая заклинивания без всплытия

$$P_x \geq 2N \cos \alpha (f - \frac{1}{2}g \sin \delta \beta). \quad (6)$$

Это условие неопределенно, так как значение N , вычисленное по (1), зависит от давления скатия и площади зоны контакта, т. е. является случайным и неопределенным.

При заклинивании со всплытием условие освобождения с учетом (3) имеет вид

$$P_x \geq Q \left[\frac{f \sqrt{1 + \tan^2 \beta} \cos \alpha - 10 \alpha}{\eta \beta} \right]. \quad (7)$$

Формулы (5) и (7) совпадают с полученными ранее [2]. Так как заклинивание происходит при малых углах α , то условие (7) может быть представлено в виде

$$P_x \geq f Q / \sin \beta, \quad (8)$$

т. е. тяга гребных винтов должна превосходить силу трения. Отсюда потерявшая сила износусты, при которой возможно освобождение ледокола с помощью гребных винтов,

$$Q \leq \frac{P_x \cos \beta}{f}. \quad (9)$$

Отношение $f / \sin \beta$ при коэффициентах трения покоя $f = 0,25 \dots 0,3$ и обычных наклонах шпагтоготов ($\beta = 15 \dots 20^\circ$) близко к единице. Поэтому приближенным условием освобождения от заклинивания с помощью гребных винтов является неравенство $P_x \geq Q$.

В случае заклинивания средней частью, когда дифферент судна изменяется исключительно, значение Q равно силе поддержания отодвинувшейся части корпуса:

$$Q = \gamma S \Delta T_{sp} g, \quad (10)$$

где γ — плотность морской воды; S — площадь конструктивной ватерлинии; ΔT_{sp} — изменение средней осадки при всплытии ледокола; g — ускорение свободного падения.

При начальном дифференте реакция льда определяется по метacentрической формуле по изменению дифферента ΔA :

$$Q = \frac{D \Delta T_{sp} g}{L_{11} (x_0 - x_1)}, \quad (11)$$

где D — водоизмещение судна; x_0 — абсцисса приложения равнодействующей силы реакции льда; x_1 — абсцисса к. т. плоскости ватерлинии; L_{11} — длина ледокола между перпендикулярами; H — прельник метacentрическая высота.

Приближение согласно [3]

$$H \approx 0,0746 \frac{\sigma^2}{T} \frac{L^2}{T^2}, \quad (12)$$

где σ — коэффициент полноты ватерлинии; δ — коэффициент общей полноты; L — длина судна по действующей ватерлинии; T — осадка судна.

Неравенство (6), как показывает оценка, выполняется для мощных ледоколов при сравнительно незначительных всплытиях. Так, ледокол «Арктика» ($\beta = 20^\circ$, $P_x = 3,65$ МН), сила износусты на 1 см осадки $\Delta D = 0,28$ МН/см), может освободиться от заклинивания при всплытии до 0,15—0,18 м, а ледокол «Москва» ($\beta = 18^\circ$, $P_x = 1,4$ МН, $\Delta D = 0,21$ МН/см) — при всплытии до 0,08 м, что соответствует засыпке легким условиями плавания. По мере смещения зоны заклинивания от миделя к носовой оконечности эффективность гребных винтов для освобождения от заклинования повышается. При $\alpha = 10^\circ$ ледокол «Арктика», согласно (9), может освободиться от заклинивания при всплытии до 0,4 м.

Кроме того, используются различные средства для раскачивания корпуса ледокола и обмытия кромки зоны заклинивания, в том числе перекладка руля с борта на борт, работа винтов «раздробка» и одновременное их применение. Однако при сильных заклиниваниях эффективнее использовать креновые и дифферентные системы.

Креновая система. Рассмотрим эффективность ее работы и сопротивление объемом креновых цистерн при разделенной и одновременной работе гребных винтов и креновой системы. При работе только креновой системы в зоне контакта корпуса со льдом при условии малости угла будет действовать сила, касательная к износусту и сказываясь с наложением кренящего момента, а также сила трения. Если преодолеть перераспределением нормальных давлений, то минимальный объем креновых цистер одного борта для переворота корпуса

$$V_s \geq \frac{2/B \cos \beta \cdot N}{\sin \beta}. \quad (13)$$

где B — ширина ледокола; β — расстояние между к. т. объемов цистерн.

При заклинивании без всплытия значение N неопределено. В случае непрерывной работы креновой системы можно считать, что имеется место трение движения. Так как коэффициент

динамического трения примерно в 3 раза ниже коэффициента статического трения, ледокол может освободиться от более сильного заклинивания, когда сила нормального давления N в 3 раза пре-
восходит аналогичные силы при статическом трении. Поэтому креновая система при заклинении без испытания является довольно эффективным средством, улучшающим ледопроходимость.

При заклинении со испытанием

$$V_s \geq f \frac{BQ}{\delta B \sin \beta - 1}. \quad (14)$$

Отсюда залоговая сила плавучести, при которой возможно «прорывка» корпуса с помощью креновых цистерн заданного объема,

$$Q \geq \frac{\delta B V_s \sin \beta}{f B}. \quad (15)$$

Для определенных значений $\beta=18^\circ$, $f=0,28$ и $\delta/B=0,8$ приближенно $\delta B V_s \geq 1,1 Q$. Эта оценка практически совпадает с результатами расчетов [1], показавших, что вес кренбалласта в цистернах одного борта должен быть примерно равен потерянной силе плавучести.

При одновременной работе гребных винтов и креновых цистерн для поворота корпуса к страгиванию с места ледокол неизбывно, чтобы геометрическая сумма сил, обусловленных действием кренящего момента в работе гребных винтов, была не меньше силы трения:

$$\left(\frac{\sigma_1 V_{\phi} \delta}{2B \cos \beta} \right)^2 + \frac{P_r^2}{4} \geq f^2 N^2.$$

Тогда

$$V_{\phi} \geq \frac{Q}{\delta B} \frac{\pi}{b} \cos \beta \sqrt{\left(\frac{f}{\sin \beta} \right)^2 - \left(\frac{P_r}{Q} \right)^2}; \quad (16)$$

$$Q < \frac{\sin \beta}{f} \sqrt{\left(\frac{\sigma_1 V_{\phi} \delta}{B \cos \beta} \right)^2 + P_r^2}. \quad (17)$$

Для оценки эффективности креновых цистерн выполнены расчеты для случаев заклинения ледоколов со испытанием при коэффициенте статического трения $f=0,28$. Результаты этих расчетов представлены на рис. 3 в виде зависимости испытания, при котором возможна освобождение от заклинения с помощью креновой системы и гребных винтов, от вместимости креновых цистерн одного борта. Полученные результаты показывают, что креновые системы при статическом заклинении со испытанием более эффективны на ледоколах с меньшей мощностью главных двигателей и более низким упором заднего хода. Так, на ледоколе «Капитан Сорокин» креновые системы увеличивают испытание в 4,5 раза, на ледоколе «Москва» — в 2,5 раза, на ледоколе «Арктика» — в 1,7 раза по сравнению с работой только гребных вин-

тов. При увеличении вместимости креновых систем их эффективность повышается, причем для мощных ледоколов рост эффективности слабее.

Приведенные данные показывают, что общее испытание, при котором ледоколы могут освобождаться от заклинения с помощью креновых систем при работе их путем перекидки балласта, сравнительно невелико, и при существующих системах составляет около 0,2 м. Это соответствует относительно легким условиям плавания, но в них применение креновых систем, по крайней мере для ледоколов средней мощности, весьма эффективно.

При работе креновых систем путем откачки балласта за борт происходит уменьшение потерянной силы плавучести и сил трения пропорционально количеству откаченного балласта. Если креновые цистерны были заполнены изначально, то эффективность этого способа аналогична способу перекидки балласта с борта на борт, а в случае полного заполнения цистерн при их заклинении средней частью способ откачки балласта за борт в 2 раза эффективнее способа перекидки. Поэтому в некоторых случаях он должен использоваться в эксплуатации при сильных заклинениях, поскольку при той же эффективности требуется в 2 раза меньший объем балластных цистерн, что особенно важно для ледоколов, плавающих в тяжелых льдах, при ограниченном объеме цистерн. Так, ледоколам типа «Москва» и «Капитан Сорокин» после заклинения и откачки балласта из полностью заполненных креновых цистерн при работе винтов на задний ход могут освобождаться от заклинения при испытаниях до 0,5 м.

При работе ледоколов в тяжелых льдах возможна освобождение от заклинения путем перекидывания кренбалласта, когда происходит образование трещин и разрушение льда изгибом в зоне контакта с корпусом. Вертикальные усадки, при которых образуются трещины в полуобъемной ледяной пластине, в соответствии с решениями В. И. Каштальона [2] равны $0,7 \sigma_p^{-0.5}$, где σ_p — предел прочности льда на изгиб. Приравняв это значение воздействия ледокола на кромку ледяного поля, получим:

$$\frac{1}{2} \left(Q + \frac{\sigma_1 V_{\phi} \delta}{B} \right) = 0,7 \sigma_p \delta^2.$$

Отсюда при $\delta/B=0,8$ и $\sigma_p=80 \cdot 10^6$ МПа

$$Q \approx 0,1 V_{\phi} \sqrt{Q + 0,8 V_{\phi} \delta}. \quad (18)$$

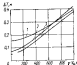


Рис. 3. Зависимость испытания ΔF от вместимости креновых цистерн V_ϕ ледоколов:

1 — Арктика; 2 — Москва;
3 — Капитан Сорокин; C — фактическая вместимость цистерн

Расчеты по этой формуле показывают, что при всплытиях, соответствующих потерию силе плавучести 5 МН, ледоколы способны сломать лед жесткостью до 2 м. Наличие креновых цистерн вместимостью 500 м³ на каждом борту увеличивает толщину разрушаемого льда. При больших всплытиях влияние цистерн уменьшается.

Износ льда недостаточен для освобождения ледокола от заклинивания, так как в некоторых случаях ледокол не может притянуть обломанные льдины. Анализ показал, что толщина льда, который может быть притянут ледоколом, в два раза меньше определяемого формулой (18) [1]. Наличие креновых цистерн увеличивает толщину притягиваемого льда в положительную сторону за счет ледоходности ледокола.

Выполненный анализ относится к основной и случаям статического заклинивания ледоколов. В действительности креновая система при прерывистой работе в автоматическом режиме способствует поддержанию динамического трения, поэтому потерявшая сила плавучести, определяемая по формуле (17), может быть увеличена в 3 раза. С этой точки зрения креновые системы могут рассматриваться как профилактическое средство, предотвращающее заклинивание ледокола при работе в тяжелых льдах.

При проектировании новых ледоколов объем креновых цистерн должен определяться с учетом характеристики ледоходности, конструктивных особенностей, а том числе поправки на морозостойкость льда, в особенностях эксплуатации ледокола. Для устранения возможных отрывательных явлений при работе креновой системы (рывки ледокола и криволинейность канала) необходимо, чтобы период перекачки балласта с борта на борт не превосходил 1–2 мин при накренении до 8–10° из расчета, что за это время судно проходит 1–1,5 длины корабля. Поэтому для ледоколов большего водоизмещения время перекачки может превышать большими, чем для меньших ледоколов. Если исходить из известного положения, что безразмерные характеристики повторяемости ледокола в различных ледовых условиях и на свободной волне различаются мало, то с учетом результатов испытаний ледокола типа «Капитан Сорокин» [4] и ледокола «Москва» [1] отклонение судна от курса не превышает 5°.

Таким образом, креновая система при определенных условиях является эффективным оперативным средством для борьбы с заклиниванием и изверганием. При сильных заклиниваниях дополнительно используется дифферентная система.

Дифферентная система ледокола включает цистерны, расположенные в носовой и кормовой оконечностях. Цистерны могут быть автономными или связанными, т. е. сообщающимися перепускным каналом.

Освобождение ледокола от заклинивания с помощью дифферентной системы производится тремя способами: перекачиванием балласта, заполнением или осушением группы цистерн, что сопровождается изменением водоизмещения и дифферента, одновремен-

ным заполнением или осушением всех цистерн. Способ работы цистерн в эксплуатации выбирается в зависимости от района заклинивания по длине корабля и степени заполнения цистерн перед заклиниванием.

Перекачивание балласта может оказаться малоэффективным в тех случаях, когда зона заклинивания расположается в районе максимальных центров тяжести водотрассы, так как только «перекручивание» корпуса без смятия и разрушения льда недостаточно для освобождения от заклинивания. В этом случае необходимо откачка балласта, которая уменьшает потерянную силу плавучести и силы трения. Всплытие ледокола, заклиненного средней частью, после осушки цистерн

$$\Delta T = V/S, \quad (19)$$

где V — общий объем осушенных цистерн.

Для освобождения ледокола от заклинивания необходимо, чтобы сумма ΔT и углового всплытия, сказанный с работой требуемых цистерн и определяемого по формулам (9) и (10), была больше всплытия при заклинивании ΔT , т. е.

$$\frac{V}{S} + \frac{P_e \sin \delta}{f_1 S g} \geq \Delta T.$$

Отсюда минимальный объем цистерн, используемых по принципу осушки,

$$V \geq \left(Q - \frac{P_e \sin \delta}{f_1} \right) \frac{1}{g}, \quad (20)$$

а потерявшая сила плавучести, при которой возможно освобождение от заклинивания,

$$Q \leq \gamma V g + \frac{P_e \sin \delta}{f_1}. \quad (21)$$

Соотношение (20) справедливо как для дифферентных, так и для креновых цистерн. Его сопоставление с выражением (14) показывает, что способ работы систем путем откачки балласта более эффективен, чем способ перекачки, и требует меньшей вместимости балластных цистерн. Эффективность этого способа также зависит от времени заполнения и опорожнения цистерн, которое определяется производительностью насосов.

Рассмотрим случай, когда середина зоны заклинивания ледокола расположается в кое от мидии на расстоянии X_0 (рис. 4). Освобождение от заклинивания возможно перекачиванием балласта из носовой цистерны в кормовую, осушением носовой цистерны и привлечением балласта в носовую цистерну для смятия льда.

При перекачивании балласта массой $P = \gamma V$ из носовой цистерны в кормовую происходит увеличение дифферента на корму и уменьшение вертикального усилия Q . Если кормовая цистерна

пустая, а носовая полностью заполнена, то по метацентрической формуле остойчивости изменение угла дифферента

$$\Delta\varphi = \frac{P(X_g - X_s)}{DH},$$

где X_g и X_s — абсциссы ц. т. носовых и кормовых дифферентных цистерн.

Изменение осадки в месте заклинивания после перекачки балласта

$$\Delta T_q = \frac{P(X_g - X_s)}{DH} (X_q - X_f).$$

Величина ледокола в месте заклинивания

$$\Delta T_q = \frac{Q}{gTS} + \frac{Q(X_g - X_f)}{gDH} (X_q - X_f).$$

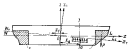


Рис. 4. Схема заклинивания ледокола:
1 — место заклинения; 2 — носовая дифферентная цистerna; 3 — кормовая дифферентная цистerna

Для освобождения от заклинивания после перекачки балласта с помощью гребных винтов необходимо, чтобы

$$\Delta T_q + \frac{P_e \sin \beta}{fTS g} \geq \Delta T_q.$$

Минимальный объем перекачанного балласта

$$V \geq \left(Q - P_e \frac{\sin \beta}{f} \right) \frac{DH}{gTS(X_g - X_s)(X_q - X_f)} + \frac{Q(X_g - X_f)}{gT(X_g - X_s)}, \quad (22)$$

откуда

$$Q \leq \frac{\frac{1}{g} V (X_g - X_s)}{\frac{1}{gS} + \frac{(X_g - X_f)^2}{DH}} (X_g - X_f) + \frac{P_e \sin \beta}{g f S}. \quad (23)$$

Полагая $X_s = L_{11}/2$; $X_g = -L_{11}/2$ имея в виду (12), получим

$$V \geq \left(Q - P_e \frac{\sin \beta}{f} \right) \frac{K_a L_{11}}{(X_g - X_f) gT} + Q \frac{X_g - X_f}{gT L_{11}}, \quad (24)$$

$$Q \leq \frac{\frac{1}{g} V + P_e \frac{K_a L_{11} \sin \beta}{f(X_g - X_f)}}{\frac{K_a L_{11}}{X_g - X_f} + \frac{X_g - X_f}{L_{11}}} \cdot \quad (25)$$

где $K = 0,0746$.

При откачивании балласта из носовой цистерны изменение дифферента

$$\Delta\varphi = \frac{P X_s}{DH},$$

изменение осадки в месте заклинивания ледокола

$$\Delta T_q = \frac{P}{gS} + \frac{P X_s}{DH} (X_q - X_f).$$

Для освобождения от заклинивания после осушения носовой цистерны с помощью гребных винтов необходимо, чтобы

$$\frac{P}{gS} + \frac{P X_s}{DH} (X_q - X_f) + \frac{P_e \sin \beta}{fTS} \geq \frac{Q}{gTS} + \frac{Q(X_g - X_f)^2}{gDH}.$$

Минимальный объем осушаемой носовой цистерны для выхода из заклинивания

$$V \geq \left[Q - \frac{P_e \sin \beta}{f} + \frac{1}{g} Q (X_g - X_f)^2 \right] \frac{DH}{gT [DH + gS X_s (X_q - X_f)]}, \quad (26)$$

откуда

$$Q \leq \frac{\frac{1}{g} V \left[1 + \frac{gS X_s}{DH} (X_q - X_f) \right] + \frac{P_e \sin \beta}{f}}{1 + \frac{gS (X_q - X_f)^2}{DH}}. \quad (27)$$

При $X_g = X_f$, т. е. при заклинивании средней частью, формулы (26) и (27) совпадают с формулами (20) и (21) для случая чистого осушения. Принимая приближение $X_s = L_{11}/2$, с учетом (12) получим:

$$V \geq \frac{1}{gT} \left[Q - P_e \frac{\sin \beta}{f} + \frac{Q}{K_a} \left(\frac{X_g - X_f}{L_{11}} \right)^2 \right] \frac{1}{1 + \frac{1}{2K_a L_{11}}}; \quad (28)$$

$$Q \leq \frac{\frac{1}{g} V \left(1 + \frac{X_g - X_f}{2K_a L_{11}} \right) + \frac{P_e \sin \beta}{f}}{1 + \frac{(X_g - X_f)^2}{K_a L_{11}^2}}. \quad (29)$$

Расчеты по формулам (24) и (28) при $X_f = 0$, $f = 0,28$ и $\alpha = 0,74$ (рис. 5) показывают, что при $X_g < 0,11$ более эффективен способ осушки носовой цистерны, а при $X_g > 0,11$ — способ перекачивания балласта. С помощью формул (20) и (29) можно определить: потерянную силу плавучести Q (по изменению средней осадки), общую приложении равнодействующей потерянной силы плавучести (по значению Q и изменению угла дифферента), возможность освобождения ледокола от заклинивания с помощью

существующей дифферентной системы и целесообразный способ работы системы.

Для любого ледокола при известных V и P_c по (25) и (29) может быть построены графики для оценки возможности освобождения от заклинивания и выбора способа работы дифферентной системы. Из графиков, построенного для ледоколов типа «Москва» (рис. 6), видно, что при заклинивании средней частью ($\bar{X}_d < 0,11$) освобождение путем осушения носовых цистерн возможно при величине 0,3—0,4 м. В случае одновременного осушения носовых и кормовых дифферентных систем предельное величие увеличивается до 0,5 м. При расположении зоны заклинивания в нос от миделя ($\bar{X}_d > 0,11$) более эффективно перекачивание балласта из носа в корму, а при $\bar{X}_d > 0,15$ этот способ эквивалентен способу осушения всех дифферентных систем.

Приименные данные позволяют сделать важный практический вывод: форсировка тяжелых льдов, в которых возможно заклинивание ледокола, должна производиться обязательно с заполнением носовых цистерн. В ряде случаев возможно заклинивание при простой носовой цистерне. Для освобождения от балласта в носовую цистерну, и ледокол мог освободиться при работе гребных винтов на задний ход. Аналогично случаю осушения (27) дополнительная сила реакции льда или поворотная сила плавучести при приводе балласта в носовую цистерну

$$\Delta Q = \gamma V g \frac{1 + \frac{\gamma S X_d (X_d - X_f)}{D H}}{1 + \frac{\gamma S (X_d - X_f)^2}{D H}}. \quad (30)$$

При $X_d = L_{\perp,1}/2$ с учетом (12)

$$\Delta Q = \gamma V g \frac{1 + \frac{X_d - X_f}{2 K_a L_{\perp,1}}}{1 + \frac{(X_d - X_f)^2}{K_a L_{\perp,1}^2}}. \quad (31)$$

Расчеты дополнительной силы по формуле (31) в предположении $X_f = 0$, результаты которых представлены на рис. 7, показы-

зывают, что наибольший эффект наблюдается при $X_d = 0,1...0,2$. В этом диапазоне дополнительная вертикальная сила, способствующая смятию льда, примерно в 1,65 раза больше массы припаяного балласта.

Возможность смятия льда при таком способе освобождения определены, так как зависит от протяженности зоны заклинивания, толщины и характеристик льда, а также первоначального испытания при заклинивании. Поэтому в общем случае нельзя дать количественную оценку эффективности этого способа. Тем не менее в случае заклинивания при пустой носовой цистерне он яв-

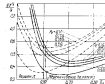


Рис. 6. Зависимость потребного для освобождения от заклинивания максимального относительного объема $\Delta Q/gV$ дифферентной системы от относительного положения зоны заклинивания

иравен $\bar{X}_d = X_d/X_0/2$:

— перекачивание балласта;
— осушение носовой цистерны

заклинивания необходимо принять, чтобы произошло смятие льда для освобождения от заклинивания при простой носовой цистерне. Для освобождения от балласта в носовую цистерну, и ледокол мог освободиться при работе гребных винтов на задний ход. Аналогично случаю осушения (27) дополнительная сила реакции льда или поворотная сила плавучести при приводе балласта в носовую цистерну

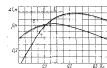


Рис. 6. Освобождение ледокола «Москва» от заклинивания в зависимости от величины $\Delta Q/gV$ и относительного положения зоны заклинивания

иравен $\bar{X}_d = X_d/X_0/2$:

— перекачивание балласта; — осушение носовой цистерны; — осушение кормовой дифферентной цистерны

ляется первым шагом в ряде последовательных операций при освобождении от заклинивания.

Таким образом, дифферентные системы являются весьма эффективным средством для освобождения от заклинивания со спасением. Способ их работы в эксплуатации (осушение, перекачивание балласта) должен выбираться с учетом положения зоны заклинивания. В большинстве случаев наиболее эффективен способ одновременного осушения носовых и кормовых дифферентных цистерн.

Существенный недостаток замкнутых дифферентных систем — продолжительный период перекачки балласта (более 10 мин) вследствие малой производительности насосов и высокого гидравлического сопротивления соединительных трубопроводов, идущих по всей длине судна. Увеличение производительности насосов не всегда оправдано, так как вместе с собой увеличение диаметра трубопроводов. Поэтому предпочтение должно отдаваться автономным дифферентным системам с насосами высокой производительности.

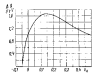


Рис. 7. Зависимость дополнительной потребной силы измучки $\Delta Q/gV$ при приводе балласта в носовую цистерну в зависимости от величины \bar{X}_d от величины зоны заклинивания \bar{X}_d

При использовании автономных дифферентных систем упрощается вся система за счет исключения соединительных трубопроводов и сокращается число используемых насосов. Недостатки автономной системы — необходимость установки гидравлических заборных отверстий типа ледовых ящиков и возможность попадания льда в цистерны при работе на ледоколе.

Объем дифферентных цистерн может быть определен по приблизенным формулам с учетом ледопроплодности ледокола, исходя из возможного вскрытия при заклинении в работе цистерн по способу осушения. Желательно, чтобы объем носовых цистерн был больше кормовых.

Совместная работа креновых и дифферентной систем. Для обретения от сильных заклинений возможности совместной работы креновой и дифферентной систем. При этом дифферентная система в зависимости от характера заклинения может работать как по способу осушки, так и перекачки балласта, а креновая — путем перекачки балласта при одновременной работе гребных винтов на задний ход. Необходимые для расчета выражения могут быть получены, исходя из принципа суперпозиции, на основе полученных ранее решений.

При работе креновой и дифферентной системы по способу осушки на основе (17) и (21) получим формулу для определения средней потерянной силы плавучести, при которой возможна обработка от заклинения,

$$Q \leq \gamma V g + \frac{\sin \beta}{f} \sqrt{\left(\frac{1}{B \cos \beta} \right)^2 + P_e^2}, \quad (32)$$

где $V = \Sigma v$ — общий объем осушаемых дифферентных цистерн.

При перекачивании балласта массой γV из носовых в кормовые цистерны с учетом (17) и (25)

$$Q \leq \frac{\frac{K_a L_{\perp\perp}}{2} \sin \beta}{\frac{K_a L_{\perp\perp}}{2} + \frac{N_Q - N_F}{L_{\perp\perp}}} \cdot \sqrt{\left(\frac{1}{B \cos \beta} \right)^2 + P_e^2} - \quad (33)$$

При осушении носовой дифферентной цистерны, исходя из (17) и (29), получим:

$$Q \leq \frac{\frac{K_a V}{2} \left(1 + \frac{N_Q - N_F}{2 K_a L_{\perp\perp}}\right) + \frac{\sin \beta}{f} \sqrt{\left(\frac{1}{B \cos \beta} \right)^2 + P_e^2}}{1 + \frac{(N_Q - N_F)^2}{K_a L_{\perp\perp}^2}}. \quad (34)$$

С помощью формул (32) — (34) решается задача об обретении от заклинений при совместной работе креновой и дифферентной систем, а также гребных винтов. В случае, когда объем носовых цистерн больше кормовых, как на ледоколе «Капитан

Сорокин», возможно полное осушение носовых и заполнение кормовых цистерн, что эквивалентно перекачке части балласта из носовых в кормовые цистерны и последующему осушению носовых цистерн остатков балласта. В этом случае полная потеряная сила плавучести для обретения от заклинения определяется как сумма значений, полученных по формуле (33) и по формуле (34) без последнего члена, учитывающего работу креновых цистерн и гребных винтов.

Аналогично в случае осушки дифферентной системы по формуле (32) определяется значение Q , соответствующее равномерному вскрытию (из носовых цистерн отличаются объем, равный объему кормовых цистерн), которое суммируется со значением Q по формуле (34) при осушении оставшегося объема носовых цистерн.

Сравнительная эффективность креновых и дифферентных систем. Приведем сравнительную оценку эффективности креновых и дифферентных систем, установленных на эксплуатирующихся ледоколах «Капитан Сорокин», «Москва» и «Арктика» для случаев заклинения со вскрытием. В качестве критерия эффективности может быть принята максимальная потеряная сила плавучести или максимальное среднее значение ледокола, при котором он может обретаться от заклинения с помощью креновых и дифферентных систем при работе гребных винтов на задний ход.

Рассмотрены следующие способы обретения от заклинения: работа гребных винтов на задний ход; непрерывная работа креновых систем в статическом и динамическом режимах трения и работа гребных винтов; осушение цистерн креновой системы с одного борта при одновременной работе гребных винтов; перекачивание балласта из носовых дифферентных цистерн в кормовые в количестве, соответствующем минимальному объему носовых или кормовых цистерн, при различных относительных положениях зоны заклинения \bar{X}_Q и работе гребных винтов; осушение носовых дифферентных цистерн при различных положениях зоны заклинения в работе гребных винтов; осушение дифферентной системы и половины объема креновой системы (объем креновых цистерн одного борта) в работе гребных винтов; осушение дифферентной системы при работе винтов.

Результаты расчетов показали, что креновые системы при работе в непрерывном режиме, обеспечивающем поддержание динамического трения, достаточно эффективны и позволяют предотвратить заклинение при вскрытии ледоколов до 0,6—0,8 м, при статическом трении — при вскрытии до 0,2—0,3 м.

Дифферентные системы при сильных заклинениях и статическим трением во всех случаях эффективнее креновых систем, что, с одной стороны, объясняется большим их объемом, а с другой — возможностью изменения дифферента для уменьшения силы реакции льда при $\bar{X}_Q > 0$, причем в большинстве случаев, особенно

при заклиниваниях средней частью, наиболее эффективен способ осушения систем.

На ледоколе «Капитан Сорокин» объем посовых дифферентных цистерн более чем в 2 раза превосходит объем корровых цистерн. Поэтому при заклинивании корпуса в районе $\bar{X}_0=0,1$ наиболее эффективен способ осушения посовых цистерн, позволяющий избавляться от заклинивания при всплытиях до 1,1 м. При $\bar{X}_0=0,2$ предпочтительнее одновременное осушение посовых и заполнение корровых дифферентных систем.

На ледоколах «Москва» и «Арктика», у которых объемы посовых и корровых цистерн примерно одинаковы, при $\bar{X}_0 < 0,11$ более эффективен способ осушения посовых дифферентных систем, позволяющий избавляться от заклинивания при всплытиях соответственно до 0,4–0,75 м, при $\bar{X}_0 > 0,11$ — способ перекачки балласта, обеспечивающий избавление от заклинивания при всплытиях до 0,5–0,9 м.

Приведенные данные свидетельствуют о том, что для освобождения от заклинивания со всплытием, характерным для мощных ледоколов, дифферентная система более эффективна, чем креновая. Однако дифферентная система, в силу её особенностей, включается только при сильных заклиниваниях в процессе форсировки тяжелых льдов.

Креновая система более мобильна в эксплуатации и может непрерывно работать в процессе движения ледокола во льдах, обеспечивая в автоматическом режиме поддержание линейческого трения и тем самым противодействуя заклиниванию. При заклинивании без всплытия и при вымывании корпуса она является достаточно эффективным средством для освобождения ледокола. В случае сильных заклиниваний со всплытием применение креновой системы способствует разрушению льда изгибом в зоне контакта корпуса со льдом и положительно влияет на процесс освобождения ледокола от заклинивания. При этом эффективность креновой системы, по мере увеличения мощности главных двигателей и упора гребных винтов на заднем ходу, несколько снижается, чем, по-видимому, и объясняется довольно распространенное мнение о низкой эффективности креновых систем и нецелесообразности их установки на мощных ледоколах.

Креновые и дифферентные системы, имеют общее функциональное назначение — борьбу с заклиниванием, отличаются во способах их использования в эксплуатации. Если креновые системы являются спасательным средством, работающим в кратковременном режиме при форсировке ледовых полей, то дифферентные системы включаются в работу при сильных заклиниваниях после остановки ледокола, когда креновые системы неэффективны. Таким образом, креновые и дифферентные системы дополняют друг друга, и в случае совместной работы обеспечивают освобождение при достаточно сильных заклиниваниях.

СПИСОК ЛИТЕРАТУРЫ

1. Ледоколы/В. Н. Кадулов, А. Я. Рызак, О. В. Фадеев, Б. Я. Ягодин. Л. Судостроение, 1972, 286 с.
2. Погод Ю. Н., Кашталько В. И. Заклинивание ледоколов во льдах. — Тр. АНИИ, 1973, т. 389, с. 60—72.
3. Ногид Л. М. Теория проектирования судов. Л. Судпромгиз, 1965. 479 с.
4. Белов Ю. И., Гречих М. А. Определение характеристик кренового движения судна с помощью ландшафтного гидравлического языка. — Тр. ЦНИИМФ, 1973, вып. 243, с. 138—142.

УДК 629.124.796.2.06.014.77.004

М. А. Гречих, канд. техн. наук

ДИАГРАММА ДЛЯ ВЫБОРА СПОСОБА ОСВОБОЖДЕНИЯ ЛЕДОКОЛОВ ОТ ЗАКЛИНИВАНИЯ СО ВСПЛЫТИЕМ

Выбор способа работы креновых и дифферентных систем для освобождения ледокола от заклинивания во льдах в настоящее время производится в основном субъективно, на основе практического опыта капитана или вышестоящего помощника. Таким путем не всегда удается правильно оценить эффективность того или иного способа освобождения от заклинивания и выбрать наиболее рациональный из них с точки зрения сокращения времени выхода из заклинивания или уменьшения энергозатрат, связанных с перекачкой балласта. Поэтому на практике последовательно применяются различные способы до тех пор, пока ледокол не выйдет из заклинивания. Полученные расчетные зависимости позволяют построить диаграмму для выбора наиболее рационального способа освобождения ледокола от заклинивания.

Диаграмма строится в координатах $\Delta T - \bar{X}_0$, где ΔT — среднее всплытие ледокола, $\bar{X}_0 = (X_0 - X_1)/L_{11}$ — относительное положение зоны заклинивания, X_0 — абсцисса средней части зоны заклинивания, X_1 — абсцисса центра тяжести блоков действующей затопленности, L_{11} — длина ледокола между первоцентрами. На диаграмму наносятся кривые постоянного изменения дифферента $\Delta(T_c - T_s)$ при всплытиях, связанных с заклиниванием. Они отличаются по правилам статики с использованием металлической формулы продольной остойчивости. Кроме того, на диаграмме нанесены кривые зависимостей всплытия, при котором возможно избавление от заклинивания, от относительного положения зоны

1. См. статью Гречиха М. А. «Оценка эффективности креновых и дифферентных систем ледоколов», опубликованную в настоящем сборнике.

заклинивания для различных способов работы креновых и дифферентных систем.

Пример такой диаграммы для ледокола «Москва» показан на рис. 1. Она построена с использованием фактических данных по ледоколу, включающих упор гребных винтов на режиме заднего хода, угол наклона борта на миделе, коэффициент полного затирания, вместимость креновых цистерн одного борта и относительное расстояние между центрами тяжести цистерн, вместимость носовых и кормовых дифферентных цистерн.

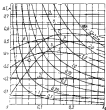


Рис. 1. Диаграмма для выбора способа освобождения от заклинивания ледокола «Москва»:

1 — работа креновых цистерн; 2 — работа дифферентных цистерн; 3 — совместная работа креновых и дифферентных цистерн; 4 — работа креновых цистерн при работе дифферентных цистерн; 5 — работа дифферентных цистерн при работе креновых цистерн; 6 — совместная работа креновых и дифферентных цистерн при работе креновых цистерн; 7 — совместная работа дифферентных и креновых цистерн; 8 — работа дифферентных цистерн при работе креновых цистерн; 9 — совместная работа дифферентных цистерн в пределах объема креновых цистерн

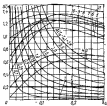


Рис. 2. Диаграмма для выбора способа освобождения от заклинивания ледокола «Капитан Сорокин»:

1 — работа креновых цистерн; 2 — работа дифферентных цистерн; 3 — совместная работа креновых и дифферентных цистерн; 4 — работа креновых цистерн при работе дифферентных цистерн; 5 — работа дифферентных цистерн при работе креновых цистерн; 6 — совместная работа дифферентных цистерн; 7 — совместная работа креновых и дифферентных цистерн; 8 — работа дифферентных цистерн при работе креновых цистерн; 9 — совместная работа дифферентных цистерн в пределах объема креновых цистерн

Диаграмма позволяет по хроматическому среднему всплытию и изменению дифферента определить среднее положение зоны заклинивания и оперативно выбрать способ освобождения. Например, в процессе заклинивания произошло всплытие $\Delta T = 0,35$ м и изменение дифферента за корабль $\Delta t(T_n - T_d) = 0,375$ м. По диаграмме для расчетной точки (в круглой) изходим, что заклинивание прошло в вое от миделя в районе $X_0 = 0,06$. Следовательно, возможными способами освобождения от заклинивания являются 3, 4, 6, 8 и 9-й (см. рис. 1).

В зависимости от фактического состояния системы капитан может принять решение о наиболее быстрым и эффективном способе

освобождения от заклинивания. Так, при заполненных носовых дифферентных цистернах в рассматриваемом примере наиболее рациональным является способ их осушения. Причем в случае одновременного включения креновой системы (4-й способ) эффективность освобождения ледокола от заклинивания повышается.

Диаграммы построены при статическом коэффициенте трения льда по льду 0,28, что соответствует средней температуре льда около -15°C ¹. В то же время в зависимости от состояния обшивки корпуса ледокола, характера снежного покрова льда и его циркуляционности возможно как уменьшение, так и увеличение коэффициента трения. Расчеты показали, что уменьшение коэффициента трения с 0,28 до 0,4 ведет к увеличению всплытия, при котором возможно освобождение от заклинивания, на 0,02 м при работе гребных винтов, включая случаи совместной работы с дифферентной системой, и на 0,04—0,06 м в случаях работы креновой системы. Как видно, плавание коэффициента трения весьма неизучительно, но существенно, находится в пределах точности определения всплытия в реальных условиях эксплуатации ледокола. Поэтому диаграмма применима практически во всем диапазоне изменения коэффициента трения.

Аналогичные диаграммы построены для ледоколов «Капитан Сорокин» и «Арктика». На рис. 2 показана диаграмма для ледокола «Капитан Сорокин», которая во многих отношениях схожа с рассмотренным примером, но отличается от предыдущей. Это объясняется тем, что на ледоколах этого типа объем носовых дифферентных систем более чем в 2 раза превышает объем кормовых цистерн. Диаграмма показывает, что наиболее эффективными являются способы, связанные с осушением дифферентных цистерн. Работа креновой системы при этом существенно повышает возможности освобождения ледокола от заклинивания.

Наиболее вероятное положение средней части зоны заклинивания, как показал анализ результатов испытаний ледокола «Ленинград», находится в диапазоне $X_0 = 0,09 \dots 0,2$. При таких заклиниваниях большое влияние на процесс освобождения ледокола оказывает объем носовых дифферентных цистерн, так как их осушение способствует всплытию носовой оконечности в уменьшении силы реакции на корпус заклинивающегося ледокола. Поэтому при проектировании ледокола целесообразно, если позволяют условия дифферентовки, увеличивать вместимость носовых цистерн, а форсировку тяжелых льдов в эксплуатации производить только с заполненными носовыми цистернами.

При наличии на борту вычислительной машины процесс освобождения ледокола от заклинивания может быть автоматизирован. По сигналам от датчиков осадки ЭЦВМ вычисляет по заданным

¹ См. Рыбкин А. Я. Экспериментальное изучение трения льда.—Тр. ААНН, 1973, т. 309, с. 186—199.

алгоритмом¹ потерянную силу плавучести и положение зоны заливания. Затем выводятся возможные способы освобождения от заливания. Если известны дополнительные условия, например, минимум времени или минимум энергозатрат на освобождение от заливания, то ЭЦВМ определяет рекомендуемый способ освобождения. В этом случае, при необходимости, ЭЦВМ может быть включен в автоматическую систему управления крюковыми системами.

Широкое внедрение диаграмм на эксплуатирующихся и новыи срочниках ледоколах позволит повысить эффективность их эксплуатации и скорость проводки транспортных судов и притайных льда.

УДК 629.124.791.2.066.001.4

А. В. Нерсисянский

ИССЛЕДОВАНИЕ ЭФФЕКТИВНОСТИ ПНЕВМООМЫВАЮЩЕГО УСТРОЙСТВА НА СУДАХ ЛЕДОВОГО ПЛАВАНИЯ

Пневмоомывающее устройство (ПОУ) разработано и запатентовано финскими специалистами главным образом как средство снижения сопротивления льда движению судна. Иными словами, полезный эффект от применения пневмоомывания корпуса должен выражаться в увеличении предельной толщины льда, предодолеваемого судном пневмоомыванием ходом, или при неизменной толщине льда — в увеличении скорости движения судна в сносящих и битых льдах. Так, по расчетам фирмы «Вартиола» ледокольной мощностью 100 тыс. кВт при использовании ПОУ маcтостью 3 тыс. кВт сможет преодолевать льды толщиной 3 м, тогда как без применения пневмоомывания — 2,8 м. Специалисты фирмы считают, что применение ПОУ на ледоколах маcтостью 3,5—100 тыс. кВт позволит повысить их ледоходность в среднем на 0,2 м. Эта оценка основана преимущественно на данных модельных экспериментов и частично — на результатах натурных испытаний финского парома «Финнкэрриера» из Балтийского моря в 1970 г. Однако модельные и натурные эксперименты, проведенные позже в США и в СССР, вовсе не подтвердили прогнозы фирмы «Вартиола», и единогласие мнение о целесообразности использования ПОУ на судах и ледоколах не сложилось. Вместе с тем, при проектировании или заказе новых арктических транспортных судов и ледоколов необходима объективная оценка целесообразности установки ПОУ на эти судах.

Теоретического описания взаимодействия создаваемого ПОУ потока с зоной контакта леда — корпус пока нет. Хотя физически это взаимодействие заключается в отведение потоком от корпуса мелких обломков льда, а также смачивание контактирующей с бортом заснеженной кромки ледяного покрова, чем достигается уменьшение сопротивления трения, этот процесс весьма трудно формализовать. Поэтому оценка полезного эффекта ПОУ может быть основана на статистической обработке экспериментальных данных, модельных и натурных. Многочисленные испытания ПОУ в Арктике на ледоколах «Бриз» в «Капитан Сорокин» в различных ледовых условиях дали довольно стабильные результаты, дополняющие друг друга. Эти результаты, главным образом, и положены в основу приведенного ниже анализа и оценки эффективности ПОУ.

Для натурных условий динамический коэффициент «сухого» трения льда обычно составляет 0,08—0,13, а при наличии снежного покрова увеличивается до 0,25—0,35. Смачивая и размывая снег, создаваемый ПОУ, поток снижает коэффициент трения, что уменьшает ледовое сопротивление в целом. Очевидно, что эффект ПОУ определяется расходом воды

$$Q = U_{\text{ср}} F,$$

где $U_{\text{ср}}$ — средняя во сечении скорость потока, м/с; F — площадь поперечного сечения потока, м².

Как показывают модельные эксперименты и расчеты, расход воды Q величиной зависит от расхода воздуха, т. е. существует его значение, выше которого расход воды практически не увеличивается, а следовательно, не должно быть и увеличения полезного эффекта ПОУ.

В общем случае расход воздуха зависит от длины корпуса и осадки. Так как осадка большинства существующих и новых ледоколов в судов ледового плавания находится в узких пределах (8,5—10,5 м), приближение можно считать, что расход воздуха не зависит от осадки. Тогда для удобства сравнения результатов, полученных на различных судах, можно воспользоваться удельным расходом воздуха $q = Q_0 / L_{\text{суд}}$, где Q_0 — объемный расход воздуха, м³; $L_{\text{суд}}$ — длина судна по КВЛ, я.

Специальный эксперимент на ледоколе «Капитан Сорокин» показал, что при расходе воздуха выше 9 м³/с, т. е. при $q > 0,075 \text{ м}^2/\text{с}$, эффект ПОУ (здесь и далее эффект ПОУ рассчитывается как отношение прекращения скорости при использовании ПОУ к скорости без применения ПОУ) почти не растет (рис. 1). Расчеты параметров омывающей корпус струи, выполненные Н. Г. Сидоринским, также показали, что при расходе воздуха более 0,07—0,08 м³/с расход

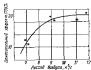


Рис. 1. Зависимость отдаваемого эффекта ПОУ от расхода воздуха из ледокола «Капитан Сорокин» при движении в смачиваемом канале

¹ См. Гречихин М. А. Указ. соч.

воды практически не растет. Поэтому удельный расход воздуха $0,075 \text{ м}^3/\text{s}$ можно считать близким к оптимальному.

При испытаниях ледокола «Ермак» и «Капитан Сорокин» удельный расход воздуха составлял $0,1-0,12 \text{ м}^3/\text{s}$. Поэтому есть основания считать, что достигнут максимальный эффект. Это позволяет оценивать ожидаемый эффект от применения ПОУ на новых судах по результатам натурных испытаний, если будет обеспечен удельный расход воздуха не менее $0,075 \text{ м}^3/\text{s}$.

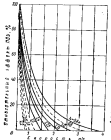


Рис. 2. Относительный эффект ПОУ в сплошном льду толщиной 6 см в зависимости от скорости в м/с:

— экспериментальные данные;
— аппроксимация для инверсионного движения

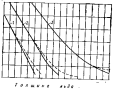


Рис. 3. Зависимость скорости от толщиной льда в сплошном льду:

— при работе ПОУ;
— при неработающем ПОУ;
— ледокол модернизации 7,5 тыс. т; — ледокол типа «Капитан Сорокин» (по экспериментальным данным); 3 — ледокол типа «Ермак»

Графики зависимостей эффекта ПОУ, выраженного в относительном превышении скорости $\Delta v/v$, от скорости при различных толщинах льда (рис. 2) отражают основные закономерности, выявленные при натурных испытаниях ПОУ в сплошных льдах. Это подтверждается также зависимостями расчетной скорости ледоколов «Капитан Сорокин» и «Ермак», показанными на рис. 3. Как видно, в сплошном льду эффект ПОУ наблюдается при относительно малых скоростях движения (до $2,5-4,0 \text{ м/с}$) и наиболее значителен при минимальной скорости устойчивого движения судна. С увеличением толщины льда диапазон скоростей, при которых наблюдается эффект ПОУ, сужается и абсолютная величина этого эффекта уменьшается.

Как выяснилось в процессе испытаний, эффект ПОУ проявляется в полной мере при наличии на льду снегового покрова, но

наблюдения в эксплуатации показали, что при толщине снегового покрова более $50-60 \text{ см}$ эффект ПОУ снижается. Поэтому графика (рис. 2) применены при толщине слоя снега $5-50 \text{ см}$.

Зависимость относительного эффекта ПОУ от скорости судна в снегоподложном канале представлена на рис. 4. Для построения этого графика, кроме результатов испытаний ледокола «Капитан Сорокин», использованы данные испытаний американского рулевого «Лоэн Фрэзер» и ледокола «Капитан Косолапов». В отличие от движения в сплошном льду в снегоподложном канале не удалось выявить четкого влияния толщины льда на зависимость $\Delta v/v$ от скорости. Все экспериментальные значения $\Delta v/v$ при толщине льда $0,3-2$ и лежат в довольно узкой области, ограниченной на рис. 4 сплошными линиями. Это позволяет принять эффект ПОУ как средний для всех толщин льда, приближение аппроксимируемой зависимости типа $y = a/x$. Тогда $\Delta v = const = 0,8 \text{ м/с}$ (пунктирная кривая). Из рисунка видно, что эффект ПОУ составляет $0,5-1,0 \text{ м/с}$ практически при всех скоростях.

На рис. 5 представлена расчетная зависимость скорости в снегоподложном в сплошном льду канала за ледоколом типа «Арктика» от толщины ледяного покрова для арктического универсального судоходного судна дедвейтом 16 тыс. т и листогруза-контейнеровоза дедвейтом 26 тыс. т. При оценке эффекта ПОУ для листогруза учтено, что привод ПОУ на этом судне осуществляется с отбором мощности от главной энергетической установки. Это снижает разницу в скоростях судна с работающим и неработающим ПОУ.

Оценки полезного эффекта ПОУ с помощью графиков, представленных на рис. 2 и 4, недостаточно для принятия решения

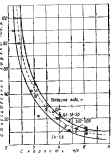


Рис. 4. Относительный эффект ПОУ в снегоподложном канале

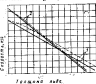


Рис. 5. Зависимость скорости от толщины льда:

— при работе ПОУ;
— при неработающем ПОУ;
— судно типа САД; 2 — листогруз-контейнеровоз

о целесообразности применения пневмообмыма на ледоколе или транспортном судне. Как показывают расчеты, при движении в сложном льду можно путем увеличения мощности главных двигателей на мощность, потребляемую компрессорами, получить полезный эффект, эквивалентный с эффектом ПОУ. Однако такое увеличение мощности не позволяет компенсировать потери скорости в условиях образования на корпусе снежно-ледяной подушки (облопания). В то же время пневмообмы выделяется в наименее время единственным эффективным средством борьбы с этим явлением, которое в зимне-весенний период значительно уменьшает скорость движения ледоколов, т. е. снижает эффективность использования мощности главной энергетической установки.

Для транспортных судов, работающих преимущественно в районах за ледоколами, эффект ПОУ превышает возможное увеличение скорости при переходе на гребные валы мощности ПОУ (по данным испытаний ледокола «Капитан Сорокин» — в 1,5–2,0 раза в зависимости от скорости). Так же как и для ледоколов положительный эффект ПОУ, очевидно будет в условиях облопания и, кроме того, окажется на значительном уменьшении сопротивления льда при спрятывании (до 65 %), что снижает вероятность застревания судна в камазе.

Вместе с тем, размещение на грузовом судне дорогостоящего и сложного ПОУ ухудшает некоторые его эксплуатационно-экономические характеристики, зависящие от грузоподъемности и расхода топлива.

Оценка целесообразности применения ПОУ как на транспортных судах ледового плавания, так и на ледоколах может быть сделана только по суммарному экономическому критерию (например, по годовому экономическому эффекту или показателю приведенных затрат). Такая оценка экономической эффективности пневмоочищающего устройства для ряда ледоколов и транспортных судов ледового плавания (см. таблицу) выполнена, исходя из следующего:

1. Увеличение скорости ледоколов и транспортных судов при применении ПОУ соответствует графикам, показанным на рис. 2 и 4.

2. Для вариантов без ПОУ потеря времени, связанные с облопанием, учитываются исходя из продолжительности работы в этих условиях в зимне-весенний период, составляющей (по данным за 1976–1979 гг.) 15–20 % от ходового времени во льдах. Средние потери скорости при этом для ледоколов 50–55 %, для транспортных судов — около 15 %; потеря скорости линкороз-контейнеровоза прибрежных также же как и для ледоколов, так как ширина этого судна на 14 % превышает ширину ледокола типа «Арктика», и, следовательно, будет происходить доламывание кромок камаза.

3. ПОУ снижает потери времени, связанные с застреванием в последующей скользкой судов, на 40–45 %.

4. Увеличение скоростей в заснеженном сплошном льду, а также предотвращение облопания учтено только в зимне-весенний

Таблица 1. Оценка экономической эффективности пневмоочищающего устройства

Тип судна	Длина судна, м	Нагрузка на валы, кН	Давление, кПа	Нагрузка на валы, кН	Мощность ПОУ, кВт	Составная цена, руб.	Годовой приведенный экономический эффект, тыс. руб.	Срок окупаемости, лет
Ледокол ледового плавания, стекло 50 000 куб	136,0	28,0	11,0	23 000	4 000	80 000	1000	2000
Ледокол «Арктика» СА-15	121,3	25,0	8,0–8,5	13 200	4 200	16 200	1300	315
Ледокол «Иван Грен» СА-15	74,0	20,5	6,5	5 100	1 000	7 500	650	600
Линкороз-контейнеровоз СА-5	130,0	22,7	8,5	16 700	9 700	8 800	850	700
Универсальный СА-15	105,0	24,0	9,0	25 700	15 900	11 700	1250	800
Линкороз-контейнеровоз СА-15	130,0	25,0	11,0	41 500	29 200	22 400	1300	1000
Линкороз-контейнеровоз СА-15	239,0	31,0	10,5	53 200	35 200	29 400	1600	1200

период в зависимости от района эксплуатации в течение 140–180 сут.

5. Изменение весовой нагрузки при оборудовании ледокола мощностью 55 тыс. кВт системой ПОУ не превышает 0,5 %, а для транспортных судов — 1,5 % от водонемещения кораблем. Поэтому его изменение не учитывается. В связи с повышенными расходами топлива автономность по его запасам уменьшена для ледокола типа «Капитан Сорокин» на 12 %, для вспомогательного ледокола 7,5 тыс. кВт — на 17 %, для судна ледового плавания типа СА-15 — на 13 %, для судна ледового плавания типа СА-25 — на 7 %, для судна типа САС-5 — на 11 %.

6. Стоимость систем пневмообивки для всех судов (кроме ледокола «Капитан Сорокин») рассчитана по укрупненным нормативам. Стоимость лицензии на изготовление системы пневмообивки приведена по данным фирм «Вартикс».

Представлены в таблице результаты оценки технико-экономической эффективности пневмообивывающего устройства показали, что применение ПОУ экономически оправдано на всех рассмотренных ледоколах и транспортных судах при их эксплуатации в зимне-весенний период в Арктике. Пневмообивка на ледоколах предполагается главным образом в качестве средства борьбы с образованием на корпусе снежно-ледяной подушки, а при постановке работе зимней в канале также в качестве средства увеличения ледопроходимости.

Экономическая эффективность ПОУ на транспортных судах ледового плавания обеспечивается за счет увеличения скорости движения в канале, исключения обледенения и уменьшения потерь, связанных с застыванием, а также в значительной степени вследствие сокращения времени использования ледоколов. Очевидно, что чем дороже судно и чем больше протяженность ледовой трассы из линий эксплуатации, тем выше ожидался экономический эффект от применения ПОУ. Так, на судах ледоходом 25–30 тыс. т при эксплуатации на транзитных высокопроточных трассах пневмообивывающее устройство окупается за 1,0–1,5 года, а на судах стабженщих ледоходом 8–10 тыс. т, работающих из относительно норотих линий в более легких ледовых условиях, срок окупаемости затрат на ПОУ превышает 8 лет.

УДК 629.12.873.987 : 532.6

R. N. Белавин; Ю. М. Войнаровский, канд. техн. наук
РЕЗУЛЬТАТЫ МОРЕХОДНЫХ ИСПЫТАНИЙ
МОДЕЛИ СУДНА С МАЛОЙ ПЛОЩАДЬЮ
ВАТЕРЛИНИИ

Суда с малой площадью ватерлинии (СМПВ) незначительно подвержены воздействию волн, что благоприятно сказывается на параметрах их качки и сопротивления движению при волнении. Относительно низкая волнистая составляющая сопротивления СМПВ, обусловленная лишь зондовой системой подводных корпуш и стоеч, позволяет достичь высоких скоростей при сравнительно умеренных энергозатратах. Уменьшение толщины стоеч с целью снижения сопротивления требует увеличения расстояния между ними для обеспечения остойчивости судна, что связано, в свою очередь, со значительными конструктивными и эксплуатационными трудностями.

Продольная метacentрическая высота СМПВ, как правило, близка по величине к поперечной, т. е. намного меньше, чем у традиционных водонемещающих судов. Из-за малой продольной остойчивости требуется динамическая стабилизация СМПВ в вертикальной плоскости при движении как в тихой воде, так и в волнении [1]. Поэтому необходимо исследовать гидродинамические силы, действующие на корпуса и стойки СМПВ, которые определяются конструктивными особенностями судна, его посадкой и скоростью, тем более, что при движении собственная волнистая система элементов корпуса СМПВ перераспределяет гидростатические силы на стойках и изменяет посадку судна.

Симметризированная модель СМПВ, испытанная в опытном бассейне ЛКИ (рис. 1), состоит из двух подводных торпедообразных корпусов, соединенных с надводной платформой двумя расположенным на каждом корпусе друг за другом вертикальными стойками. Конструктивная осадка модели 375 мм и составляет 2,5 диаметра корпуса, удлинение корпусов равно 11. Профиль стояк — двойновыпуклый круговой сегмент с постоянным в сечении по ватерлинии (ВЛ) относительным удлинением, равным 6, отношении площадей ВЛ носовой и кормовой стоеч $\frac{1}{2}$.

Конструкция стоеч и площадь их ВЛ, а также продольное и поперечное расстояния между ними выбраны из условий обеспечения достаточной метacentрической высоты (от 0,5 до 0,8 диаметра корпуса) и возможно меньшего поперечного сечения смоченной поверхности стоеч для минимизации зондового сопротивления. Основные элементы плавучести и характеристики начальной остойчивости модели приведены в табл. 1, а распределение массы по высоте — в табл. 2. С целью имитации реальной загрузки судна на палубе размещался груз массой 14,2 кг, распределенный по площади равномерно. При данном варианте загрузки масса

платформы с грузом разма 36,7 кг, т. е. составляет 57 % от полного водоизмещения.

Кренование и дифферентование модели для определения характеристик статической остойчивости выполнено путем перемещения груза, маловесные модели производились до момента погружения кромки палубы платформы в воду. Крен и дифферент регистрировались с помощью электроприводных, закрепленной в нише платформы. Свободные колебания модели с борта на борт, с якоря на корму и по вертикали осуществлялись выведом модель из положения равновесия.

При исследовании качки за волнистое модель находилась на

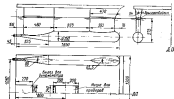


Рис. 1. Схема модели СМПВ

плану в свободном положении, шагом или вспом к воде и ориентировалась в горизонтальной плоскости с помощью растяжек, прикрепленных в ДП или в поперечной плоскости, проходящей через центр тяжести пластины ВЛ таким образом, что при вызванном волновом дрейфе модели растяжки не оказывали влияния на ее перемещение.

При выполнении буксировочных испытаний экспериментальная установка, описанная в работе [2]. Для одновременного измерения сил сопротивления и вертикальных гидродинамических составляющих модель была закреплена за двух опорах, связанных динамометрами с буксироменной тележкой по схеме, показанной на рис. 2. Модель шарнирно закреплена за нижних концах профилированных буксировочных плавиков, пересекающих поверхность воды в следе кормовой стойки. Верхняя часть плавона связана с буксироменной тележкой двухкомпонентным динамометром.

Уравнения равновесия модели:

$$\sum X = P + R_x = 0;$$

$$\sum Y = Y_1 + Y_2 + R_y = 0;$$

$$\sum M_0 = Y_1 l + R_x \pi + R_y \pi + M = 0.$$

Отсюда $R_x = -P$; $R_y = -(Y_1 + Y_2)$; $M = (Y_1 + Y_2) \pi + P \pi = Y_2 \pi$; расстояние от точки приложения вертикальной силы до кормовой точки подвеса модели

$$X_{\text{п}} = \frac{M}{(Y_1 + Y_2)}.$$

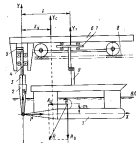


Рис. 2. Схема измерения сил при буксировке модели

1 — корабль модель; 2 — вертикально-подвижной двухсторонний палец; 3 — динамометр горизонтальный или 4 — измеряющие ролики; 5 — гусеничный трактор; 6 — роликовая направляющая; 7 — стойка; 8 — плавник; 9 — измерительная скоба.
 M — гидравлический момент относительно оси крепления модели (измеряется в градусах, указано стрелкой); R_x — горизонтальная составляющая силы (измеряется); R_y — вертикальная составляющая силы (измеряется); P — гидравлическая сила; l — расстояние от вертикальной оси крепления до кормовой точки крена; h — расстояние от R_y до кормовой точки крена; π — радиус кривизны; $X_{\text{п}}$ — продольное расстояние от центра гидравлической вертикальной разницы m — величина оси крена; A_0 — площадь кормового края; l — расстояние от R_y до кормовой точки крена; h — сопротивление рабочего палца; l_0 — длина палца; l — сопротивление рабочего палца ($l=54$ см).

Сопротивление плавков учитывалось при обработке результатов, при этом предполагалось, что из собственное сопротивление не меняется при установке в следе стояк. Буксировка производилась при скорости $v=0 \dots 3,5$ м/с. Дальнейшее увеличение скоростей оказалось затруднительным из-за чрезмерных инерционных сил при разгоне и остановке системы.

Таблица 1

Характеристика	Осадка, мм	
	НС	ДФ
Плавучий объем, дм ³ :		
две коробки	45	45
носовой стойки	3,88	2,155
коренной стойки	6,32	3,515
Объемное водоизмещение, дм ³	65,4	56,3
Площадь ВЛ, см ² :		
носовой стойки	172	172
коренной стойки	258	258
Альбаратта центра величины, см:		
носовой стойки	39,25	21,25
коренной стойки	34,5	19,5
подводным корпусом	7,5	7,5
Абсолюта центра величины от 0 наклонаута, см	73,2	73,2
Альбаратта центра величины от оси носовой, см	18,0	10,66
Метакентрический радиус, см:		
поперечный	35,2	42,1
продольный	34,8	40,5
Метакентрическая высота, см		
поперечная	9,5	15,1
продольная	8,0	13,0

При малых углах наклонения ($\Phi \leq 5^\circ$) зависимость восстанавливющего момента от угла крена близка к линейной (рис. 3). С увеличением угла крена статическая стойчивость повышается и резко возрастает при входе платформы в воду. Возрастание восстанавливющего момента при больших углах крена можно объяснить увеличением в процессе наклонения площади ВЛ стоек, а также утолщением в надводной части носовой стойки и заклонением передней кромки. Из-за этого восстанавливющий момент модели, дифференцируемый по Φ , значительно больше поперечного восстанавливющего момента, хотя начальная продольная метакентрическая высота меньше поперечной (см. табл. 1). В случае дифферентации модели на корпус такого отличия нет, так как площадь ВЛ стоек при наклонении изменяется мало, поскольку

носовая стойка по всей высоте, а носовая до конструктивной ВЛ имеют цилиндрическую форму.

Первый свободной бортовой качки из тихой воде несколько больше периода ходовой (табл. 3). Период вертикальной качки является наименьшим вследствие более значительных демпфирующих гидродинамических сил. При уменьшении осадки периоды всех видов свободных колебаний из тихой воде уменьшаются, что, вероятно, вызвано близостью корпусов к свободной поверхности и уменьшением сомоченной поверхности стоеч.

Испытания модели на регулярном волнении проводились при длинах волн $\lambda = 1, \dots, 5$ м и из крутизне $1/8$. Результаты испытаний представлены на рис. 4. Из рис. 4 видно, что амплитуда обоих видов качки возрастает с уменьшением периода волн, а явления резонанса отсутствуют. При уменьшении осадки в рамках качки несколько увеличивается, что согласовывается с результатами, содержащимися в табл. 3 (т. е. уменьшаются демпфирующие характеристики корпуса). Амплитуды обоих видов качки незначительны. Даже на максимальном волнении при $\lambda > 5$ м, $\theta = 4^\circ$ и $\Phi = 2^\circ$.

Визуальные наблюдения качки модели при осадке 375 мм показали, что при $\lambda = 1,0$ м качка отсутствует, наблюдается легкий дрейф по направлению бега волны. При $\lambda = 2,0$ м появляется креневая качка. Это можно объяснить различной площадью ВЛ стоек, что вызывает несимметрично действующую (относительно

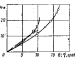


Рис. 3. Характеристики остойчивости модели
 О — кривая НС; П — дифферент Φ при осадке 375 мм; Красная линия — дифферент Φ при осадке 375 мм

Таблица 2

Зависимость параметра	T=375 мм		T=515 мм			
	Раскл. чг	Коэффициент наклон., см	Момент, Н·м	Макс. чг	Площадь от оси носовой, см	Момент, Н·м
Подводные корпусы	13	7,5	9,56	13	7,5	9,56
Стойки	7,7	26,2	19,8	7,7	26,2	19,8
Балласт и стойках	3,0	25	19,6	8,0	35	19,6
Платформа	18	55	90,1	18	55	90,1
Проборы из платформы	4,5	37,5	35,4	4,5	37,5	35,4
Балласт из платформы	14,2	60	83,5	5,1	60	30,0
Всего	65,4	39,76	355,0	56,3	37,02	264,5

центра тяжести модели) вертикальную силу, повышающуюся при колебании водной поверхности. При $\lambda=3,0$ м модель дрейфует с начальным креном в сторону набегающей волны при налете бортовой и кильевой качки, т. е. наблюдается диагональная качка. Вертикальные колебания носовой части корпуса возникают раньше, чем носовой, так как площадь ВЛ носовых стоек больше площади ВЛ носовых стоек и соответственно большие возмущающие силы, а демпфирующие силы подводных корпусов снижены из-за комбинационности носовых обводов.

При $\lambda=4,0$ м наблюдается касание волны днищем платформы при кильевой качке, которая появляется раньше, чем бортовая. При $\lambda=5,0$ м размахи бортовой качки значительно меньше, чем кильевой. Волна ударяет по днищу платформы в угол между платформой и затененной стойкой. Это вызывает дрейф по волне с начальным креном. Поведение модели при кильевой качке на встречном волнении имеет дополнительные особенности. При $\lambda=2,5..3,0$ м появляется заметное орбитальное движение всего корпуса. При $\lambda=4,0$ м кильевая качка мало заметна, при $\lambda=4,6$ м происходит касание носовой части платформы о воду, кильевая качка заметна. При $\lambda=5$ м модель касается с начальным дифферентом на корму и касается платформой носовых волн.

Поведение модели при осадке 275 и 375 мм одинаково. В этом положении при постановке модели лагом к воде длиной 4–5 м высокий дрейф уменьшается в связи с ослаблением возмущающих сил от удара волны в месте соединения стоек с платформой. Диагональная качка наблюдается при волнах $\lambda \geq 5$ м.

Таблица 3

Качка	Первич. качка, в град. при осадк. в м	
	375	275
Бортовая	4,27	3,64
Кильевая	4,2	3,6
Вертикальная	2,0	1,5

Как видно из диаграмм гидродинамических характеристик модели СМПВ для дюза осадок (рис. 5–7), закон изменения буски-

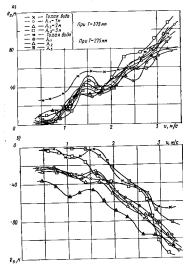


Рис. 5. Зависимость бускового сопротивления (а) и вертикальной силы (б) от скорости движения волны

рового сопротивления в функции скорости имеет ряд особенностей. На бусковой кривой заметен горб при скорости $\lambda=1,5$ м/с как на тихой воде, так и на волнении. По аналитическим наблюдениям в области указанной скорости происходит сильное волнообразование от стоек с резким перепадом волнового профиля

по высоте. Анализ кривых $C_x = f(Fr_T)$ показывает, что в диапазоне скоростей $Fr_T = 0.4 \dots 0.9$ горб кривой коэффициента волнного сопротивления C_x обусловлен, очевидно, волновым сопротивлением стоеч. Вызванная волновая система при $Fr_T > 1$ начинает постепенно стихають, но при этом появляется брызговая пыльца, разывающаяся с ростом скорости. Установка брызгоотбойных щитов треугольного сечения достаточно эффективна лишь на высокой скорости, когда волновая система оказывается стихающей. На малых скоростях щиты не препятствуют подъему струйно-брзыгового потока по стойкам.

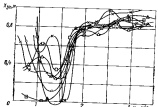


Рис. 6. Изменение абсолютной X_{Rc} точки крепления ре-зультирующей вертикальной силы в зависимости от скоро-сти

(Обозначение те же, что на рис. 5)

При движении на волнении среднее значение буксировочное сопротивление мало отличается от сопротивления на тихой воде. Сопро-тивление на волнении изменяется по гармоническому закону с пери-одом, равным периоду встречи модели с волной. Уменьшение осадки мало влияет на буксировочное сопротивление, которое сни-жается в основном вследствие уменьшения смоченной поверхности стоеч.

Вертикальная сила при посадке модели без крена и дифферента оказалась отрицательной (тормозящей) во всем спектре диапазона. В области горба сопротивления заметно появление аналогичного горба на кривой вертикальной силы, что отражает взаи-мозависимость этих параметров. При $Fr_T > 1.0$ вертикальная сила, как и коэффициент сопротивления, мало изменяется с ростом скоро-сти. При этом абсолютна X_{Rc} вертикальной силы при уравновешенном продольном momente также мало отличается от среднего зна-чения. Это характерно для обеих осадок во всем исследованном диапазоне параметров волнения.

На волнении X_{Rc} осредняется, при движении на волнении из-меняется во времени (рис. 8). Видно, что амплитуда изменения вертикальной силы при отсутствии вертикальных перемещений мо-

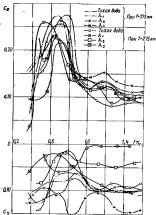


Рис. 7. Коэффициенты сопротивления C_x и вертикальной силы C_y в функции относительной скорости Fr_T

$$C_x = \frac{R}{g \frac{V^2}{2}} V^{1/2}; \quad C_y = \frac{Y}{g \frac{V^2}{2}} V^{1/2};$$

$$Fr_T = \frac{V}{\sqrt{g V^2 / R}};$$

V — общемасштабированная скорость

дели достигает примерно $\frac{1}{3}$ силы ее веса. Возникновение значи-тельной тормозящей силы вызвано гидростатической разгрузкой движущейся модели, подвешенной на динамометрах, при поколачивании стоеч на подошву волны. В этом случае изменяется главным образом вертикальная составляющая Y_1 , приложенная на первой опоре,

которым находится вблизи центра тяжести модели. Поэтому очевидно, что при длинах волн больше трех длины подводного корпуса судна обеспечение движения без вертикальных перемещений с помощью средств динамической стабилизации окажется затруднительным и, вероятно, нецелесообразным на практике. Необходимо также учесть, что X_{st} в области горба сопротивления зависит от скорости. Так как вертикальная сила перемещения по величине, продолжая стабилизацию модели возможна лишь при наличии отдель-

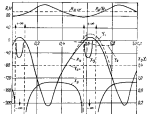


Рис. 8. Изменение сопротивления, вертикальной силы и абсолютной толщины ее приложения в течение 1 с при ходе на вспененной волне с осадкой 375 мм:
φ=4°; λ=6; R=3.0; ε=2.04 м; $T_{\text{шв}} = 0.01$ с

зых управляемых крыльев, установленных ближе к оконечностям (в носу и в корме). Можно ожидать, что изменение посадки модели и условий ее закрепления приведет к изменению X_{st} и X_{v} как по величине, так и по зонам.

СПИСОК ЛИТЕРАТУРЫ

1. Васильев А. М. Исследование США во создание полувертикальных кораблей. — Судостроение за рубежом, 1973, № 4(75), с. 3—16.
2. Богданов А. И., Войновский Ю. М. Экспериментальная установка для преодоления буроворонковых изгибаний моделей быстродвижущих судов с пологодроматическим центром тяжести. Л.: Судостроение, 1978, с. 87—92. (Экспериментальная гидродинамика судов ИНО им. акад. А. Н. Крылова. Вып. 280).

УДК 629.122.44

В. М. Захаров

МОДЕЛЬНЫЕ ИССЛЕДОВАНИЯ ТРЕНИЯ КОРПУСА СУДНА О ГРУНТ

Посадки судов на мель являются одной из наиболее распространенных видов аварий. Они составляют 25—40 % от общего числа аварий морских судов, а убытки в виде расходов на спасательные операции и ремонт судов, севших на мель, достигают 60 % от убытков по ликвидации аварий [1].

Во многих случаях посадки судов на грунт имеют тяжелые последствия. Около 50 % судов погибают в результате повреждения корпуса при посадке на грунт. В большинстве случаев повреждения корпусов судов возникают в результате воздействия стыки при длительной находке их на мели из-за неэффективности операций по стыкованию с грунтом.

Стыковочные усилия для смытия судна с мели определяются с большими погрешностями. Это объясняется тем, что коэффициент трения, используемый в расчетах, устанавливается приближенно на основании практического опыта и отличаются в 1,5—2,0 раза для одного и того же вида груза. Не учитывается также зависимость коэффициента трения от структурного состава грунта, состояния поверхности корпуса (шероховатости, наличие вмятин, выступающих конструкций), заглубления судна в грунт и т. п.

Рассмотрим результаты экспериментального определения коэффициентов трения модели, имитирующей корпус судна, о песчаные и каменистые грунты (табл. 1). Примем, что при статическом и динамическом (рывком) приложении стыковывающего усилия коэффициент трения постоянен и обрастижение корпуса не увеличивает силы смытия его с грунтом.

Согласно [2] коэффициент трения изменяется при динамических воздействиях в том случае, когда они приводят к разрушению структуры грунта. Вследствие первоначального проникания в упругую буроворонковую трещу усилие рывка прикладывается не мгновенно, а с нарастанием и последующим падением (рис. 1). При этом в зоне 2 (интенсивного изгибаивания усилия) максимальные

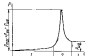


Рис. 1. Зависимость изменения тягового усилия F_r от времени t при смытии судна с мели рывком:

F_{r0} — максимальное статическое усилие смытия судна-спасателя; F_r — пиковая сила смытия; 1 — статическое значение коэффициента трения; 2 — максимальное статическое усилие смытия; 3 — динамическое значение коэффициента трения; 4 — разрушение стыковывающего ряда при второй дифференции пока практикуется; 5 — падение максимальной статической усилия смытия судна-спасателя из-за разрушения грунта

Таблица 1

Характеристики грунтов

Характеристика	Песок		Гравий	Галька	Камень-ракушечник
	мелкий	крупный			
Объемная масса в естественном состоянии, т/м ³	2,04	2,14	2,22	—	2,34
Влажность (влажина), %	22	17	20	—	—
Объемная масса щебня, т/м ³	1,65	1,53	1,55	1,57	—
Степень водонасыщения	1	1	1	—	—
Угол внутреннего трения, град.	29	31	—	—	—
Коэффициент внутреннего трения	0,554	0,601	—	—	—
Продолжительное содержание частиц крупностью, мм:					
50–40	—	—	—	30	—
40–30	—	—	39,5	40	—
30–20	—	19	57,1	27	—
20–10	21	26	2,4	2,5	—
менее 10	79	55	1,0	0,5	—

скорости приложения динамических усилий не превышают 3–6 м/с. Анализ статистических данных по проведенным сплошным операциям показал, что максимальное удельное давление судна на грунт при посадке на мель не превышает 40 кПа, в то время как расчетное сопротивление песчаных водонасыщенных грунтов, при котором грунт поддерживает приподнятую наружку, составляет не менее 150 кПа. Перемещение судна во время схватки с мелью происходит при касательных напряжениях на поверхности контакта корпуса с грунтом не более 20 кПа. При этом динамические стягивающие усилия не приводят к разрушению структуры грунта. Смыкание ракушек с корпусом судна в воде невелико, так как на практике при посадке судна на мель корпус в местах касания о грунт очищается от ракушек.

В результате экспериментальных исследований определены коэффициенты трения покоя между юндами грунтов и металлическими поверхностями (технически гладкой окрашенной и шероховатой). Модель с гладкой поверхностью изготовлена из листового прозата, окрашенного двумя слоями краски марки ФЛ-03к, модель с шероховатой поверхностью — из наружной обшивки подводной части корпуса морского судна, эксплуатированного 10 лет.

Эксперименты проводились на испытательном стенде, принципиальная схема которого показана на рис. 2. После установки колесной модели 1 на грунт стягивающее усилие, создаваемое

путем падения воды в емкость 14, передавалось через тросик 8 на роторную установку 5, которая при достижении определенного усилия прозорачивалась. Запись усилия производилась на самонаписце 16. Каждый опыт повторялся не менее 4–5 раз. Средние значения коэффициентов трения определены путем статистической обработки.

Результаты экспериментальных исследований коэффициентов трения металлических поверхностей о песчано-каменные грунты (табл. 2) показали, что коэффициент трения растет с увеличением крупности частиц и не зависит от продолжительности

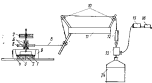


Рис. 2. Испытательный стенд для определения коэффициентов трения:

1 — колесная модель; 2 — грунт; 3 — рама; 4 — пневмодомкрат; 5 — роторная установка; 6 — тросик; 7 — блок; 8 — груз; 9 — трубка; 10 — емкость; 11 — поплавок для воды; 12 — насос; 13 — манометр; 14 — самонаписец;

Таблица 2
Коэффициенты трения металлических поверхностей о песчано-каменные грунты

Вид грунта	Различные способы схватки с моделью	Использование экспериментального		Поверхностный коэффициент
		мелкий крупный	средний крупный	
Песок:	мелкий	0,30–0,46	0,35–0,41	0,38
	крупный	—	0,39–0,44	0,41
Гравий	—	0,44–0,46	0,45	0,47
	мелкий	0,38–0,50	0,51–0,58	0,52
Камень-ракушечник	мелкий	0,30–0,50*	0,56–0,59	0,58
	крупный	—	—	0,55

* Для каменной плиты.

представления модели на грунте и удельного давления судна на грунт, т. е. сила присоединяется к коэффициенту трения.

С увеличением крутизны частиц грунта снижается влияние шероховатости металлической поверхности на трение. Поправочный коэффициент для гальки по сравнению с гравием увеличен из-за включений в нее песка и мелкой ракушки, так как в природе галька в чистом виде практически не встречается.

Согласно [3] модуль коэффициента трения грунта о сталь f и коэффициентом внутреннего трения грунта μ существует приближенная зависимость $\mu = 1,3f$. Из данных табл. 2 следует, что с уменьшением размеров частиц грунта и увеличением шероховатости металла коэффициент трения приближается к коэффициенту внутреннего трения, соответствующего трению грунта о грунт.

СПИСОК ЛИТЕРАТУРЫ

1. Калюжинский В. А., Тарасов А. Н. Посадка на грунт корабля судов, их причалы и предупреждение. ЦБНТИ ЦМФ. Беломорское море. Изд. 1975, с. 3-52.
2. Шитовский Н. А. Механика грунтов. М.: Высшая школа, 1973. 280 с.
3. Алексеева Т. В. Дорожные машины. Ч. 1. Машины для земляных работ (теория и расчет). М.: Машиностроение, 1972. 504 с.

СОДЕРЖАНИЕ

Мироновенко И. П., Пыковский Б. Н., Шой Л. Г. Выбор основных параметров и архитектурно-конструктивного типа кроткотоннажного энгизилянга судового судна ледового плавания	3
Альбертсон Г. А., Соколов Л. Г., Ширская В. Н. Результаты исследования основных параметров и архитектурно-конструктивного типа макета морского парома для Балтийского моря	11
Альбертсон Г. А., Кулакова Л. Н., Симонов Ю. А. Порядок подбора нагрузки для остриков Эстонии	25
Лопатинская Э. Г. Рациональный ряд издаваемых судов	29
Левин Б. З. Оценка эффективности обычного в цивильном пороходстве	43
Неструев С. Н., Плюсников В. В., Городил Г. В. Эксплуатационно-экономическая эффективность применения ВРШ на судах типа «Балтийский»	51
Фомина Е. П., Альбертсон Г. А. Оценка весовой нагрузки грунтовых сухих морских пассажирских судов	58
Григорян М. А. Оценка эффективности крановых и дифферентных систем аварийного спасения	63
Григорян М. А. Диаграммы для выбора способа освобождения аварийных от гравитации со спасательной лодкой	79
Нордстремович А. В. Исследование эффективности гравимомозаичного устройства на судах азиатского побережья	82
Беззубов Р. Н., Водолазский Ю. М. Результаты мореходных испытаний новых судов с изолированной палубой	89
Задорин В. М. Модельные исследования пропуска корпуса судна о грунте	99

УДК 629.123.57/59.001.2.004.15

Морозовские И. П., Николаев Б. И., Цей Л. Г. Выбор основных параметров в архитектурно-конструктивном типе краудоголовного магистрального сухогрузного судна ледового плавания.—Тр. ЦНИИМФ, 1981, вып. 26, с. 3–11.

Выполнено обоснование основных характеристик и архитектурно-конструктивного типа магистрального крупнотоннажного сухогрузного судна для Арктики с условием обеспечения требований для круглогодовой эксплуатации зеленых водах, а также пропускной способности грузовых фарватеров. Исследование охватывает главные размерения судна, форму обводов корпуса, ледоходимость, ледовый класс, мореходимость, общее расстояние и характеристики грузовых помещений с точки зрения приспособленности судна к спиральной грузообработке.

Ил. 2, библиогр. 5 цит.

УДК 629.122.5(200) : 625.2

Андрюшин Г. А., Савалев Л. Г., Шубинская В. Н. Результаты исследований основных параметров в архитектурно-конструктивном типе железнодорожного парома для Балтийского моря.—Тр. ЦНИИМФ, 1981, вып. 265, с. 11–24.

Рассмотрены основные архитектурно-конструктивные типы современных крупнотоннажных железнодорожных паромов. Показано, что для перевозки из Балтийского порта наиболее разумным паром с двумя грузовыми палубами, не оборудованным собственными грузовыми средствами. Приведены основные характеристики такого судна в сравнении с паромами других типов.

Ил. 1, табл. 2, библиогр. 5 цит.

УДК 629.125.8.009.003.15

Анфимовка Л. Б., Крикша Л. Я., Семёнов Ю. А. Паром на воздушной подушке для острова Эстонии.—Тр. ЦНИИМФ, 1981, вып. 266, с. 25–28.

Приведены результаты определения экономической эффективности судов на воздушной подушке для круглогодичной перевозки грузов между материком и островами Эстонии вместо существующих и проектируемых автомобильных паромов.

Табл. 4, библиогр. 2 цит.

УДК 629.123.96/57.001.2.004.15

Лаптевников Э. Г. Рациональный ряд пассажирских судов.—Тр. ЦНИИМФ, 1981, вып. 265, с. 29–43.

Объясняется практика построения разомкнутого ряда пассажирских и пассажирско-автомобильных судов, соответствующего современному составу отечественного пассажирского флота. Кратко обсуждаются главные исходные данные и методика расчёта, и приводятся основные технико-экономические характеристики судов ряда.

Ил. 2, табл. 5, библиогр. 3 цит.

Труды ЦНИИ морского флота, том. 265

Архитектурные типы судов

Редактор В. А. Межиров

Редактор издательства Л. П. Краснова

Техн. редактор Л. И. Тихонова

Корректор Н. С. Софранова

Сдано в набор 10.04.80. Полиграфия и печать: МДПО «Форма». Формат 60×90 $\frac{1}{4}$.
Бумага № 1. Гарнитура: Штифт. Высота: 1000. № листа: 1. № ч. № 4. Тираж: 70. Цена: 100. № листа: 100. Цена: 10. Тираж: 100. № листа: 100. Цена: 10. № листа: 100. Цена: 10.

Ленинградское издательство «Графиздат»
1981г. Ленинград, ул. Докучаева, 35

Допечатано типографии № 8 администрации Туруханского района Красногорского областного «Типографии администрации Красногорского Совета Союза Социалистической Рабочей партии КПСС» по заказу издательства «Графиздат». Государственный комитет СССР по делам издательства, полиграфии и книжной торговли. 1980г. г. Ленинград. Печатный переплёт. 9.